

TUGAS AKHIR
KAJIAN PENGARUH PELEBARAN SUNGAI TERHADAP
DEBIT ALIRAN



Dibuat Untuk Memenuhi Persyaratan Kurikulum
Program (S.1) Program Studi Teknik Sipil Fakultas Teknik
Universitas Batanghari Jambi

Disusun Oleh :

RYAN PRAYOGI
1600822201080

PROGRAM STUDI TEKNIK SIPIL
FAKULTAS TEKNIK
UNIVERSITAS BATANGHARI JAMBI
2022

HALAMAN PERSETUJUAN
KAJIAN PENGARUH PELEBARAN SUNGAI TERHADAP
DEBIT ALIRAN



Disusun Oleh :

RYAN PRAYOGI

NPM. 1600822201080

Dengan ini Dsoen Pembimbing Tugas Akhir Program Studi Teknik Sipil Fakultas Teknik Universitas Batanghari Jambi menyatakan bahwa Tugas Akhir dengan Judul dan Penyusunan dengan sebagaimana tersebut diatas telah disetujui sesuai dengan prosedur, ketentuan, kelaziman yang berlaku dan dapat diajukan dalam ujian komperensi Program Strata Satu (S1) Jurusan Sipil Fakultas Teknik Universitas Batanghari

Jambi, 2022

Pembimbing I

(Ir. H. AZWARMAN, MT)

Pembimbing II

(SUSIANA, ST, MT)

HALAMAN PENGESAHAN
KAJIAN PENGARUH PELEBARAN SUNGAI TERHADAP DEBIT
ALIRAN

Tugas Akhir ini telah dipertahankan di hadapan Panitia Penguji Tugas Akhir dan Komprehensif dan diterima sebagai persyaratan yang diperlukan untuk memperoleh gelar Sarjana Teknik pada program studi Teknik Sipil Universitas Batanghari.

Nama : Ryan Prayogi

Npm : 1600822201080

Hari/Tanggal : Sabtu / 20 Agustus 2022

Jam : 10.00 WIB

Tempat : Ruang Sidang Fakultas Teknik Universitas Batanghari Jambi

PANITIA PENGUJI

| Jabatan | Nama | Tanda Tangan |
|---------|------|--------------|
|---------|------|--------------|

| | | |
|-------|----------------------------|---------------------------------------------------------------------------------------|
| Ketua | : Elvira Handayani, ST, MT |  |
|-------|----------------------------|---------------------------------------------------------------------------------------|

| | | |
|------------|-------------------|---------------------------------------------------------------------------------------|
| Sekretaris | : Susiana, ST, MT |  |
|------------|-------------------|---------------------------------------------------------------------------------------|

| | | |
|-----------|---------------------|---------------------------------------------------------------------------------------|
| Penguji I | : Ir.H.Azwarman, MT |  |
|-----------|---------------------|---------------------------------------------------------------------------------------|

| | | |
|------------|-----------------------------|---------------------------------------------------------------------------------------|
| Penguji II | : Annisa Dwiretnani, ST, MT |  |
|------------|-----------------------------|---------------------------------------------------------------------------------------|

| | | |
|-------------|------------------------|---------------------------------------------------------------------------------------|
| Penguji III | : Ria Zulfiati, ST, MT |  |
|-------------|------------------------|---------------------------------------------------------------------------------------|

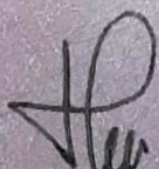
Disahkan Oleh :

Dekan Fakultas Teknik



Dr.Ir.H.Fakhru Rozi Yamali, M.E.

Ketua Program Studi Teknik Sipil



Elvira Handayani, S.T.

MOTO

“Angin tidak berhembus untuk menggoyangkan pepohonan, melainkan menguji kekuatan akarnya.”

(Ali bin Abi Thalib)

“Ubahlah hidupmu dari hari ini. Jangan pernah bertaruh pada masa depan, kamu harus bertindak sekarang tanpa menunda-nunda.”

(Simone de Beauvoir)

“Menuntut ilmu adalah takwa. Menyampaikan ilmu adalah ibadah. Mengulang-ulang ilmu adalah zikir. Mencari ilmu adalah jihad.”

(Abu Hamid Al Ghazali)

“Keberanian adalah pengertian dalam menghadapi ketakutan dan keyakinan.”

(Aristoteles)

ABSTRAK

KAJIAN PENGARUH PELEBARAN SUNGAI TERHADAP DEBIT ALIRAN

Banjir merupakan salah satu permasalahan yang banyak terjadi di Indonesia. Di Kota Jambi pada setiap musim hujan sering mengalami banjir khususnya di kota jambi atau kawasan Komplek.Perum Garuda III Jaya, Kelurahan Bagan Pete Kota Jambi. Dengan demikian Penelitian ini bertujuan untuk mengetahui berapa besar intensitas curah hujan pada Sungai Kenali Besar dan Berapa besar debit banjir sungai yang telah di lakukan pelebaran di Komplek.Perum Garuda III Jaya Kelurahan Bagan Bete Kota Jambi dengan waktu 10 tahun dan Supaya nantinya saluran Sungai Kenali Besar dapat berfungsi maksimal untuk mengurangi banjir yang terjadi di kawasan Komplek.Perum Garuda III Jaya Kelurahan Bagan Pete Kota Jambi tersebut, sehingga terciptalah sungai yang baik dan berkualitas dengan tetap mempertimbangkan faktor keamanan dan kenyamanan bagi masyarakat sekitar. Pada Penelitian ini data yang digunakan adalah data sekunder berupa Curah hujan harian selama 10 tahun dan data dimensi penampang melintang Sungai Kenali Besar Komplek.Perum Garuda III Jaya Kelurahan Bagan Pete. Hasil hitungan hujan rencana dengan kala ulang 10 tahun yaitu 246,469 mm/jam, sedangkan debit rencana dengan metode Rasional didapat nilai debit puncak sebesar $30,833 \text{ m}^3/\text{detik}$ langkah dilanjutkan menggunakan software HEC-RAS 5.0.7 untuk mengetahui kapasitas tumpang saluran drainase dengan menggunakan debit rencana. Setelah dianalisis menggunakan software.

Kata kunci : *Pelebaran Sungai, HEC-RAS,Debit,Elevasi,Curah Hujan*

KATA PENGANTAR

Puji syukur penulis ucapkan kepada Allah SWT atas rahmat dan karunianya sehingga penulis dapat menyelesaikan Tugas Akhir dengan judul **“Kajian Pengaruh Pelebaran Sungai Terhadap Debit Aliran”**. Tugas Akhir ini disusun sebagai syarat untuk mencapai gelar Sarjana Teknik pada program studi Teknik Sipil Universitas Batanghari Jambi

Penulisan Tugas Akhir ini dibuat untuk memenuhi salah satu syarat akademik dalam menempuh jenjang strata satu pada Program Studi Teknik Sipil Fakultas Teknik Universitas Batanghari Jambi juga sebagai media tertulis mengenai hasil pengamatan kegiatan – kegiatan yang berlangsung di lapangan.

Selama penyusunan Tugas Akhir ini tentunya penulis tidak sedikit menghadapi rintangan dari awal hingga akhir. Berkat bimbingan, bantuan, dukungan dan kerja sama dari berbagai pihak maka segala rintangan tersebut dapat penulis atasi. Untuk itu pada kesempatan ini tak lupa penulis sampaikan ucapan terima kasih kepada :

1. Bapak Dr. Ir. H. Fakhrul Rozi Yamali, ME selaku Dekan Fakultas Teknik Universitas Batanghari Jambi.
2. Bapak Drs. G. M. Saragih, M.Si selaku Wakil Dekan I Fakultas Teknik Universitas Batanghari Jambi.
3. Bapak Ir. H. Azwarman, MT selaku Dosen Pembimbing I dan Wakil Dekan II Fakultas Teknik Universitas Batanghari Jambi

4. Bapak Ir. H. Myson, MT selaku Wakil Dekan III Fakultas Teknik Universitas Batanghari Jambi.
5. Ibu Elvira Handayani, ST, MT selaku Ketua Program Studi Teknik Sipil Fakultas Teknik Universitas Batanghari Jambi.
6. Ibu Susiana, ST, MT selaku Dosen Pembimbing II
7. Bapak/Ibu Dosen, Tenaga Pengajar serta Staf pada Program Studi Teknik Sipil Fakultas Teknik Universitas Batanghari Jambi.

Penulis menyadari sepenuhnya bahwa dalam penyusunan skripsi ini masih banyak kekurangan dan keterbatasan. Oleh karena itu, penulis sangat mengharapkan kritik dan saran yang bersifat membangun untuk kesempurnaan skripsi ini.

Semoga amal baik dan segala bantuan yang diberikan kepada penulis mendapatkan balasan yang berlimbah dari Allah SWT. Akhir kata, semoga skripsi ini dapat berguna dan bermanfaat bagi penulis dan pembaca sekalian.

Jambi, 2022

Ryan Prayogi

DAFTAR ISI

| | |
|------------------------------------|------------------------------|
| HALAMAN JUDUL | i |
| HALAMAN PERSETUJUAN | Error! Bookmark not defined. |
| HALAMAN PENGESAHAN..... | iii |
| MOTO | iv |
| ABSTRAK | v |
| KATA PENGANTAR..... | vi |
| DAFTAR ISI..... | viii |
| DAFTAR GAMBAR..... | xii |
| DAFTAR TABEL | xiv |
| DAFTAR NOTASI..... | xvii |
| DAFTAR LAMPIRAN | xxix |
| BAB I PENDAHULUAN..... | 1 |
| 1.1 Latar Belakang | 1 |
| 1.2 Identifikasi Masalah..... | 3 |
| 1.3 Tujuan Penelitian | 3 |
| 1.4 Batasan Masalah | 3 |
| 1.5 Sistematis Penulisan | 4 |
| BAB II LANDASAN TEORI | 7 |
| 2.1 Sungai | 7 |
| 2.1.1 Daerah Aliran Sungai | 7 |
| 2.1.2 Debit Banjir Rencana..... | 7 |
| 2.1.3 Normalisasi Sungai | 7 |

| | |
|---------------------------------------------------|-----------|
| 2.2 Analisis Curah Hujan..... | 8 |
| 2.2.1 Metode Rata-rata Aljabar | 9 |
| 2.2.2 Metode Poligon Thiessen | 9 |
| 2.2.3 Metode Isohyet | 11 |
| 2.3 Analisis Frekuensi dan Probabilitas..... | 12 |
| 2.3.1 Metode Distribusi Normal | 13 |
| 2.3.2 Metode Distribusi Log Normal..... | 16 |
| 2.3.3 Metode Distribusi Log-Pearson Type III..... | 16 |
| 2.3.4 Metode Gumbel | 17 |
| 2.4 Uji Keselarasan Distribusi | 20 |
| 2.4.1 Uji Chi-kuadrat | 20 |
| 2.5 Koefisien Limpasan | 22 |
| 2.6 Waktu Konsentrasi (tc) | 23 |
| 2.7 Intensitas Curah Hujan..... | 24 |
| 2.8 Periode Ulang Hujan..... | 24 |
| 2.9 Perhitungan Debit Banjir Rencana | 25 |
| 2.10Persamaan Manning..... | 26 |
| 2.11Pemodelan HEC-RAS..... | 27 |
| 2.12Kerangka Berpikir..... | 28 |
| BAB III METODOLOGI PENELITIAN | 30 |
| 3.1 Umum | 30 |
| 3.1.1 Tempat dan Waktu Penelitian..... | 30 |
| 3.1.2 Denah Lokasi Penelitian | 31 |
| 3.2 Metode Penelitian | 31 |
| 3.3 Teknik Pengumpulan Data..... | 32 |

| | |
|-----------------------------------------------------------|-----------|
| 3.3.1 Data Primer | 32 |
| 3.3.2 Data sekunder | 32 |
| 3.3.3 Pengumpulan Data..... | 33 |
| 3.3.4 Metode Pengumpulan Data..... | 33 |
| 3.4 Diagram Alur (<i>flowchart</i>) Penelitian | 35 |
| BAB IV ANALISA DAN PEMBAHASAN | 36 |
| 4.1 Deskripsi Data..... | 36 |
| 4.2 Analisa Curah Hujan..... | 36 |
| 4.2.1 Curah Hujan Bulanan Maksimum | 36 |
| 4.2.2 Curah Hujan Tahunan Daerah | 38 |
| 4.3 Analisis Distribusi Curah Hujan | 40 |
| 4.3.1 Penentuan Jenis Distribusi..... | 41 |
| 4.3.2 Uji Chi-Kuadrat | 54 |
| 4.4 Perhitungan Intensitas Curah Hujan (I) | 55 |
| 4.5 Mencari Kecepatan Aliran dan Kemiringan Saluran | 84 |
| 4.6 Mencari Koefisien Pengaliran (C) | 84 |
| 4.6.1 Perhitungan waktu Konsentrasi | 85 |
| 4.7 Tangkapan Air Hujan..... | 86 |
| 4.8 Perhitungan Debit Rencana | 87 |
| 4.8.1 Nilai Koefisien Manning | 87 |
| 4.9 Analisa Kapasitas Penampang Sungai | 88 |
| 4.9.1 Penampang Trapesium..... | 88 |
| 4.10 Kapasitas Penampang Sungai menggunakan HEC-RAS..... | 90 |
| 4.10.1Pembuatan file project..... | 90 |
| 4.10.2Geometri Saluran..... | 90 |

| | |
|---------------------------------------------------------------|-----------|
| 4.10.3 Simulasi Aliran Steady Flow..... | 91 |
| 4.10.4 Hitungan di Sebuah Tampang Lintang..... | 93 |
| 4.10.5 Hitungan Profil Muka Air di Sepanjang Sungai | 94 |
| 4.10.6 Hitungan Profil Variabel Aliran di Sepanjang Alur..... | 95 |
| BAB V KESIMPULAN DAN SARAN | 96 |
| 5.1 Kesimpulan | 96 |
| 5.2 Saran | 96 |
| DAFTAR PUSTAKA | 98 |

DAFTAR GAMBAR

| | |
|-------------------------------------------------------------------------------------------|----|
| Gambar 2.1 Metode Poligon Thiessen | 11 |
| Gambar 2.2 Metode Isohyet..... | 12 |
| Gambar 2.3 Kurva Distribusi Distribusi Normal | 15 |
| Gambar 3.1 Peta Lokasi Kelurahan Kenali Besar, Kecamatan Alam Barajo, Kota Jambi | 30 |
| Gambar 3.2 Denah lokasi penelitian | 31 |
| Gambar 3.3 Gambar <i>Flowchart</i> Tugas Penelitian | 35 |
| Gambar 4. 1 Grafik Distribusi Normal | 43 |
| Gambar 4. 2 Grafik Distribusi Log Normal | 46 |
| Gambar 4. 3 Grafik Distribusi Log Pearson III..... | 48 |
| Gambar 4. 4 Grafik Distribusi Gumbel..... | 51 |
| Gambar 4. 5 Rekapitulasi Analisis Curah Hujan Rencana Maks (4 metode) | 52 |
| Gambar 4. 6 Grafik Intensitas Durasi Metode Talbot..... | 71 |
| Gambar 4. 7 Grafik Intensitas Durasi Metode Ishiguro | 73 |
| Gambar 4. 8 Grafik Intensitas Durasi Metode Sherman..... | 75 |
| Gambar 4. 9 Grafik Intensitas Durasi Tiga Metode | 83 |
| Gambar 4. 10 Penampang Trapezium | 88 |
| Gambar 4. 11 Skema saluran sungai | 90 |

| | |
|----------------------------------------------------------------------------|----|
| Gambar 4. 12 Layar editor tampang lintang setelah | 91 |
| Gambar 4. 13 Layar editor tampang lintang setelah | 91 |
| Gambar 4. 14 Penginputan nilai debit..... | 92 |
| Gambar 4. 15 Penginputan nilai kemiringan..... | 92 |
| Gambar 4. 16 Hitungan Aliran Permanen | 93 |
| Gambar 4. 17 Tampilan Cross Section STA 0+000..... | 93 |
| Gambar 4. 18 Tampilan Cross Section STA 0+800..... | 94 |
| Gambar 4. 19 Hasil Hitungan Profil Muka Air di Sepanjang Sungai | 94 |
| Gambar 4. 20 Hasil Hitungan Profil Variabel Aliran di Sepanjang Alur | 95 |

DAFTAR TABEL

| | |
|--------------------------------------------------------------------------------|----|
| Tabel 2.1 Nilai Variabel Reduksi Gauss | 16 |
| Tabel 2.2 <i>Reduced Mean</i> , Y_{nr} Sebagai Fungsi Periode Ulang..... | 19 |
| Tabel 2.3 <i>Reduced Variate</i> , Y_{Tr} Sebagai Fungsi Periode Ulang..... | 20 |
| Tabel 2.4 <i>Reduced Standard Deviation</i> , S_n Sebagai Periode Ulang..... | 20 |
| Tabel 2.5 Uji Distribusi..... | 21 |
| Tabel 2.6 Koefisien Limpasan | 24 |
| Tabel 2.7 Periode Ulang Yang Disyaratkan..... | 26 |
| Tabel 2.8 Koefisien <i>Manning</i> | 28 |
| Tabel 4. 1 Tabel Data Curah Hujan Kota Jambi | 37 |
| Tabel 4. 2 Curah Hujan Rata-Rata | 38 |
| Tabel 4. 3 Data Curah Hujan Maksimum Tahunan (2012-2021) | 39 |
| Tabel 4. 4 Data Curah Hujan Maksimum Bulanan (Januari-Desember) | 40 |
| Tabel 4. 5 Perhitungan Variabel Dispersi Distribusi Normal | 41 |
| Tabel 4. 6 Analisa Curah Hujan Rencana dengan Distribusi Normal..... | 42 |
| Tabel 4. 7 Perhitungan Variabel Dispersi Distribusi Log Normal | 44 |
| Tabel 4. 8 Analisa Curah Hujan Rencana dengan Distribusi Log Normal | 45 |
| Tabel 4. 9 Analisa Curah Hujan Distribusi Log-Person III | 46 |
| Tabel 4. 10 Nilai K hasil distribusi Log Pearson III | 47 |
| Tabel 4. 11 Analisa Curah Hujan Rencana dengan Distribusi Log-Person III | 48 |
| Tabel 4. 12 Perhitungan Variable Disperse Distribusi Gumbel..... | 49 |
| Tabel 4. 13 Analisa Curah Hujan Rencana dengan Distribusi Gumbel..... | 50 |

| | |
|----------------------------------------------------------------------------------------------------|----|
| Tabel 4. 14 Hasil Analisis Frekuensi | 51 |
| Tabel 4. 15 Rekapitulasi Analisis Curah Hujan Rencana Maksimum | 52 |
| Tabel 4. 16 Perbandingan Hasil Dispersi..... | 53 |
| Tabel 4. 17 Hasil Uji Distribusi | 53 |
| Tabel 4. 18 Uji Chi-Kuadrat..... | 54 |
| Tabel 4. 19 Perhitungan Intensitas Curah Hujan Periode Ulang 2 Tahun | 56 |
| Tabel 4. 20 Perhitungan Intensitas Curah Hujan Periode Ulang 5 Tahun | 58 |
| Tabel 4. 21 Perhitungan Intensitas Curah Hujan Periode Ulang 10 Tahun | 60 |
| Tabel 4. 22 Perhitungan Intensitas Curah Hujan Periode Ulang 25 Tahun | 62 |
| Tabel 4. 23 Perhitungan Intensitas Curah Hujan Periode Ulang 50 Tahun | 64 |
| Tabel 4. 24 Perhitungan Intensitas Curah Hujan Periode Ulang 100 Tahun | 66 |
| Tabel 4. 25 Perhitungan Intensitas Curah Hujan Periode Ulang Tiga Metode | 68 |
| Tabel 4. 26 Perhitungan Intensitas Durasi Metode <i>Talbot</i> | 70 |
| Tabel 4. 27 Perhitungan Intensitas Durasi Metode <i>Ishiguro</i> | 72 |
| Tabel 4. 28 Perhitungan Intensitas Durasi Metode <i>Sherman</i> | 74 |
| Tabel 4. 29 Rumus <i>Talbot</i> , <i>Ishiguro</i> dan <i>Sherman</i> Periode Ulang 2 Tahun | 76 |
| Tabel 4. 30 Rumus <i>Talbot</i> , <i>Ishiguro</i> dan <i>Sherman</i> Periode Ulang 5 Tahun | 77 |
| Tabel 4. 31 Rumus Talbot, Ishiguro dan Sherman Periode Ulang 10 Tahun | 78 |
| Tabel 4. 32 Rumus <i>Talbot</i> , <i>Ishiguro</i> dan <i>Sherman</i> Periode Ulang 25 Tahun | 79 |
| Tabel 4. 33 Rumus <i>Talbot</i> , <i>Ishiguro</i> dan <i>Sherman</i> Periode Ulang 50 Tahun | 80 |
| Tabel 4. 34 Rumus <i>Talbot</i> , <i>Ishiguro</i> dan <i>Sherman</i> Periode Ulang 100 Tahun | 81 |
| Tabel 4. 35 Rumus Talbot, Ishiguro dan Sherman..... | 82 |
| Tabel 4. 36 Rekapitulasi Perhitungan Intensitas Durasi Tiga Metode..... | 82 |

| | |
|-----------------------------------------------------------|----|
| Tabel 4. 37 Kemiringan Saluran dan Kecepatan Aliran | 84 |
| Tabel 4. 38 Koefisien Pengaliran (C)..... | 85 |
| Tabel 4. 39 Koefisien <i>Manning</i> | 88 |

DAFTAR NOTASI

| | |
|------------|-----------------------------------------------------------------|
| P | = Curah hujan tercatat (mm) |
| A_n | = Luas daerah pengaruh setiap stasiun(km^2) |
| E_i | = Jumlah nilai teoritis pada sub kelompok i |
| K_T | = Faktor frekuensi |
| O_i | = Jumlah nilai pengamatan pada sub kelompok i |
| Q_p | = Debit puncak banjir (m ³ /detik) |
| R_{24} | = Curah hujan maksimum dalam 24 jam (mm) |
| R_e | = Curah hujan efektif (1 mm) |
| R_o | = Hujan satuan (mm) |
| S_n | = <i>Reduced standard</i> deviasi sebagai fungsi dari banyaknya |
| S_o | = Kemiringan Dasar Saluran |
| $T_{0,3}$ | = Waktu yang diperlukan oleh penurunan debit, dari debit |
| T_P | = Tenggang waktu (time log) dari permulaan hujan sampai |
| T_r | = Satuan waktu dari curah hujan (jam) |
| \bar{X} | = Harga rata-rata dari data curah hujan |
| X_T | = Perkiraan nilai yang diharapkan terjadi dengan periode |
| \bar{Y} | = Nilai rata-rata hitung variat |
| Y_T | = Perkiraan nilai yang diharapkan terjadi dengan periode |
| Y_T | = <i>Reduced variate</i> sebagai fungsi dari banyak periode |
| Y_n | = <i>Reduced mean</i> sebagai fungsi dari banyak n data |
| $\sum A_i$ | = Penjumlahan semua luasan dengan nilai C yang berbeda. |

| | |
|-----------|----------------------------------------------------------------------------------------------------------------------------|
| A | = Luas DAS (km^2) |
| Ai | = Luasan dengan nilai C yang berbeda |
| Ci | = Koefisien limpasan untuk daerah dengan luasan Ai |
| G | = Jumlah sub kelompok |
| <i>h</i> | = Parameter chi-kuadrat terhitung |
| I | = Intensitas curah hujan (mm/jam) |
| L | = Panjang sungai utama (km) |
| n | = Jumlah stasiun pengukuran |
| P (X) | = Fungsi densitas peluang normal (ordinat kurva normal) |
| P1,...,Pn | = Curah hujan di stasiun pengukuran (mm) puncak banjir (jam). puncak sampai menjadi 30 % dari debit puncak (jam) |
| Q | = Debit saluran ($m^3/detik$) |
| Qr | = Debit rencana ($m^3/detik$) |
| R | = Jari-jari hidrolik saluran (m) |
| t | = Waktu (durasi) curah hujan (menit) |
| tg | = Waktu konsentrasi (jam) |
| V | = Kecepatan aliran (m/detik) |
| X | = Variabel acak kontinu |
| α | = Koefisien karakteristik DAS biasanya diambil 2. |
| μ | = Rata-rata nilai X |
| σ | = Simpangan baku nilai X |

DAFTAR LAMPIRAN

- Lampiran 1 : Data Curah Hujan
- Lampiran 2 : Data Kependuduk Provinsi Jambi
- Lampiran 3 : Foto Suvey Pendahuluan
- Lampiran 4 : Foto Dokumentasi
- Lampiran 5 : Gambar Penampang Sungai
- Lampiran 6 : Gambar *Conture*
- Lampiran 7 : Lembar Asistensi

BAB I

PENDAHULUAN

1.1 Latar Belakang

Kota Jambi merupakan salah satu kota yang memiliki jumlah penduduk yang paling banyak di Provinsi Jambi, Berdasarkan Badan Pusat Statistik tahun 2020 jumlah penduduk keseluruhan Kota Jambi memiliki angka 611.353 jiwa yang tinggi dan menyebabkan pertumbuhan infrastruktur yang pesat karena kebutuhan fisik (lahan) untuk penduduk beraktifitas Akibatnya pada waktu musim penghujan air akan mengisi ruang-ruang penduduk berupa banjir dan kapasitas daya tampung sungai yang kecil.

Berdasarkan sumber Jambi Dalam Angka Tahun 2014 Kondisi wilayah Kota Jambi dengan topografi yang relatif datar dengan ketinggian 0-60 m di atas permukaan laut mengakibatkan limpasan air hujan tidak bisa mengalir atau sekalipun mengalir dengan kecepatan aliran rendah. Hal ini ditambah dengan kondisi curah hujan per tahun yang cukup tinggi (>200 mm), serta mengakibatkan kondisi saluran drainase (Primer, sekunder, maupun tersier) melebihi kapasitas tampungan. Akibatnya, beban air hujan harus ditampung dalam sistem drainase yang kecil, *run-off* menjadi tinggi dan berdampak terhadap peningkatan debit banjir di wilayah hilirnya.

Berdasarkan data hidrologi Kota Jambi memiliki 6 sungai primer yakni Sungai Kenali Kecil, Sungai Kenali Besar, Sungai Kambang, Sungai Tembuku, Sungai Lubuk Raman, dan Sungai Teluk.

Banjir merupakan permasalahan umum terjadi disebagian wilayah Indonesia terutama Kota Jambi memiliki catatan akan rawan banjirnya yang cukup parah. Bencana banjir hingga saat ini terus mengancam Kota Jambi. Dikarenakan sistem drainase dan sungai yang kurang efektif selain itu juga dengan intensitas curah hujan yang tinggi, maka akan terjadi banjir. Semakin berkurangnya lahan penghijauan yang merupakan daerah resapan air pun menjadi salah satu faktor penting karena akan mengurangi jumlah air yang dapat diserap oleh lahan penghijauan itu sendiri.

Sungai merupakan salah satu sumber daya air yang mempunyai sejumlah potensi yang dapat dimanfaatkan bagi kesejateraan manusia, salah satu manfaat sungai sebagai sumber air di antaranya adalah sebagai sumber penghidupan dan kehidupan masyarakat yang tinggal di daerah sungai, Salah satunya Sungai Kenali Besar yang merupakan salah satu sungai yang melintasi kota Jambi. Sungai Kenali Besar ini memiliki panjang sungai kurang lebih 13,79 km, dengan luas DAS nya mencapai 3.623 Ha. Sungai ini kerap menyebabkan banjir pada saat musim penghujan dengan intensitas curah hujan yang tinggi. Banjir yang terjadi akibat intensitas curah hujan yang tinggi dan di imbangin dengan waktu yang lama dalam kurun waktu 3-5 jam selain itu juga dimensi saluran sungai yang kecil sehingga membuat air sungai meluap. Luapan air sungai tersebut membuat kawasan di Kelurahan Bagan Pete terendam banjir. Penyebab lain banjir di sungai Kenali Besar adalah karena daerah tersebut terletak pada dataran rendah, pemukiman penduduk yang terletak di bantaran sungai, dan banyaknya sampah di sungai.

Beberapa rencana solusi telah dipertimbangkan dan dilaksanakan untuk mengatasi masalah banjir yang melanda di Jl. Garuda 3, Kel. Bagan Pete, Kec. Kota Baru, Kota Jambi. Salah satunya adalah dengan melebarkan saluran Sungai kenali besar. Kegiatan pelebaran saluran tersebut meliputi perkuatan tebing atau pembuatan turap, dengan lebar 10 meter dan tinggi turap 3 meter.

1.2 Identifikasi Masalah

Dari uraian latar belakang yang telah dikemukakan sebelumnya, terdapat beberapa permasalahan yang dapat diidentifikasi sebagai berikut :

1. Berapa besar intensitas curah hujan pada Sungai Kenali Besar ?
2. Berapa besar debit banjir sungai Kenali Besar pengaruh pelebaran ?

1.3 Tujuan Penelitian

Tujuan dilakukan kajian ini adalah :

1. Untuk mengetahui berapa besar intensitas curah hujan pada Sungai Kenali Besar.
2. Berapa besar debit banjir sungai yang telah di lakukan pelebaran.
3. Bagaimana hasil analisis penampang sungai menggunakan program HEC-RAS

1.4 Batasan Masalah

Menurut identifikasi masalah di atas agar pokok pembahasan tidak melebar dan menyimpang dari topik utamanya, maka dalam penyusunan tugas akhir ini, lingkup pembahasannya meliputi :

1. Lingkup wilayah penelitian

Wilayah Studi kasus berada di Sungai Kenali Besar yang beralamat di Kelurahan Bagan Pete, Kecamatan Kota Baru, Kota Jambi dengan adanya permasalahan banjir akibat intensitas curah hujan yang tinggi dan di imbangin dengan waktu yang lama dalam kurun waktu 3-5 jam,selain itu juga dimensi saluran sungai yang kecil dan dengan panjang sungai yang di Analisa sepanjang 134 m.

2. Lingkup materi penelitian

- a. Data curah hujan yang digunakan dari sepuluh tahun terakhir dari mulai tahun 2012 sampai dengan 2021.
- b. Data curah hujan dari stasiun penakar hujan Badan Meteorologi, Klimatologi, dan Geofisika (BMKG) Sultan Thaha Jambi yang mendekati *catchment area* kelurahan Sungai Kenali Besar.
- c. Debit banjir yang diperhitungkan hanya akibat dari curah hujan maksimum. Tidak diperhitungkan pengaruh besarnya sedimentasi, penambahan limbah kota, dan perkembangan kota terhadap besarnya banjir yang terjadi.
- d. Perhitungan debit banjir rencana berdasarkan periode ulang 10 tahun.
- e. Analisa penampang sungai menggunakan program HEC-RAS

1.5 Sistematis Penulisan

Pada sistematika penulisan tugas akhir ini adalah membagi kerangka masalah dalam beberapa bagian , dengan maksud agar masalah yang dibahas menjadi jelas dan mudah untuk diikuti.

Tugas akhir ini terdiri dari lima bab, adapun urutan-urutan penajiannya adalah sebagai berikut:

BAB I PENDAHULUAN

Pada bab ini menguraikan tentang gambaran umum mengenai latar belakang mengenai pemilihan judul Tugas Akhir, rumusan masalah, maksud dan tujuan penelitian, batasan penelitian, serta sistematis penulisan.

BAB II LANDASAN TEORI

Bab ini menyajikan teori secara singkat dengan gambaran umum mengenai sungai, daerah aliran sungai (DAS), debit banjr rencana berdasarkan literature yang digunakan.

BAB III METODOLOGI PENELITIAN

Bab ini membahas tentang tahapan, pengumpulan data, bahan penelitian, lokasi penelitian dan pengelolaan data yang dilakukan.

BAB IV ANALISA DAN PEMBAHASAN

Pada bab ini membahas tentang Anilisis berdasarkan data-data yang diperoleh selama penelitian.

BAB V KESIMPULAN DAN SARAN

Bab ini merupakan bab terakhir yang membahas tentang kesimpulan dan saran dari hasil Tugas Akhir.

BAB II

LANDASAN TEORI

2.1 Sungai

Sungai merupakan jaringan alur – alur pada permukaan bumi yang terbentuk secara alamiah, mulai dari bentuk kecil di bagian hulu sampai besar di bagian hilir. Air hujan yang jatuh di atas permukaan bumi dalam perjalanannya sebagian kecil menguap dan sebagian besar mengalir dalam bentuk alur – alur kecil, kemudian menjadi alur – alur sedang seterusnya mengumpul menjadi satu alur besar atau utama. Dengan demikian dapat dikatakan sungai berfungsi menampung curah hujan dan mengalirkannya ke laut. (Loebis:1993)

2.1.1 Daerah Aliran Sungai

Daerah Aliran Sungai (DAS) adalah suatu kesatuan wilayah tata air yang terbentuk secara alamiah, dimana semua air hujan yang jatuh ke daerah ini akan mengalir melalui sungai dan anak sungai yang bersangkutan (Kodoatie:2013).

DAS (Daerah Aliran Sungai) dapat dipandang sebagai suatu unit kesatuan wilayah tempat air hujan mengumpul ke sungai menjadi aliran sungai. Garis batas DAS ialah punggung permukaan bumi yang dapat memisahkan dan membagi air hujan sewaktu menyentuh tanah, ke masing-masing DAS . (Loebis:1993).

Dengan demikian dapat disimpulkan bahwa DAS merupakan suatu wilayah daratan yang merupakan satu kesatuan dengan sungai dan anak-anak

sungainya, yang berfungsi menampung, menyimpan dan mengalirkan air yang berasal dari curah hujan ke danau atau ke laut secara alami.

2.1.2 Debit Banjir Rencana

Debit air adalah volume air yang melalui penampang basah sungai dalam satuan waktu tertentu yang biasanya dinyatakan dalam satuan meter kubik per detik (m^3/detik) atau liter per detik (l/detik). (Soewarno:1995)

Debit banjir rencana adalah debit maksimum dari suatu sungai, atau saluran yang besarnya didasarkan kala ulang tertentu.

Dapat disimpulkan bahwa debit banjir rencana merupakan debit air maksimum atau debit banjir yang dipakai pada dasar perencanaan untuk pengendalian banjir, dan dinyatakan dalam periode ulang tertentu.

2.1.3 Normalisasi Sungai

Normalisasi adalah suatu tindakan menjadikan kondisi saluran baik dimensi maupun garis sempadan normal kembali yang dilakukan untuk mengembalikan pada kondisi awal sesuai perencanaan. (Kementerian Pekerjaan Umum:2008)

Normalisasi Sungai adalah upaya rekayasa mengembalikan kapasitas tampung sungai (dikutip dari Dr. Ir. Firdaus Ali, M.Sc pada diskusi CNN pada 3 Januari 2020)

Kegiatan nomalisasi sungai meliputi pengeringan alur sungai, pemasangan sheet pile, perkuatan tebing, jalan inspeksi, jembatan orang, dan pintu air (Sumber: Laporan Strategi Penanganan Banjir & Penurunan Muka Tanah Di Jakarta:2010).

Dapat disimpulkan bahwa normalisasi sungai adalah suatu metode yang digunakan untuk menyediakan alur sungai dengan kapasitas mencukupi untuk menyalurkan air, terutama air yang berlebih saat curah hujan tinggi. Tujuan normalisasi sungai antara lain untuk melindungi tebing sungai karena erosi (kikisan), atau untuk mengembalikan bentuk profil sungai seperti semula sesuai dengan rencana awal sebagai upaya penanggulangan banjir.

2.2 Analisis Curah Hujan

Analisis curah hujan merupakan suatu rangkaian proses pengolahan data (curah hujan) diawali dengan suatu proses identifikasi kondisi meteorologi, stasiun penakar atau pengukur, analisis data tercatat secara kualitas dan kuantitas yang dilanjutkan dengan perhitungan distribusi frekuensi yang dipilih dan selanjutnya didapat suatu nilai intensitas curah hujan untuk periode ulang tertentu(Soewarno:1995).

Analisis data curah hujan dimaksudkan untuk memperoleh besar curah hujan daerah yang diperlukan untuk perhitungan curah rencana. Beberapa metode yang dapat digunakan dalam perhitungan curah hujan daerah. Untuk menentukan tinggi curah hujan rata-rata pada suatu areal studi, ada 3 (tiga) cara yang dapat digunakan yaitu cara rata-rata aljabar, cara poligon Thiessen dan cara garis Isohyet (Suripin:2004).

2.2.1 Metode Rata-rata Aljabar

Metode perhitungan rata-rata aljabar (*arithmatic mean*) merupakan metode yang sangat sederhana dalam perhitungan hujan pada suatu wilayah atau daerah. Metode ini cocok untuk kawasan dengan topografi datar, dengan jumlah pos curah hujan yang cukup banyak dan dengan anggapan bahwa curah hujan di daerah tersebut cenderung bersifat seragam (*uniform distribution*). Curah hujan dengan rata – rata aljabar dihitung dengan persamaan (Suripin:2004)

$$P = \frac{P_1 + P_2 + P_3 + \dots + P_n}{n} = \sum_{i=0}^n \frac{P_n}{n} \dots \quad (2.1)$$

Keterangan:

P = Curah hujan tercatat (mm)

P₁,...,P_n = Curah hujan di stasiun pengukuran (mm)

n = Jumlah stasiun pengukuran

2.2.2 Metode Poligon Thiessen

Menurut (Suripin:2004), Metode Poligon Thiessen dikenal juga sebagai metode rata – rata timbang. Metode ini ditentukan dengan cara membuat poligon antar pos hujan pada suatu wilayah DAS kemudian tinggi hujan rata rata dihitung dari jumlah perkalian antara tiap-tiap luas poligon dan tinggi hujannya dibagi dengan luas seluruh DAS. Hasil metode Poligon Thiessen lebih akurat dibandingkan dengan metode rata –rata aljabar. Cara ini cocok untuk daerah dengan luas $500 – 5000 \text{ km}^2$. Tahapan penerapan metode ini meliputi langkah – langkah sebagai berikut:

- a. Letak pos penakar hujan ditandai pada peta DAS, kemudian buat garis lurus penghubung antar titik pos penakar.
 - b. Setiap garis penghubung ditarik garis tegak lurus ditengah garis penghubung sehingga membentuk poligon.
 - c. Luas daerah yang hujannya dianggap mewakili oleh salah satu stasiun yang bersangkutan adalah daerah yang dibatasi oleh poligon tersebut

Adapun rumus dari metode ini ialah :

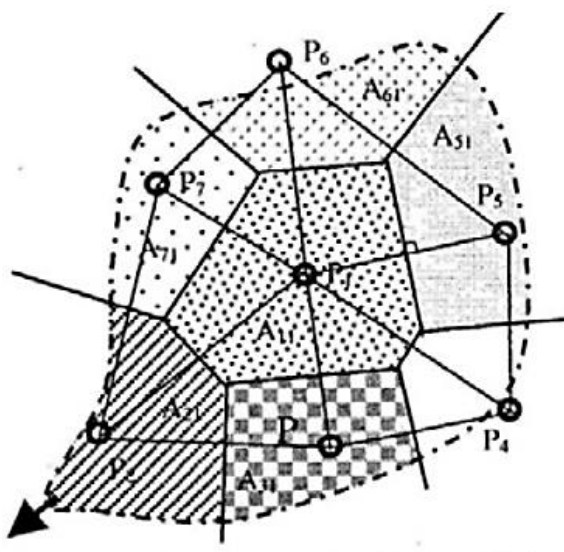
$$P = \frac{P_1A_1 + P_2A_2 + \dots + P_nA_n}{A_n + A_n + \dots + A_n} = \frac{\sum_{i=1}^n P_iA_i}{\sum_{i=1}^n A_i} \dots \quad (2.2)$$

Keterangan:

P = Curah hujan tercatat (mm)

A_n = Luas daerah pengaruh setiap stasiun(km^2)

P₁,...,P_n = Curah hujan di stasiun pengukuran (mm)



Gambar 2.1 Metode Poligon Thiessen

2.2.3 Metode Isohyet

Menurut (Suripin:2004), Metode ini merupakan metode yang paling teliti untuk menghitung hujan rata-rata di suatu daerah, tapi cara ini diperlukan keahlian dan pengalaman yang lebih dibandingkan dengan metode sebelumnya. Cara ini memperhitungkan pengaruh tiap – tiap pos penakar hujan. Isohyet sendiri memiliki pengertian kontur yang menghubungkan titik – titik dengan kedalaman hujan yang sama. Metode ini cocok untuk daerah berbukit dan tidak teratur dengan luas lebih dari 5000 km^2 .

Hitung hujan rata-rata DAS dengan persamaan berikut:

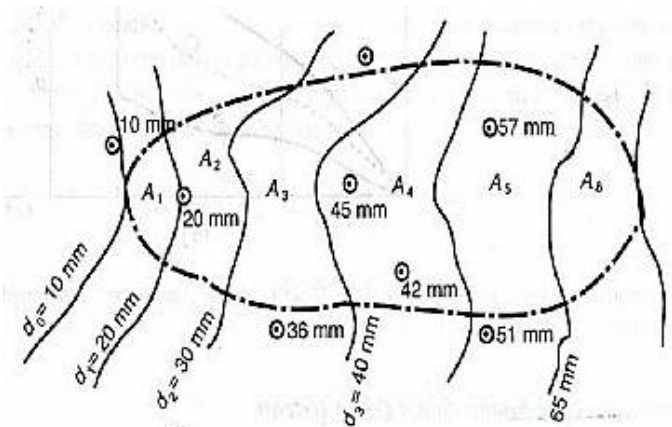
$$P = \frac{\frac{P_0+P_1}{2}A_1 + \frac{P_1+P_2}{2}A_2 + \dots + \frac{P_{n-1}+P_n}{2}A_n}{A_1+A_2+\dots+A_n} \quad (2.3)$$

Keterangan:

P = Curah hujan tercatat (mm)

A_n = Luas daerah pengaruh tiap-tiap stasiun (km^2)

P_1, \dots, P_n = Curah hujan di stasiun pengukuran (mm)



Gambar 2.2 Metode Isohyet

Sumber: insinyurpengairan.wordpress.com

Cara Memilih Metode:

- a. Jaring-jaring pos penangkar hujan dalam DAS

Jumlah pos penangkar hujan cukup :

Metode Isohyet, Metode Poligon Thiessen, Metode Rata-rata Aljabar

Jumlah pos penangkar hujan terbatas :

Metode Poligon Thiessen dan Metode Rata-rata Aljabar

- b. Topografi DAS

Pegunungan : Metode Rata-rata Aljabar

Dataran : Metode Poligon Thiessen

Berbukit dan tidak beraturan : Metode Isohyet

- c. Luas DAS

DAS Kecil ($<500 \text{ km}^2$) : Metode Rata-rata Aljabar

DAS Sedang ($500-5000 \text{ km}^2$) : Metode Polygon Theissen

DAS Besar ($>5000 \text{ km}^2$) : Metode Isohyet

Pada penelitian ini untuk menghitung curah hujan rata-rata peneliti memilih untuk menggunakan metode rata rata aljabar, sesuai dengan cara pemilihan metode diatas, DAS Kenali Besar termasuk kategori DAS kecil ($<500 \text{ km}^2$) yaitu dengan luas 13,79 km.

2.3 Analisis Frekuensi dan Probabilitas

Analisis frekuensi memerlukan data hujan yang diperoleh dari pos penakar hujan, baik yang manual maupun yang otomatis. Analisis ini berdasarkan pada

sifat statistik data kejadian di masa lalu untuk memperoleh probabilitas besaran hujan di masa yang akan datang.

Analisis frekuensi data hidrologi bertujuan untuk menentukan nilai dari besaran-besaran peristiwa ekstrim yang berkaitan dengan frekuensi kejadiannya melalui penerapan distribusi probabilitas. Analisis frekuensi menggunakan variabel – variabel acak dan distribusi probabilitas yang merupakan bagian dari metode statistik. (Suripin:2004)

Dalam analisis statistik terdapat parameter – parameter yang dapat membantu dalam menentukan jenis sebaran yang tepat. Dan jenis – jenis distribusi yang banyak digunakan dalam bidang hidrologi adalah sebagai berikut:

2.3.1 Metode Distribusi Normal

Distribusi normal merupakan distribusi kumulatif normal atau disebut pula distribusi Gauss. Fungsi densitas peluang normal (PDF = *probability density function*) yang paling dikenal adalah bentuk bell dan dikenal dengan distribusi normal. PDF distribusi normal dapat dituliskan dalam bentuk rata-rata dan simpangan bakunya, sebagai berikut: (Suripin:2004)

$$P(X) = \frac{1}{\sigma\sqrt{2\pi}} \exp\left(-\frac{(x-\mu)^2}{2\sigma^2}\right) - \infty \leq x \leq \infty \quad \dots \quad (2.4)$$

Keterangan:

$P(X)$ = Fungsi densitas peluang normal (ordinat kurva normal)

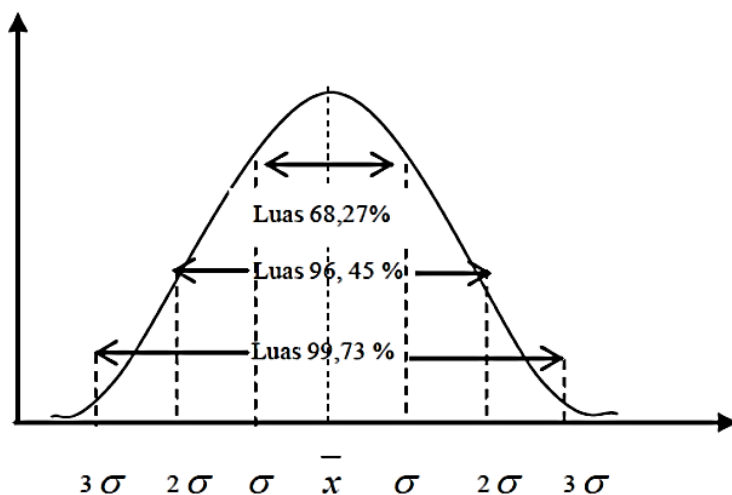
X = Variabel acak kontinu

μ = Rata-rata nilai X

σ = Simpangan baku nilai X

Analisis kurva normal cukup menggunakan parameter statistik μ dan σ . Bentuk kurvanya simetris terhadap $X = \mu$, dan grafiknya selalu diatas sumbu datar X , serta mendekati sumbu datar X dan dimulai dari $X = \mu + 3\sigma$ dan $X = \mu - 3\sigma$. Nilai mean = median = modus. Nilai X mempunyai batas $-< X < +$.

Apabila suatu populasi data hidrologi mempunyai distribusi berbentuk distribusi normal (Gambar), maka



Gambar 2.3 Kurva Distribusi Frekuensi Normal

Sumber: Suripin (2004)

- 1) Kira-kira 68,27%, terletak di daerah satu deviasi standar sekitar nilai rata ratanya, yaitu antara $(\mu - \sigma)$ dan $(\mu + \sigma)$.
- 2) Kira-kira 95,45%, terletak di daerah dua deviasi standar sekitar nilai rata ratanya, yaitu antara $(\mu - 2\sigma)$ dan $(\mu + 2\sigma)$.
- 3) Kira-kira 99,73%, terletak di daerah tiga deviasi standar sekitar nilai rata ratanya, yaitu antara $(\mu - 3\sigma)$ dan $(\mu + 3\sigma)$.

Sedangkan nilai 50%-nya terletak didaerah antara $(\mu - 0,6745\sigma)$ dan $(\mu + 0,6745\sigma)$. Rumus umum yang digunakan untuk distribusi normal adalah (Suripin:2004)

$$X_T = \bar{X} + K_T S \dots, \dots \quad (2.10)$$

Keterangan:

X_T = Perkiraan nilai yang diharapkan terjadi dengan periode ulang T- tahunan

\bar{X} = Nilai rata-rata hitung variat

S = Standar Deviasi

K_T = Faktor frekuensi, merupakan fungsi dari peluang atau periode ulang dan tipe model matematik distribusi peluang yang digunakan untuk analisis peluang

Nilai faktor frekuensi umumnya sudah tersedia dalam bentuk tabel untuk mempermudah perhitungan, yang umum disebut sebagai tabel nilai variabel reduksi Gauss (*Variable reduced Gauss*). Nilai variabel reduksi Gauss dapat dilihat pada tabel 2.1 berikut :

Tabel 2.1 Nilai Variabel Reduksi Gauss

| No | Periode Ulang, T (Tahunan) | Peluang | K_τ | No | Periode Ulang, T (Tahunan) | Peluang | K_τ |
|----|-------------------------------|---------|----------|----|-------------------------------|---------|----------|
| 1 | 1,001 | 0,999 | -3,05 | 12 | 3,330 | 0,300 | 0,52 |
| 2 | 1,005 | 0,995 | -2,58 | 13 | 4,000 | 0,250 | 0,67 |
| 3 | 1,010 | 0,990 | -2,33 | 14 | 5,000 | 0,200 | 0,84 |
| 4 | 1.050 | 0,950 | -1,64 | 15 | 10,000 | 0,100 | 1,28 |
| 5 | 1,110 | 0,900 | -1,28 | 16 | 20,000 | 0,050 | 1,64 |
| 6 | 1,250 | 0,800 | -0,84 | 17 | 50,000 | 0,020 | 2,05 |
| 7 | 1,330 | 0,750 | -0,67 | 16 | 100,000 | 0,010 | 2,33 |
| 8 | 1,430 | 0,700 | -0,52 | 19 | 200,000 | 0,005 | 2,58 |
| 9 | 1,670 | 0,600 | -0,25 | 20 | 500,000 | 0,002 | 2,88 |
| 10 | 2,000 | 0,500 | 0 | 21 | 1000,000 | 0,001 | 3,09 |
| 11 | 2,500 | 0,400 | 0,25 | | | | |

Sumber : Suripin, 2004

2.3.2 Metode Distribusi Log Normal

Jika Variable acak $Y = \log X$ terdistribusikan secara normal, maka X dikatakan mengikuti distribusi Log Normal. Ini dapat dinyatakan sebagai berikut (Suripin:2004)

$$Y_T = \bar{Y} + K_T S \dots \quad (2.5)$$

Keterangan:

Y_T = Perkiraan nilai yang diharapkan terjadi dengan periode ulang T-tahunan

\bar{Y} = Nilai rata-rata hitung variat

K_T = Faktor frekuensi, merupakan fungsi dari peluang atau periode ulang dan tipe

model matematik distribusi peluang yang digunakan untuk analisis peluang

S= Standard Deviasi

2.3.3 Metode Distribusi Log-Pearson Type III

Distribusi ini tidak memiliki konsep yang melatar belakangi pemakaian distribusi Log Normal untuk banjir puncak, maka distribusi probabilitas ini hampir tidak berbasis teori. Salah satu distribusi dari serangkaian distribusi yang dikembangkan Pearson yang menjadi perhatian ahli sumberdaya air adalah Log-Pearson Type III. Tiga parameter penting yang diperlukan oleh distribusi Log-Pearson Type III adalah:

- i. Harga rata-rata
 - ii. Simpangan baku
 - iii. Koefisien kemencengan (jika koefisien kemencengan sama dengan nol, distribusi kembali ke distribusi Log Normal)

Berikut ini langkah-langkah penggunaan distribusi Log-Pearson Type III (Suripin:2004)

- a. Ubah data kedalam bentuk logaritmis, $X = \log X$
 - b. Hitung harga rata-rata

- c. Hitung harga simpangan baku

$$S = \left(\frac{1}{n-1} \sum_{i=1}^n (\log X_i - \log \bar{x})^2 \right)^{0.5} \dots \dots \dots \quad (2.7)$$

- d. Hitung koefisien kemencengan atau kecondongan

$$G = \frac{n \sum_{i=1}^n (\log X_i - \log \bar{X})^2}{(n-1)(n-2)s^3} \dots \quad (2.8)$$

- e. Hitung logaritma hujan atau banjir dengan periode ulang T dengan rumus:

Nilai K untuk Log – Pearson III dapat dilihat pada lampiran 3

2.3.4 Metode Gumbel

Distribusi Gumbel umumnya digunakan untuk analisis data ekstrem, misalnya untuk analisis frekuensi banjir. Menurut E.J Gumbel (1941), persoalan yang utama dengan nilai-nilai ekstrim datang dari persoalan banjir.

Apabila jumlah populasi yang terbatas (sampel), maka persamaan dapat dilihat (Suripin:2004

Keterangan:

X_T = Besarnya curah hujan rencana untuk periode ulang T tahun

\bar{X} = Harga rata-rata dari data curah hujan

S = Simpangan baku data hujan

K_T = Faktor frekuensi

Y_n = Reduced mean sebagai fungsi dari banyak n data

Y_T = Reduced variate sebagai fungsi dari banyak periode ulang T tahun

S_n = Reduced standard deviasi sebagai fungsi dari banyaknya n data

Nilai Y_n (*Reduced Mean*) dapat dilihat pada tabel berikut :

Tabel 2.2 Reduced Mean, Y_{nr} Sebagai Fungsi Periode Ulang

| N | 0 | 1 | 2 | 3 | 4 | 5 | 6 | 7 | 8 | 9 |
|-----|--------|--------|--------|--------|--------|--------|--------|--------|--------|--------|
| 10 | 0,4952 | 0,4996 | 0,5035 | 0,507 | 0,51 | 0,5128 | 0,5157 | 0,5181 | 0,5202 | 0,522 |
| 20 | 0,5236 | 0,5252 | 0,5268 | 0,5283 | 0,5296 | 0,5309 | 0,532 | 0,5332 | 0,5343 | 0,5353 |
| 30 | 0,5362 | 0,5371 | 0,538 | 0,5388 | 0,5396 | 0,5403 | 0,541 | 0,5418 | 0,5424 | 0,5436 |
| 40 | 0,5436 | 0,5442 | 0,5448 | 0,5453 | 0,5458 | 0,5463 | 0,5468 | 0,5473 | 0,6477 | 0,5481 |
| 50 | 0,5485 | 0,5489 | 0,5493 | 0,5497 | 0,5501 | 0,5504 | 0,5508 | 0,5511 | 0,5515 | 0,5518 |
| 60 | 0,5521 | 0,5524 | 0,5527 | 0,553 | 0,5533 | 0,5535 | 0,5538 | 0,554 | 0,5543 | 0,5543 |
| 70 | 0,5548 | 0,555 | 0,5552 | 0,5555 | 0,5557 | 0,5559 | 0,5561 | 0,5563 | 0,5565 | 0,5567 |
| 80 | 0,5569 | 0,557 | 0,5572 | 0,5574 | 0,5576 | 0,5578 | 0,558 | 0,5581 | 0,5583 | 0,5585 |
| 90 | 0,5586 | 0,5587 | 0,5589 | 0,5591 | 0,5592 | 0,5593 | 0,5595 | 0,5596 | 0,5598 | 0,5599 |
| 100 | 0,56 | 0,5602 | 0,5603 | 0,5604 | 0,5606 | 0,5607 | 0,5608 | 0,5609 | 0,561 | 0,5611 |

Sumber : Suripin, 2004

Nilai Y_t (*Reduced Variate*) dapat dilihat pada tabel berikut :

Tabel 2.3 Reduced Variate, Y_{Tr} Sebagai Fungsi Periode Ulang

| Periode Ulang, $T_r(Tahun)$ | Reduced Variate Y_{Tr} | Periode Ulang, $T_r(Tahun)$ | Reduced Variate Y_{Tr} |
|--------------------------------|-----------------------------|--------------------------------|-----------------------------|
| 2 | 0,3668 | 100 | 4,6012 |
| 5 | 1,5004 | 200 | 5,2969 |
| 10 | 2,251 | 250 | 5,5206 |
| 20 | 2,9709 | 500 | 6,2149 |
| 25 | 3,1993 | 1000 | 6,9087 |
| 50 | 3,9028 | 5000 | 8,5188 |
| 75 | 4,3117 | 10000 | 9,2121 |

Sumber : Suripin, 2004

Nilai S_n (*Reduced Standard Deviation*) dapat dilihat pada tabel berikut :

Tabel 2.4 Reduced Standard Deviation, S_n Sebagai Fungsi Periode Ulang

| N | 0 | 1 | 2 | 3 | 4 | 5 | 6 | 7 | 8 | 9 |
|-----|--------|--------|--------|--------|--------|--------|--------|--------|--------|--------|
| 10 | 0,9496 | 0,9576 | 0,9833 | 0,9971 | 1,0095 | 1,0206 | 1,0316 | 1,0411 | 1,0493 | 1,0565 |
| 20 | 1,0628 | 1,0696 | 1,0754 | 1,0811 | 1,0864 | 1,0915 | 1,0961 | 1,1004 | 1,1047 | 1,108 |
| 30 | 1,1124 | 1,1159 | 1,1193 | 1,1226 | 1,1255 | 1,1285 | 1,1313 | 1,1339 | 1,1363 | 1,1388 |
| 40 | 1,1413 | 1,1436 | 1,1458 | 1,148 | 1,1499 | 1,1519 | 1,1538 | 1,1557 | 1,1574 | 1,159 |
| 50 | 1,1607 | 1,1623 | 1,1638 | 1,1658 | 1,1667 | 1,1681 | 1,1696 | 1,1708 | 1,1721 | 1,1734 |
| 60 | 1,1747 | 1,1759 | 1,177 | 1,1762 | 1,1793 | 1,1803 | 1,1814 | 1,1824 | 1,1834 | 1,1844 |
| 70 | 1,1854 | 1,1863 | 1,1873 | 1,1881 | 1,189 | 1,1898 | 1,1906 | 1,1915 | 1,1923 | 1,193 |
| 80 | 1,1938 | 1,1945 | 1,1953 | 1,1959 | 1,1967 | 1,1973 | 1,198 | 1,1987 | 1,1994 | 1,2001 |
| 90 | 1,2007 | 1,2013 | 1,202 | 1,2026 | 1,2032 | 1,2038 | 1,2044 | 1,2049 | 1,2055 | 1,206 |
| 100 | 1,2065 | 1,2069 | 1,2073 | 1,2077 | 1,2081 | 1,2084 | 1,2087 | 1,209 | 1,2093 | 1,2096 |

Sumber : Suripin, 2004

2.4 Uji Keselarasan Distribusi

Uji keselarasan diperlukan untuk menguji persamaan distribusi peluang yang telah dipilih terhadap fungsi distribusi peluang yang diperkirakan dapat mewakili distribusi statistik sampel data yang dianalisis. Salah satu metodenya ialah dengan uji chi-kuadrat.

Tabel 2.5 Uji Distribusi

| Jenis Distribusi | Syarat | Perhitungan | Kesimpulan |
|------------------|-------------------------------------------------------|-------------|----------------|
| Normal | $C_s = 0$ | -0,27 | Tidak Memenuhi |
| | $C_k = 3$ | 4,08 | |
| Log Normal | $C_s = 3C_v + C_v^3 = 0,087$ | -0,685 | Tidak Memenuhi |
| | $C_k = C_v^8 + 6C_v^6 + 15C_v^4 + 16C_v^2 + 3 = 3,01$ | 4,632 | |
| Log Pearson III | $C_s \neq 0$ | -0,466 | Memenuhi |
| | $C_k \neq 0$ | 4,632 | |
| Gumbel | $C_s = 1,14$ | -0,28 | Tidak Memenuhi |
| | $C_k = 5,4$ | 4,08 | |

Sumber : Suripin, 2004

2.3.4 Uji Chi-kuadrat

Uji Chi-kuadrat dimaksudkan untuk menentukan apakah persamaan distribusi yang telah dipilih memenuhi syarat untuk dijadikan dasar dalam menentukan debit air rencana dengan periode ulang tertentu atau mewakili distribusi statistik sampel data yang dianalisis. Pengambilan keputusan uji ini menggunakan parameter X^2 , yang dapat dihitung dengan rumus sebagai berikut (Suripin:2004):

Keterangan:

h = Parameter chi-kuadrat terhitung

G = Jumlah sub kelompok

O_i = Jumlah nilai pengamatan pada sub kelompok i

E_i = Jumlah nilai teoritis pada sub kelompok i

Prosedur Uji Chi-kuadrat adalah sebagai berikut:

- a. Urutkan data pengamatan (dari besar kekecil atau sebaliknya)
 - b. Kelompokkan data menjadi G sub grup yang masing-masing beranggotakan minimal 4 data pengamatan
 - c. Jumlah data pengamatan berdasarkan O_i tiap tiap sub-grup
 - d. Jumlahkan data dari persamaan distribusi yang digunakan sebesar E_i
 - e. Pada tiap sub-grup hitung nilai:

$$(O_i - E_i) \text{ dan } \frac{(O_i - E_i)^2}{E_i}$$

- f. Jumlah seluruh G sub-grup nilai $\frac{(O_i - E_i)^2}{E_i}$ untuk menentukan nilai chikuadrat terhitung.

g. Tentukan derajat kebebasan $dk = G - R - I$ (nilai R = 2 untuk distribusi normal dan bionomial)

Interpretasi hasil uji adalah sebagai berikut:

- a. Apabila peluang lebih dari 5%, maka persamaan distribusi yang digunakan dapat diterima

- b. Apabila peluang kurang dari 1% maka persamaan distribusi yang digunakan tidak dapat diterima
 - c. Apabila peluang berada diantara 1%-5% maka tidak mungkin mengambil keputusan, misal perlu data tambahan.

Nilai kritis untuk distribusi chi-kuadrat dapat dilihat pada lampiran 4.

2.5 Koefisien Limpasan

Koefisien limpasan merupakan nilai banding antara bagian hujan yang membentuk limpasan langsung dengan hujan total yang terjadi. Koefisien limpasan untuk tiap bagian daerah yang memiliki fungsi lahan yang berbeda dapat dihitung dengan rumus (Triyatmodjo:2008)

Keterangan :

C_i = Koefisien limpasan untuk daerah dengan luasan A_i

A_i = Luasan dengan nilai C yang berbeda

$\sum Ai$ = Penjumlahan semua luasan dengan nilai C yang berbeda.

Untuk mempermudah perhitungan koefisien limpasan, dapat dilihat pada Tabel 2.5, dimana pada tabel tersebut terdapat angka – angka koefisien limpasan pada masing – masing fungsi lahan.

Tabel 2.6 Koefisien Limpasan

| Daerah | Koefisien aliran (C) |
|------------------------------|------------------------|
| Perumahan tidak begitu rapat | 0,25 - 0,40 |
| Perumahan kerapatan sedang | 0,40 - 0,70 |
| Perumahan rapat | 0,70 - 0,80 |
| Taman dan daerah rekreasi | 0,20 - 0,30 |
| Daerah industry | 0,80 - 0,90 |
| Daerah perniagaan | 0,90 - 0,95 |

Sumber : Wesli, 2008

2.6 Waktu Konsentrasi (tc)

Waktu konsentrasi yang dimaksud adalah waktu yang diperlukan saat air hujan jatuh pada titik awal hulu saluran sampai pada titik hilir saluran. Salah satu metode untuk memperkirakan waktu konsentrasi adalah rumus yang dikembangkan oleh Kirpich (1949) dengan rumus sebagai berikut

Keterangan :

Rumus Rasional :

Keterangan :

Tc = Waktu Konsentrasi /jam

To = Waktu yang di perlukan air untuk mengalir di permukaan ke saluran /jam

Td = Waktu perjalanan dari pertama masuk saluran sampai titik keluar /jam

2.7 Intensitas Curah Hujan

Intensitas curah hujan adalah jumlah hujan yang dinyatakan dalam tinggi atau kedalaman air hujan per satuan waktu. Sifat umum hujan adalah semakin hujan berlangsung intensitasnya cenderung semakin tinggi dan semakin besar periode ulangnya semakin tinggi pula intensitasnya.

Besarnya intensitas hujan sangat berpengaruh terhadap besarnya debit yang akan dibuang. Intensitas hujan berbanding lurus dengan debit. Semakin besar intensitas hujan, maka debit yang harus dialirkan pada daerah tersebut akan semakin besar.

Salah satu cara yang dapat digunakan untuk menentukan besarnya intensitas hujan adalah dengan rumus Mononobe (Suripin:2004)

$$I = \frac{R_{24}}{24} \left(\frac{24}{t} \right)^2 / 3 \dots \quad (2.16)$$

Keterangan:

I = Intensitas curah hujan (mm/jam)

t = Waktu (durasi) curah hujan (menit)

R_{24} = Curah hujan maksimum dalam 24 jam (mm)

2.8 Periode Ulang Hujan

Menurut Robert J. Kodoatje (2013), kala ulang atau periode ulang dapat didefinisikan sebagai interval waktu dari suatu peristiwa yang mencapai suatu harga tertentu atau melampaui harga tersebut. Pengertian Q_{25} tidak berarti terjadi banjir setiap 25 tahun. Analisis periode ulang debit menggunakan ilmu statistik

dalam menentukan besaran tersebut, yaitu dalam konsep analisis kemungkinan (Probability).

Periode ulang tahunan adalah rerata selang waktu perkiraan terjadinya banjir. Berikut tabel periode ulang yang diisyaratkan menurut Departemen Pekerjaan Umum:

Tabel 2.7 Periode Ulang yang Diisyaratkan

| Bangunan / Saluran Drainase | Periode Ulang |
|------------------------------------------|----------------------|
| Sungai Besar atau Saluran Primer | 25 tahun |
| Sungai Kecil | 10 tahun |
| Saluran Sekunder | 10 tahun |
| Saluran Tersier (Saluran Permukiman) | 1 tahun |
| Saluran Tersier (Industri dan Komersial) | 2 tahun |
| Gorong-gorong | 10 tahun |
| Gorong-gorong Jalan Tol | 25 tahun |
| Saluran Drainase Jalan | 5 tahun |

Sumber: Departemen Pekerjaan Umum, standar Metode Menghitung Design Flood, Jakarta: Badan Penerbit PU (1990).

2.9 Perhitungan Debit Banjir Rencana

Metode rasional adalah metode untuk menghitung debit banjir maksimum dari curah hujan.

Rumus metode rasional : (Wesli:2008)

Keterangan :

Q_T = Debit rencana (m^3/detik)

C = Koefesien pengaliran

I_T = Itensitas curah hujan dengan periode ulang (T) tahun (mm/jam)

A = Luas daerah aliran (Km^2)

2.10 Persamaan Manning

Rumus Manning mempunyai bentuk yang sangat sederhana tetapi memberikan hasil yang memuaskan, oleh karena itu rumus Manning dapat luas penggunaannya sebagai rumus aliran seragam dalam perhitungan saluran. Rumus kecepatan rata-rata pada perhitungan kapasitas penampang saluran menggunakan rumus Manning (Sosrodarsono:2003).

Persamaan untuk kecepatan aliran yang terjadi adalah

$$V = \frac{1}{n} x R^{\frac{2}{3}} x S^{\frac{1}{2}} \dots \quad (2.18)$$

Persamaan untuk debit yang mengalir adalah :

$$Q = \frac{1}{n} x R^{\frac{2}{3}} x S^{\frac{1}{2}} x A \dots \quad (2.20)$$

Keterangan :

V = Kecepatan aliran (m/detik)

Q = Debit saluran (m³/detik)

n = Koefisien kekasaran Manning

R = Jari-jari hidrolik saluran (m)

So = Kemiringan dasar saluran

A = Luas penampang aliran (m^2)

Besarnya koefisien Manning dapat mer

Tabel 2.8 Koefisien Manning

| Bahan | Koefisien <i>Manning</i> (<i>n</i>) |
|---------------------------------------------|---------------------------------------|
| Besi tuang dilapis | 0,014 |
| Kaca | 0,010 |
| Saluran beton | 0,013 |
| Bata dilapis mortar | 0,015 |
| Pasangan batu disemen | 0,025 |
| Saluran tanah bersih | 0,022 |
| Saluran tanah bersih | 0,030 |
| Saluran dengan dasar batu dan tebing rumput | 0,040 |
| Saluran pada galian batu cadas | 0,040 |

Sumber : Wesli, 2008

2.11 Pemodelan HEC-RAS

Program *HEC RAS* merupakan paket program dari ASCE (*American Society of Civil Engineers*). *HEC-RAS* dirancang untuk membuat simulasi aliran satu dimensi. Perangkat lunak ini memberikan kemudahan dengan tampilan grafisnya.

Pada software *HEC-RAS* ini, dapat ditelusuri kondisi air sungai dalam pengaruh hidrologi dan hidrolikanya, serta penanganan sungai lebih lanjut sesuai kebutuhan.

Secara umum perangkat lunak ini menyediakan fungsi-fungsi sebagai berikut:

1. Manajemen File
2. Input data dan pengeditan
3. Analisa Hidraulika
4. Keluaran (tabel, grafik dan gambar)

2.12 Kerangka Berpikir

Permasalahan banjir yang terjadi di wilayah Kelurahan Bagan Pete merupakan salah satu akibat meluapnya air sungai pada Sungai Kenali Besar. Curah hujan yang tinggi dapat menyebabkan jumlah debit air meningkat dan menjadi salah satu faktor yang menyebabkan air sungai meluap. Akan tetapi dengan dimensi saluran yang tidak sesuai dengan kapasitas air yang tinggi dapat menjadi salah satu faktor utama terhadap masalah banjir tersebut. Akibat terganggunya sistem drainase, air yang seharusnya mengalir dengan baik dapat menghambat aliran air dan menyebabkan banjir akibat sistem drainase yang tidak bagus.

Pelebaran juga dapat diartikan dengan Normalisasi memiliki pengertian sebagai mendimensi ulang aliran sungai atau menata kembali sungai dengan harapan menyelesaikan masalah banjir agar tidak kembali terulang. Kegiatan pelebaran sungai ini meliputi pengerasan dinding sungai, pembangunan sodetan, pembuatan tanggul, membuat sumber resapan dan juga pengerukan. Pengerasan dinding sungai dapat dilakukan dengan memasang batu kali atau dengan pembetonan pada dinding sungai.

Penelitian ini dilakukan sebagai upaya mengatasi bahaya banjir di wilayah kelurahan Bagan Pete di saat debit aliran tinggi, untuk itu dihitung debit banjir rencana pada pelebaran sungai Kenali Besar khususnya di daerah yang mengakibatkan terjadinya banjir di wilayah tersebut. Dengan Penganalisaan data curah hujan dihitung dari curah hujan maksimum tahunan dari stasiun curah ujan,

kemudian mengkaji pengaruh pelebaran sungai tersebut terhadap debit aliran Sungai Kenali Besar.

BAB III

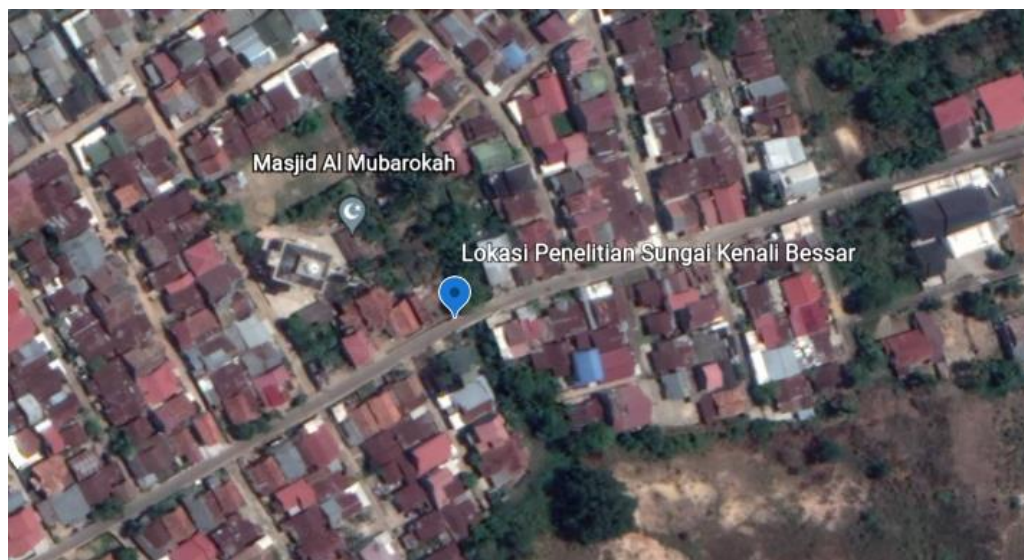
METODOLOGI PENELITIAN

3.1 Umum

Sungai Kenali Besar ini melintasi Kecamatan Alam Barajo dengan luas wilayah nya $103,54 \text{ km}^2$ di mana salah satu nya melintasi Komp.Perum Garuda III Jaya, Kel. Bagan Pete.

3.1.1 Tempat dan Waktu Penelitian

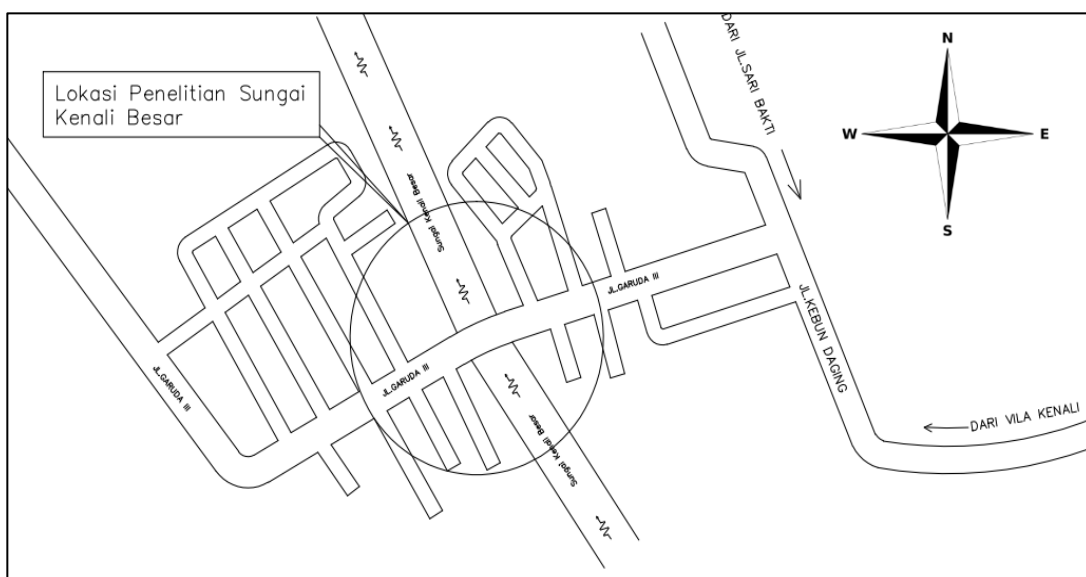
Penelitian ini dilakukan di Sungai Kenali Besar dikhkususkan pada wilayah Kelurahan Kenali Besar, Kecamatan Alam Barajo, Kota Jambi



Gambar 3.1 Peta Lokasi Kelurahan Bagan Pete, Kecamatan Kota Baru, Kota Jambi
Sumber : Google map 2021

3.1.2 Denah Lokasi Penelitian

Lokasi sungai yang menjadi bahan penelitian ini berlokasi di Jl. Garuda 3, Kel. Bagan Pete, Kec. Kota Baru yang bisa di akses dari arah Timur yaitu SPBU Vila Kenali atau Kebun Daging dari arah Barat yaitu Jl. Linkar Selatan dan dari Utara yaitu dari Lorong Pipa.



Gambar 3.2 Denah Lokasi Penelitian

Sumber : Google Maps 2021

3.1 Metode Penelitian

Metode yang akan dilakukan dalam penelitian ini adalah metode perencanaan yaitu penelitian yang membahas hal – hal tentang kajian, melakukan perhitungan kembali yang dalam hal ini suatu kajian debit rencana setelah dilakukan pelebaran pada sungai Kenali Besar. Kajian dilakukan dengan mengikuti pedoman perencanaan saluran dan petunjuk standar perencanaan peraturan yang ditetapkan oleh Departemen Pekerjaan Umum dalam SNI 2415-2016 (Tata Cara Perhitungan Debit Banjir). Proses penggerjaan penelitian ini dalam perhitungannya menggunakan bantuan program computer *HEC-RAS*.

3.3 Teknik Pengumpulan Data

Pada perencanaan perbaikan sungai ini ada tahap-tahap yang harus dilalui, salah satu di antaranya adalah tahap pengumpulan data. Untuk memudahkan pengumpulan dan pengolahan data. Dalam pengumpulan data yang diperlukan, sumber data terdiri dari :

3.3.1 Data Primer

Data primer ialah data yang diperoleh atau dikumpulkan langsung di lapangan oleh orang yang melakukan penelitian atau yang memerlukannya. Data primer dapat dari sumber informasi yaitu individu atau perorangan seperti hasil wawancara yang dilakukan oleh peneliti. Data primer antara lain:

- Catatan hasil wawancara yang diperoleh dari pihak yang kontraktor dan warga sekitar
- Hasil observasi lapangan yang dilakukan survey lokasi langsung di lokasi
- Dokumentasi yang diambil langsung di lokasi Penelitian

3.3.2 Data sekunder

Data sekunder adalah data yang diperoleh atau dikumpulkan oleh orang yang melakukan penelitian dari sumber-sumber yang telah ada. Data ini digunakan untuk mendukung informasi primer yang telah diperoleh. Data sekunder antara lain :

- Data curah hujan dari 2012-2021 yang diperoleh dari Badan Meteorologi Klimatologi dan Geofisika (BMKG)

3.3.3 Pengumpulan Data

Sebelum memulai pengumpulan dan pengolahan data, maka tahap - tahap persiapan dengan kegiatan yang diperlukan sebagai berikut. Tahap persiapan meliputi kegiatan - kegiatan berikut :

1. Studi pustaka terhadap materi untuk menentukan garis besarnya.
2. Menentukan data-data yang diperlukan
3. Menyiapkan surat izin penelitian ke instansi-instansi terkait seperti Badan Meteorologi Klimatologi dan Geofisika (BMKG) dan Dinas Pekerjaan Umum (PU).
4. Survey lokasi untuk mendapatkan gambaran umum kondisi sebenarnya.

3.3.4 Metode Pengumpulan Data

Dalam perencanaan ini penulis menggunakan beberapa metode pengumpulan data yang dilakukan, yaitu dengan cara:

- a. Kepustakaan

Kepustakaan data perencanaan didapatkan dengan cara mengumpulkan berbagai data yang berasal dari literature, jurnal, dokumen, mengolah data tertulis, buku-buku referensi atau buku-buku sumber yang mempunyai hubungannya dengan objek kajian.

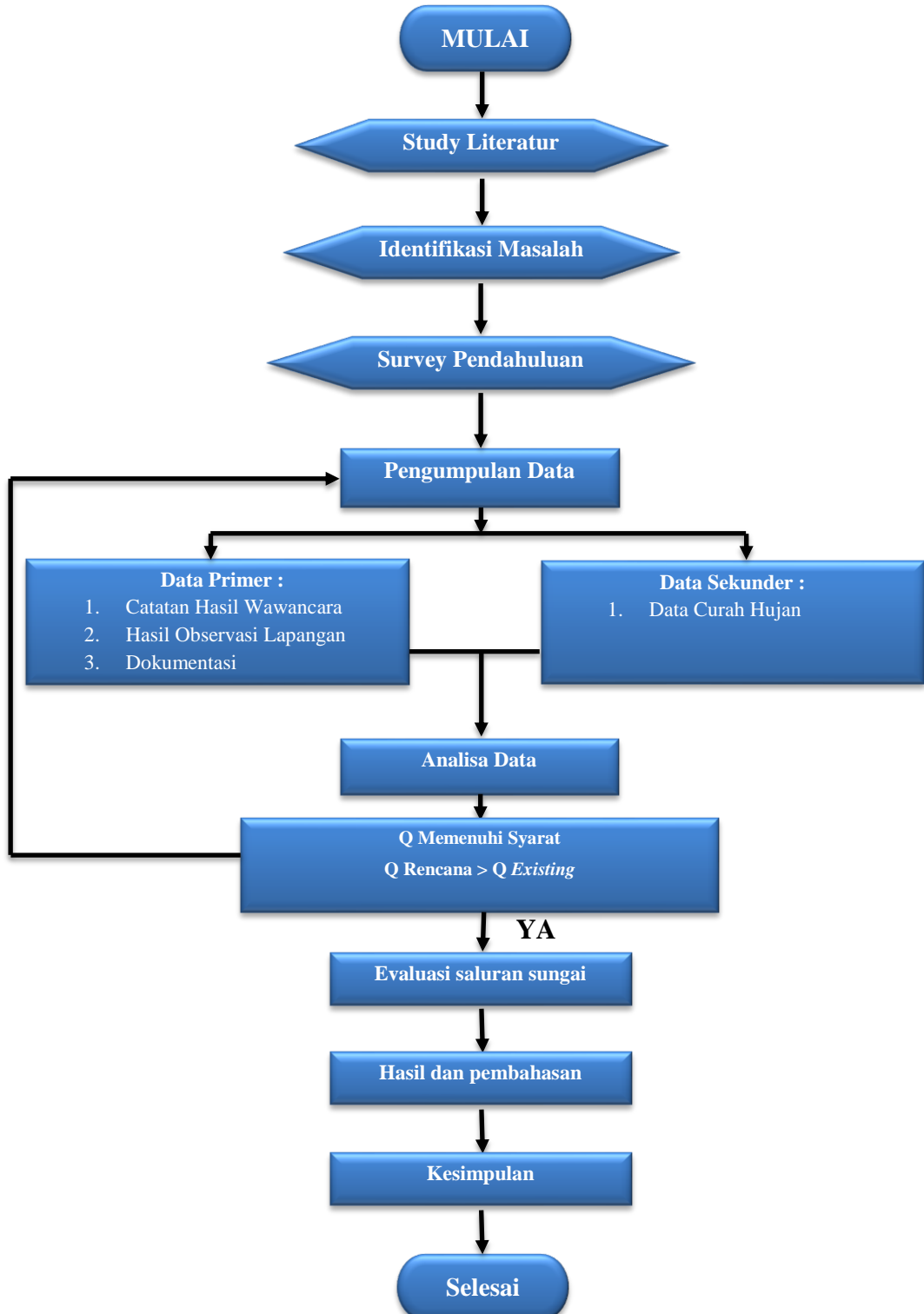
- b. Metode Observasi

Metode observasi yang dimaksud merupakan suatu cara pengumpulan data, dengan melakukan pengamatan langsung ke lokasi untuk mengetahui kondisi sebenarnya dilapangan. Pengumpulan data dengan cara menginventarisasi data diantaranya data curah hujan dan klimatologi dari

Badan Meteorologi Klimatologi dan Geofisika (BMKG), peta topografi dari Badan Informasi Geospasial, Data kondisi drainase, hidrologi, Laporan Review Desain Supervisi Pelebaran Sungai Kenali Besar, Laporan Studi Pengendalian Banjir Sungai Kenali Besar dari PU Kota. yaitu dengan cara mengumpulkan data primer dan data sekunder antara lain:

1. Data curah hujan bulanan dengan periode 10 tahun 2012-2021, didapat dari Badan Meteorologi Klimatologi dan Geofisika (BMKG) Sultan Thaha Jambi.
2. Data teknis Sungai Kenali Besar dari Dinas Pekerjaan Umum Kota Jambi

3.4 Diagram Alur (*flowchart*) Penelitian



Gambar 3.3 Diagram Alir (*Flowchart*) Penelitian

Sumber : Data Olahan Tugas Akhir, 2021

BAB IV

ANALISA DAN PEMBAHASAN

4.1 Deskripsi Data

Sungai Kenali Besar merupakan salah satu sungai yang melintasi kota Jambi. Sungai ini memiliki :

- Luas DAS = 3.623 Ha = 36.23 km^2
- Luas Catchment Area = 0.60 km^2
- Panjang sungai = 13.79 km
- Lebar sungai = 10 meter
- Panjang sungai Existing = 134 meter

4.2 Analisa Curah Hujan

4.3.4 Curah Hujan Bulanan Maksimum

Untuk menganalisa curah rencana dan debit banjir rencana pada Sungai Kenali Besar diperlukan data curah hujan bulanan selama 10 tahun terakhir (2012-2021). Pada penelitian ini data curah hujan yang digunakan diperoleh dari kantor Badan Meteorologi, Klimatologi dan Geofisika (BMKG) Kota Jambi,

Berikut ini data curah hujan 10 tahun terakhir pada Stasiun Meteorologi Sultan Thaha Jambi.

Tabel 4. 1 Tabel Data Curah Hujan Kota Jambi

| No | Tahun | Bulan | | | | | | | | | | | |
|----|-------|---------|----------|-------|-------|-------|-------|-------|---------|-----------|---------|----------|----------|
| | | Januari | Februari | Maret | April | Mei | Juni | Juli | Agustus | September | Oktober | November | Desember |
| 1 | 2012 | 136 | 143 | 222 | 244 | 266 | 53 | 108 | 55 | 53 | 277 | 150 | 223 |
| 2 | 2013 | 150,1 | 183,6 | 326 | 125,1 | 182,8 | 83 | 209,1 | 73,4 | 235,4 | 325,3 | 170,7 | 29,1 |
| 3 | 2014 | 91,9 | 26,2 | 101 | 338,1 | 108,9 | 102,1 | 195,1 | 184,7 | 67 | 100,6 | 228 | 28,2 |
| 4 | 2015 | 158,1 | 111,4 | 178,1 | 303,5 | 134,2 | 34,6 | 73,1 | 37,4 | 110 | 36 | 345,2 | 298 |
| 5 | 2016 | 102 | 195 | 70 | 234 | 104 | 76 | 127 | 199 | 109 | 130 | 209 | 140 |
| 6 | 2017 | 109 | 191 | 196 | 298 | 158 | 233 | 55 | 68 | 216 | 230 | 340 | 273 |
| 7 | 2018 | 134,7 | 219,5 | 307,5 | 211,8 | 289,6 | 86,9 | 31,3 | 75,3 | 209 | 137,3 | 421,4 | 236,5 |
| 8 | 2019 | 167 | 291,2 | 151 | 386 | 161 | 160 | 21 | 3 | 48 | 195 | 115,2 | 147,5 |
| 9 | 2020 | 152 | 86 | 232 | 205 | 220 | 95 | 198 | 96 | 182 | 368 | 265 | 324 |
| 10 | 2021 | 129 | 101 | 234 | 251 | 184 | 90 | 156 | 70 | 103 | 295 | 240 | 263 |

(Sumber : Data BMKG Sultan Thaha Jambi, 2021)

Tabel 4. 2 Curah Hujan Rata-Rata

| No | Tahun | Ex | Xi (mm) |
|-----------|-------|---------|---------|
| 1 | 2012 | 1930 | 160,83 |
| 2 | 2013 | 2093,6 | 174,47 |
| 3 | 2014 | 1571,8 | 130,98 |
| 4 | 2015 | 1819,6 | 151,63 |
| 5 | 2016 | 1695 | 141,25 |
| 6 | 2017 | 2367 | 197,25 |
| 7 | 2018 | 2360,8 | 196,73 |
| 8 | 2019 | 1845,9 | 153,83 |
| 9 | 2020 | 2423 | 201,92 |
| 10 | 2021 | 2116 | 176,33 |
| Jumlah | | 1685,23 | |
| Rata-rata | | 168,52 | |

Sumber : Perhitungan Tugas Akhir2022

- Contoh Perhitungan jumlah Curah Hujan 2012

$$\begin{aligned}\sum X &= 136 + 143 + 222 + 244 + 266 + 53 + 108 + 55 + 53 + 277 + 150 + 223 \\ &= 1930\end{aligned}$$

- Contoh Perhitungan Curah hujan rata-rata tahun 2012

$$X_i = \frac{\sum X}{n} = \frac{1930}{12} = 160.83 \text{ mm}$$

- Contoh Perhitungan Curah hujan rata-rata 10 tahun terakhir

$$X = \frac{\sum X}{n} = \frac{1685.23}{10} = 168.52 \text{ mm}$$

4.2.2 Curah Hujan Tahunan Daerah

Analisa dilakukan dengan metode rata-rata aljabar. Metode ini biasa digunakan pada DAS yang datar, metode ini dipilih karena DAS Kenali Besar termasuk kategori DAS kecil ($< 500 \text{ km}^2$) yaitu sebesar 13,79 km.

Hujan kawasan diperoleh dari persamaan (Suripin, 2004):

$$P = \frac{P_1 + P_2 + P_3 \dots + P_n}{n}$$

Keterangan:

- P = Curah hujan tercatat (mm)
 P₁,...,P_n = Curah hujan di stasiun pengukuran (mm)
 n = Jumlah stasiun pengukuran

Rata-rata maksimum diambil sebagai curah hujan areal Sungai Kenali Besar.

Tabel 4. 3 Data Curah Hujan Maksimum Tahunan (2012-2021)

| Tahun | P rencana (mm) |
|---------------------|----------------|
| 2012 | 277 |
| 2013 | 326 |
| 2014 | 338,1 |
| 2015 | 345,2 |
| 2016 | 234 |
| 2017 | 340 |
| 2018 | 421,4 |
| 2019 | 386 |
| 2020 | 368 |
| 2021 | 295 |
| Jumlah (Σ) | 3330,7 |

Sumber : Perhitungan Tugas Akhir 2022

Tabel 4. 4 Data Curah Hujan Maksimum Bulanan (Januari-Desember)

| Tahun | P rencana (mm) |
|-------------------------------------|-----------------------|
| Januari | 167 |
| Februari | 291,2 |
| Maret | 326 |
| April | 386 |
| Mei | 289,6 |
| Juni | 233 |
| Juli | 209,1 |
| Agustus | 199 |
| September | 235,4 |
| Oktober | 368 |
| November | 421,4 |
| Desember | 324 |
| Jumlah (Σ) | 3449,7 |

Sumber : Perhitungan Tugas Akhir 2022

4.3 Analisis Distribusi Curah Hujan

Untuk penentuan curah hujan yang akan dipakai dalam menghitung besarnya debit banjir rencana berdasarkan analisa distribusi curah hujan, awalnya dengan pengukuran dispersi dilanjutkan pengukuran dispersi dengan logaritma untuk menentukan jenis distribusi yang digunakan dan kemudian pengujian kecocokan sebaran dengan menggunakan uji chi-kuadrat. Dari hasil perhitungan curah hujan maksimum tahunan dengan metode rata-rata aljabar diatas perlu ditentukan kemungkinan terulangnya curah hujan maksimum harian guna menentukan debit banjir rencana.

4.3.1 Penentuan Jenis Distribusi

4.3.1.1 Metode Distribusi Normal

Tabel 4. 5 Perhitungan Variabel Dispersi Distribusi Normal

| No | Tahun | Curah Hujan Maks (Xi) (mm) | (Xi - X) | (Xi - X) ² | (Xi - X) ³ | (Xi - X) ⁴ |
|-----------|-------|----------------------------------|----------|-----------------------|-----------------------|-----------------------|
| 1 | 2012 | 277,00 | -56,07 | 3143,84 | -176275,38 | 9883760,76 |
| 2 | 2013 | 326,00 | -7,07 | 49,98 | -353,39 | 2498,49 |
| 3 | 2014 | 338,10 | 5,03 | 25,30 | 127,26 | 640,14 |
| 4 | 2015 | 345,20 | 12,13 | 147,14 | 1784,77 | 21649,27 |
| 5 | 2016 | 234,00 | -99,07 | 9814,86 | -972358,67 | 96331573,01 |
| 6 | 2017 | 340,00 | 6,93 | 48,02 | 332,81 | 2306,39 |
| 7 | 2018 | 421,40 | 88,33 | 7802,19 | 689167,35 | 60874151,63 |
| 8 | 2019 | 386,00 | 52,93 | 2801,58 | 148287,89 | 7848877,95 |
| 9 | 2020 | 368,00 | 34,93 | 1220,10 | 42618,26 | 1488655,97 |
| 10 | 2021 | 295,00 | -38,07 | 1449,32 | -55175,80 | 2100542,67 |
| Jumlah | | 3330,70 | 0,000 | 26502,36 | -321844,90 | 178554656,26 |
| \bar{X} | | 333,07 | | | | |
| S | | 54,27 | | | | |

Sumber : Perhitungan Tugas Akhir2022

a. Perhitungan Dispersi Distribusi Normal

- Nilai rata-rata curah hujan

$$\bar{X} = \frac{\sum X}{n} = \frac{3330,70}{10} = 333,07 \text{ mm}$$

- Standar Deviasi (S)

$$S = \sqrt{\frac{\sum(X_i - \bar{X})^2}{n - 1}} = \sqrt{\frac{26502,36}{10 - 1}} = 54,26$$

- Koefisiien Variasi (C_v)

$$C_v = \frac{S}{\bar{X}} = \frac{54,26}{333,07} = 0,16$$

- Koefisien *swekness* (C_s)

$$C_s = \frac{n \sum (Xi - \bar{X})^3}{(n-1)(n-2)S^3} = \frac{(10)(-321844,90)}{(10-1)(10-2)54,26^3} = -0,27$$

- Koefisien Kurtosis (C_k)

$$C_k = \frac{n^2 \sum (Xi - \bar{X})^4}{(n-1)(n-2)(n-3)S^4}$$

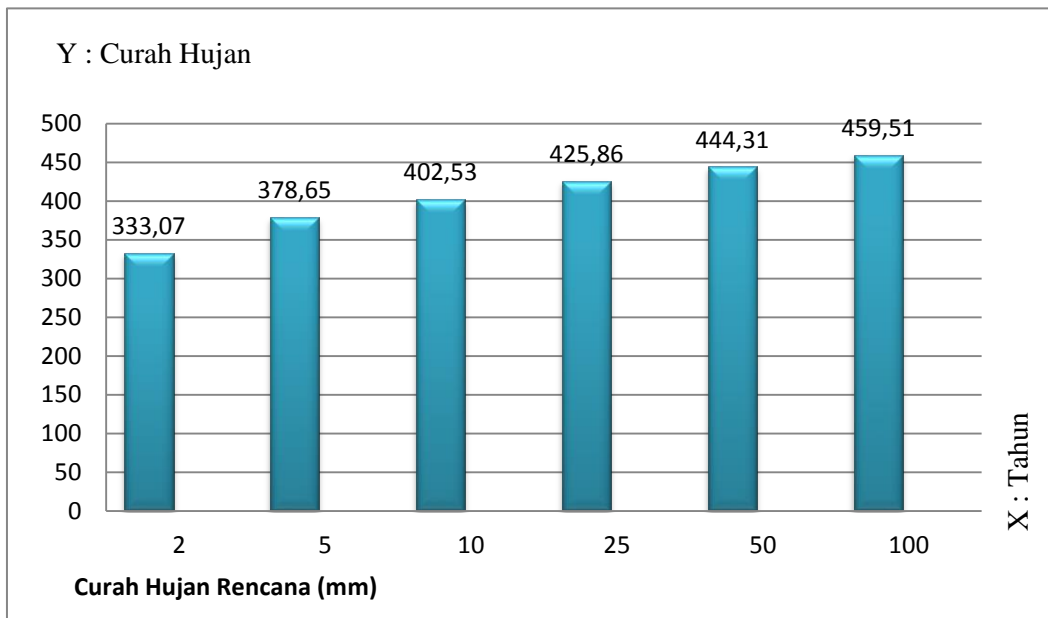
$$= \frac{10^2 \times 178554656,26}{(10-1)(10-2)(10-3)54,26^4} = 4,08$$

Lalu digunakan persamaan $X_T = \bar{X} + K_T S$ dan harga variable reduksi *Gauss* pada Tabel 2.1 dapat dihitung curah hujan dengan periode ulang tertentu sebagai berikut:

Tabel 4. 6 Analisa Curah Hujan Rencana dengan Distribusi Normal

| No | Periode Ulang (T) Tahun | K _T | X | S | Curah Hujan (X _T) (mm) |
|----|----------------------------|----------------|--------|-------|---------------------------------------|
| 1 | 2 | 0,00 | 333,07 | 54,27 | 333,07 |
| 2 | 5 | 0,84 | 333,07 | 54,27 | 378,65 |
| 3 | 10 | 1,28 | 333,07 | 54,27 | 402,53 |
| 4 | 25 | 1,71 | 333,07 | 54,27 | 425,86 |
| 5 | 50 | 2,05 | 333,07 | 54,27 | 444,31 |
| 6 | 100 | 2,33 | 333,07 | 54,27 | 459,51 |

Sumber : Perhitungan Tugas Akhir2022



Gambar 4. 1 Grafik Distribusi Normal

Sumber : Perhitungan Tugas Akhir2022

4.3.1.2 Metode Distribusi Log Normal

Tabel 4. 7 Perhitungan Variabel Dispersi Distribusi Log Normal

| No | Tahun | Curah Hujan Maks (Xi) (mm) | (Log Xi) | (Log Xi - Log X) | (Log Xi - Log X) ² | (Log Xi - Log X) ³ | (Log Xi - Log X) ⁴ |
|--------|-------|-------------------------------|----------|------------------|-------------------------------|-------------------------------|-------------------------------|
| 1 | 2012 | 277,00 | 2,4425 | -0,0746 | 0,0056 | -0,0004 | 0,0000 |
| 2 | 2013 | 326,00 | 2,5132 | -0,0038 | 0,0000 | 0,0000 | 0,0000 |
| 3 | 2014 | 338,10 | 2,5290 | 0,0120 | 0,0001 | 0,0000 | 0,0000 |
| 4 | 2015 | 345,20 | 2,5381 | 0,0210 | 0,0004 | 0,0000 | 0,0000 |
| 5 | 2016 | 234,00 | 2,3692 | -0,1478 | 0,0219 | -0,0032 | 0,0005 |
| 6 | 2017 | 340,00 | 2,5315 | 0,0144 | 0,0002 | 0,0000 | 0,0000 |
| 7 | 2018 | 421,40 | 2,6247 | 0,1076 | 0,0116 | 0,0012 | 0,0001 |
| 8 | 2019 | 386,00 | 2,5866 | 0,0695 | 0,0048 | 0,0003 | 0,0000 |
| 9 | 2020 | 368,00 | 2,5658 | 0,0488 | 0,0024 | 0,0001 | 0,0000 |
| 10 | 2021 | 295,00 | 2,4698 | -0,0472 | 0,0022 | -0,0001 | 0,0000 |
| Jumlah | | 3330,70 | 25,1705 | | 0,0493 | -0,0020 | 0,0007 |
| X | | 333,07 | 2,5170 | | | | |
| S | | 0,074 | | | | | |

Sumber : Perhitungan Tugas Akhir2022

b. Perhitungan Dispersi Log Normal

- Nilai rata-rata curah hujan

$$\bar{X} = \frac{\sum \log X}{n} = \frac{25,1705}{10} = 2,5170 \text{ mm}$$

- Standar Deviasi (S)

$$S = \sqrt{\frac{\sum (\log X_i - \log \bar{X})^2}{n-1}} = \sqrt{\frac{0,0493}{10-1}} = 0,074$$

- Koefisiien Variasi (C_v)

$$C_v = \frac{S}{\log \bar{X}} = \frac{0,074}{2,5170} = 0,029$$

- Koefisien skewness (C_s)

$$C_s = \frac{n \sum ((\log X_i - \log \bar{X})^3)}{(n-1)(n-2)S^3}$$

$$= \frac{(10)(-0,0020)}{(10-1)(10-2)0,074^3} = -0,685$$

- Koefisien Kurtosis (C_k)

$$C_k = \frac{n^2 \sum ((\log X_i - \log \bar{X})^4)}{(n-1)(n-2)(n-3)S^4}$$

$$= \frac{10^2 \times 0,0007}{(10 - 1)(10 - 2)(10 - 3)0,074^4} = 4,632$$

Lalu digunakan persamaan $Y_T = \bar{Y} + K_T S$ dan harga variable reduksi *Gauss* pada Tabel 2.1 dapat dihitung curah hujan dengan periode ulang tertentu sebagai berikut:

Tabel 4. 8 Analisa Curah Hujan Rencana dengan Distribusi Log Normal

| No | Periode Ulang (T) Tahun | K _T | Log X | Log X _T | S | Curah Hujan (X _T) (mm) |
|----|----------------------------|----------------|-------|--------------------|-------|---------------------------------------|
| 1 | 2 | 0,000 | 2,517 | 2,517 | 0,074 | 328,886 |
| 2 | 5 | 0,840 | 2,517 | 2,579 | 0,074 | 379,481 |
| 3 | 10 | 1,280 | 2,517 | 2,612 | 0,074 | 409,017 |
| 4 | 25 | 1,710 | 2,517 | 2,644 | 0,074 | 440,102 |
| 5 | 50 | 2,050 | 2,517 | 2,669 | 0,074 | 466,345 |
| 6 | 100 | 2,330 | 2,517 | 2,689 | 0,074 | 489,127 |

Perhitungan Tugas Akhir2022

Analisa Curah Hujan Rencana Distribusi *Log Normal* :

- Untuk T = 2 Tahun

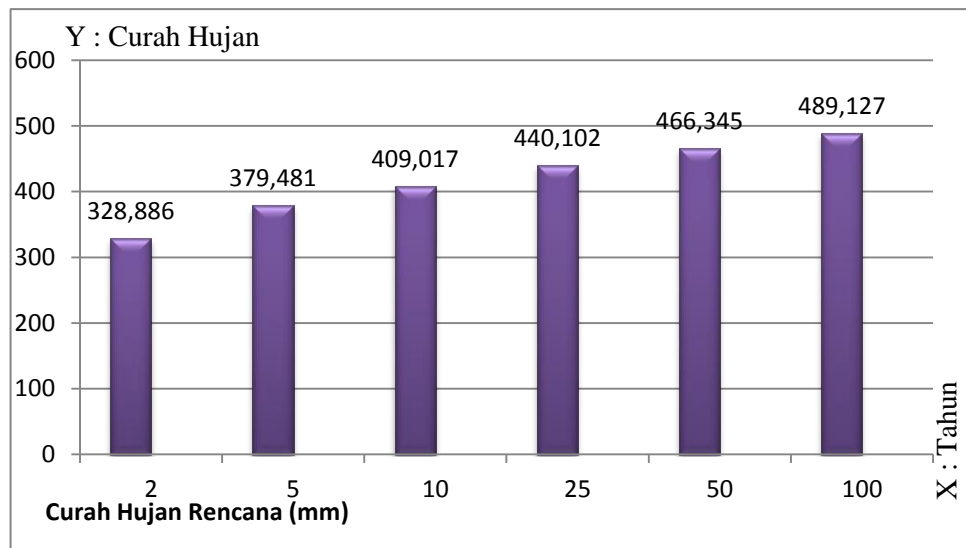
$$K_T = 0,00$$

$$\text{Log } X_T = \text{Log } X + (K_T \times S)$$

$$= 2,517 + (0,00 \times 0,074)$$

$$= 2,517 \text{ mm}$$

$$X_T = 328,886 \text{ mm}$$



Gambar 4. 2 Grafik Distribusi Log Normal

Sumber : Perhitungan Tugas Akhir 2022

4.3.1.3 Metode Distribusi Log Pearson Type III

Tabel 4. 9 Analisa Curah Hujan Distribusi Log-Person III

| No | Tahun | Curah Hujan Maks (Xi) (mm) | (Log Xi) | (Log Xi - Log X) | (Log Xi - Log X) ² | (Log Xi - Log X) ³ | (Log Xi - Log X) ⁴ |
|--------|-------|----------------------------|----------|------------------|-------------------------------|-------------------------------|-------------------------------|
| 1 | 2012 | 277,00 | 2,442 | -0,075 | 0,005560 | -0,000415 | 0,0000 |
| 2 | 2013 | 326,00 | 2,513 | -0,004 | 0,000015 | 0,000000 | 0,0000 |
| 3 | 2014 | 338,10 | 2,529 | 0,012 | 0,000144 | 0,000002 | 0,0000 |
| 4 | 2015 | 345,20 | 2,538 | 0,021 | 0,000442 | 0,000009 | 0,0000 |
| 5 | 2016 | 234,00 | 2,369 | -0,148 | 0,021854 | -0,003231 | 0,0005 |
| 6 | 2017 | 340,00 | 2,531 | 0,014 | 0,000208 | 0,000003 | 0,0000 |
| 7 | 2018 | 421,40 | 2,625 | 0,108 | 0,011588 | 0,001247 | 0,0001 |
| 8 | 2019 | 386,00 | 2,587 | 0,070 | 0,004836 | 0,000336 | 0,0000 |
| 9 | 2020 | 368,00 | 2,566 | 0,049 | 0,002382 | 0,000116 | 0,0000 |
| 10 | 2021 | 295,00 | 2,470 | -0,047 | 0,002230 | -0,000105 | 0,0000 |
| Jumlah | | 3330,70 | 25,170 | 0,000 | 0,049259 | -0,001360 | 0,0007 |
| X | | 333,07 | 2,517 | | | | |
| S | | 0,074 | | | | | |

Sumber : Perhitungan Tugas Akhir 2022

c. Perhitungan Dispersi Distribusi Log Person Type III

- Nilai rata-rata curah hujan

$$\bar{X} = \frac{\sum \log X}{n} = \frac{25.170}{10} = 2,517 \text{ mm}$$

- Standar Deviasi (S)

$$S = \sqrt{\frac{\sum (\log X_i - \log \bar{X})^2}{n-1}} = \sqrt{\frac{0,049259}{10-1}} = 0,074$$

- Koefisiien Variasi (C_v)

$$C_v = \frac{S}{\log \bar{X}} = \frac{0,074}{2,517} = 0,029$$

- Koefisien skewness (C_s)

$$C_s = \frac{n \sum ((\log X_i - \log \bar{X})^3)}{(n-1)(n-2)S^3}$$

$$= \frac{(10)(-0,001360)}{(10-1)(10-2)0,074^3} = -0,466$$

- Koefisien Kurtosis (C_k)

$$C_k = \frac{n^2 \sum ((\log X_i - \log \bar{X})^4)}{(n-1)(n-2)(n-3)S^4}$$

$$= \frac{10^2 \times 0,0007}{(10-1)(10-2)(10-3)0,074^4} = 4,632$$

Nilai K dapat ditentukan berdasarkan hasil perhitungan C_s yang akan dicocokan pada lampiran 3 nilai K untuk distribusi log pearson type III. Sehingga didapatkan nilai variable standar (k) untuk periode ulang yang dapat dilihat pada tabel 4.9 berikut:

Tabel 4. 10 Nilai K hasil distribusi Log Pearson III

| No | Periode Ulang T (Tahun) | C_s | K |
|----|-------------------------|-------|-------|
| 1 | 2 | -0,7 | 0,116 |
| 2 | 5 | -0,7 | 0,857 |
| 3 | 10 | -0,7 | 1,2 |
| 4 | 25 | -0,7 | 1,528 |
| 5 | 50 | -0,7 | 1,72 |
| 6 | 100 | -0,7 | 1,88 |

Sumber : Perhitungan Tugas Akhir2022

Perhitungan logaritma hujan atau banjir dengan periode ulang T dengan rumus persamaan : $\log X_T = \log \bar{X} + K \cdot S$

Tabel 4. 11 Analisa Curah Hujan Rencana dengan Distribusi Log-Person III

| No | Periode Ulang (T) Tahun | K _T | Log X | Log X _T | S | Curah Hujan (X _T) (mm) |
|----|----------------------------|----------------|-------|--------------------|-------|---------------------------------------|
| 1 | 2 | 0,116 | 2,517 | 2,526 | 0,074 | 335,450 |
| 2 | 5 | 0,857 | 2,517 | 2,580 | 0,074 | 380,582 |
| 3 | 10 | 1,2 | 2,517 | 2,606 | 0,074 | 403,481 |
| 4 | 25 | 1,528 | 2,517 | 2,630 | 0,074 | 426,667 |
| 5 | 50 | 1,72 | 2,517 | 2,644 | 0,074 | 440,853 |
| 6 | 100 | 1,88 | 2,517 | 2,656 | 0,074 | 453,034 |

Sumber : Perhitungan Tugas Akhir2022

Analisa Curah Hujan Rencana Distribusi Log Person III :

- Untuk T = 2 Tahun

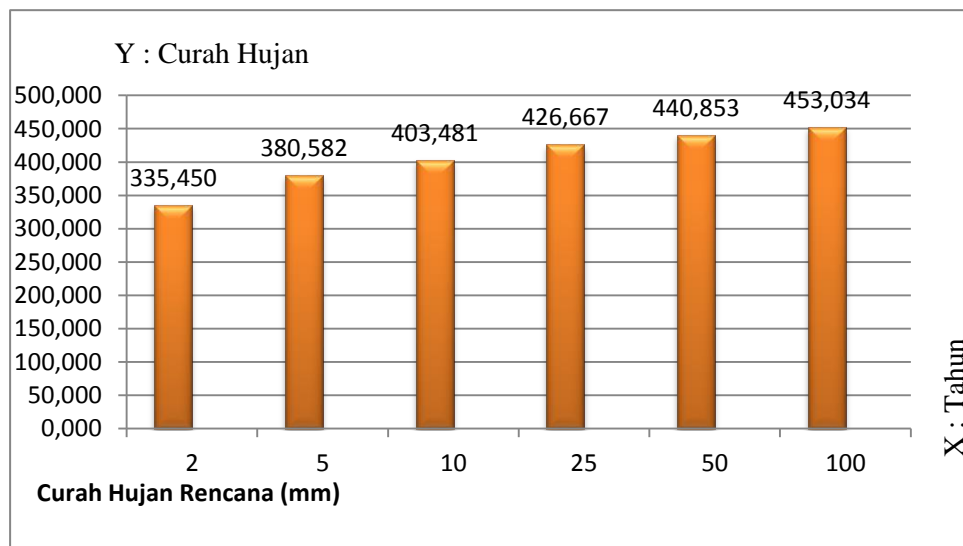
$$K_T = 0,116$$

$$\log X_T = \log X + (K_T \times S)$$

$$= 2,517 + (0,116 \times 0,074)$$

$$= 2,526 \text{ mm}$$

$$X_T = 335,450 \text{ m}$$



Gambar 4. 3 Grafik Distribusi Log Pearson III

Sumber : Perhitungan Tugas Akhir2022

4.3.1.4 Metode Distribusi Gumbel

Tabel 4. 12 Perhitungan Variable Disperse Distribusi Gumbel

| No | Tahun | Curah Hujan Maks (Xi) (mm) | (Xi - X) | (Xi - X) ² | (Xi - X) ³ | (Xi - X) ⁴ |
|-----------|-------|----------------------------------|----------|-----------------------|-----------------------|-----------------------|
| 1 | 2012 | 277,00 | -56,070 | 3143,845 | -176275,38 | 9883760,76 |
| 2 | 2013 | 326,00 | -7,070 | 49,985 | -353,39 | 2498,49 |
| 3 | 2014 | 338,10 | 5,030 | 25,301 | 127,26 | 640,14 |
| 4 | 2015 | 345,20 | 12,130 | 147,137 | 1784,77 | 21649,27 |
| 5 | 2016 | 234,00 | -99,070 | 9814,865 | -972358,67 | 96331573,01 |
| 6 | 2017 | 340,00 | 6,930 | 48,025 | 332,81 | 2306,39 |
| 7 | 2018 | 421,40 | 88,330 | 7802,189 | 689167,35 | 60874151,63 |
| 8 | 2019 | 386,00 | 52,930 | 2801,585 | 148287,89 | 7848877,95 |
| 9 | 2020 | 368,00 | 34,930 | 1220,105 | 42618,26 | 1488655,97 |
| 10 | 2021 | 295,00 | -38,070 | 1449,325 | -55175,80 | 2100542,67 |
| Jumlah | | 3330,70 | 0,000 | 26502,361 | -321844,90 | 178554656,26 |
| \bar{X} | | 333,07 | | | | |
| S | | 54,265 | | | | |

Sumber : Perhitungan Tugas Akhir2022

d. Perhitungan Dispersi Distribusi Gumbel

- Nilai rata-rata curah hujan

$$\bar{X} = \frac{\sum X}{n} = \frac{3330,70}{10} = 333,07 \text{ mm}$$

- Standar Deviasi (S)

$$S = \sqrt{\frac{\sum(X_i - \bar{X})^2}{n - 1}} = \sqrt{\frac{26502,361}{10 - 1}} = 54,265$$

- Koefisiien Variasi (C_v)

$$C_v = \frac{S}{\bar{X}} = \frac{54,265}{333,07} = 0,16$$

- Koefisien skewness (C_s)

$$C_s = \frac{n \sum (Xi - \bar{X})^3}{(n-1)(n-2)S^3} = \frac{(10)(-321844.90)}{(10-1)(10-2)54.265^3} = -0.28$$

- Koefisien Kurtosis (C_k)

$$C_k = \frac{n^2 \sum (Xi - \bar{X})^4}{(n-1)(n-2)(n-3)S^4}$$

$$= \frac{10^2 \times 178554656.26}{(10-1)(10-2)(10-3)54.265^4} = 4.08$$

Pada distribusi Gumbel, setelah memperoleh nilai rata-rata curah hujan dan simpangan baku, kemudian dicari nilai **Reduced Mean** (Y_n), **Reduced Standard Deviation** (S_n), dan **Recuded Variate** (Y_{Tr}) pada tabel 2.3 Rumus yang digunakan dalam distribusi gumbel adalah sebagai berikut:

$$Y_{Tr} = \bar{X} + \frac{Y_{Tr} - Y_n}{S_n} \times S$$

$$n = 6$$

$$Y_n = 0,4952$$

$$S_n = 0,9496$$

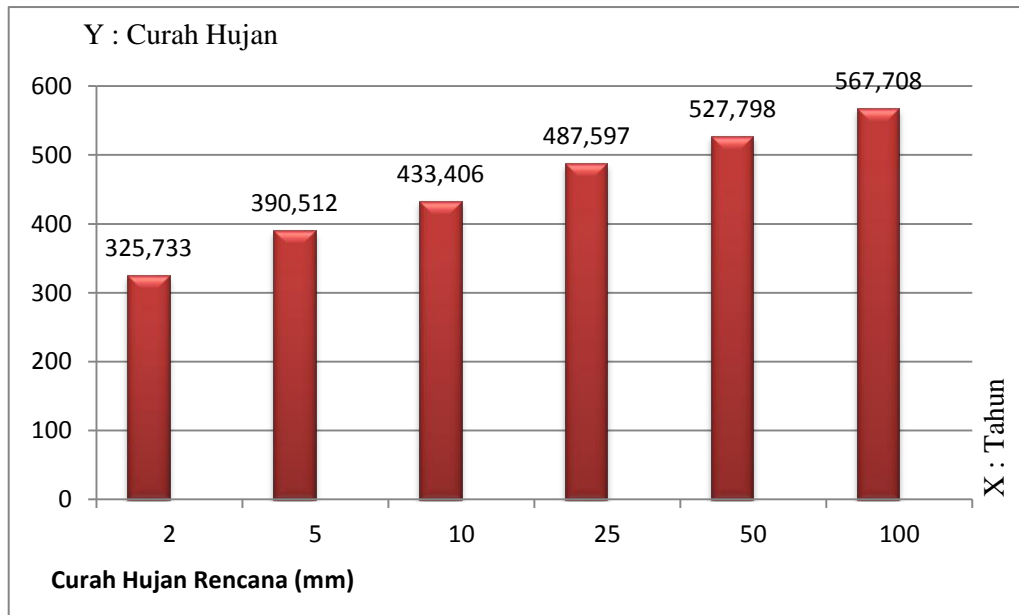
Tabel 4. 13 Analisa Curah Hujan Rencana dengan Distribusi Gumbel

| No | Periode Ulang (T) Tahun | Ytr | Yn | S _n | X | S | K | Curah Hujan (X _T) (mm) | P ⁶⁰ (T) mm/minit |
|----|-------------------------|--------|--------|----------------|--------|--------|--------|--------------------------------------|------------------------------|
| 1 | 2 | 0,3668 | 0,4952 | 0,9496 | 333,07 | 54,265 | -0,135 | 325,733 | 91,663 |
| 2 | 5 | 1,5004 | 0,4952 | 0,9496 | 333,07 | 54,265 | 1,059 | 390,512 | 109,893 |
| 3 | 10 | 2,2510 | 0,4952 | 0,9496 | 333,07 | 54,265 | 1,849 | 433,406 | 121,963 |
| 4 | 25 | 3,1993 | 0,4952 | 0,9496 | 333,07 | 54,265 | 2,848 | 487,597 | 137,213 |
| 5 | 50 | 3,9028 | 0,4952 | 0,9496 | 333,07 | 54,265 | 3,588 | 527,798 | 148,526 |
| 6 | 100 | 4,6012 | 0,4952 | 0,9496 | 333,07 | 54,265 | 4,324 | 567,708 | 159,757 |

Sumber : Perhitungan Tugas Akhir2022

$$X_{tr} = \bar{X} + \frac{Y_{tr} - Y_n}{S_n} \cdot S = 333,07 + \frac{0,3668 - 0,4952}{0,9496} \times 54,265 = 325,733 \text{ mm}$$

$$P^{60}(T) = \left[\frac{93+19}{2} \times \frac{X_{tr}}{199} \right] = \left[\frac{93+19}{2} \times \frac{325,733}{199} \right] = 91,633 \text{ mm/menit}$$



Gambar 4. 4 Grafik Distribusi Gumbel

Sumber : Perhitungan Tugas Akhir2022

Tabel 4. 14 Hasil Analisis Frekuensi

| Durasi (menit) | Periode Ulang (mm/menit) | | | | | |
|-------------------|--------------------------|------------|-------------|-------------|-------------|--------------|
| | 2 Tahun | 5 Tahun | 10 Tahun | 20 Tahun | 50 Tahun | 100 Tahun |
| 5 | 225,109 | 347,903 | 451,622 | 581,788 | 735,210 | 876,610 |
| 10 | 168,480 | 260,383 | 338,011 | 435,431 | 550,258 | 656,087 |
| 20 | 117,493 | 181,584 | 235,719 | 303,658 | 383,735 | 457,537 |
| 30 | 93,194 | 144,029 | 186,968 | 240,856 | 304,372 | 362,910 |
| 40 | 78,519 | 121,350 | 157,528 | 202,931 | 256,445 | 305,766 |
| 60 | 61,185 | 94,560 | 122,751 | 158,130 | 199,830 | 238,263 |
| 80 | 51,017 | 78,845 | 102,351 | 131,851 | 166,621 | 198,666 |
| 120 | 39,266 | 60,686 | 78,778 | 101,483 | 128,245 | 152,910 |

Sumber : Perhitungan Tugas Akhir2022

$$P_i = (0,21 \cdot \ln T + 0,52) \times (0,54 \cdot t^{0,25} - 0,50) \times \left[\frac{P^{60} \times 60}{t} \right]$$

$$= (0,21 \times \ln(2) + 0,52) (0,54 \times 5^{0,25} - 0,50) \left[\frac{91,633 \times 60}{5} \right]$$

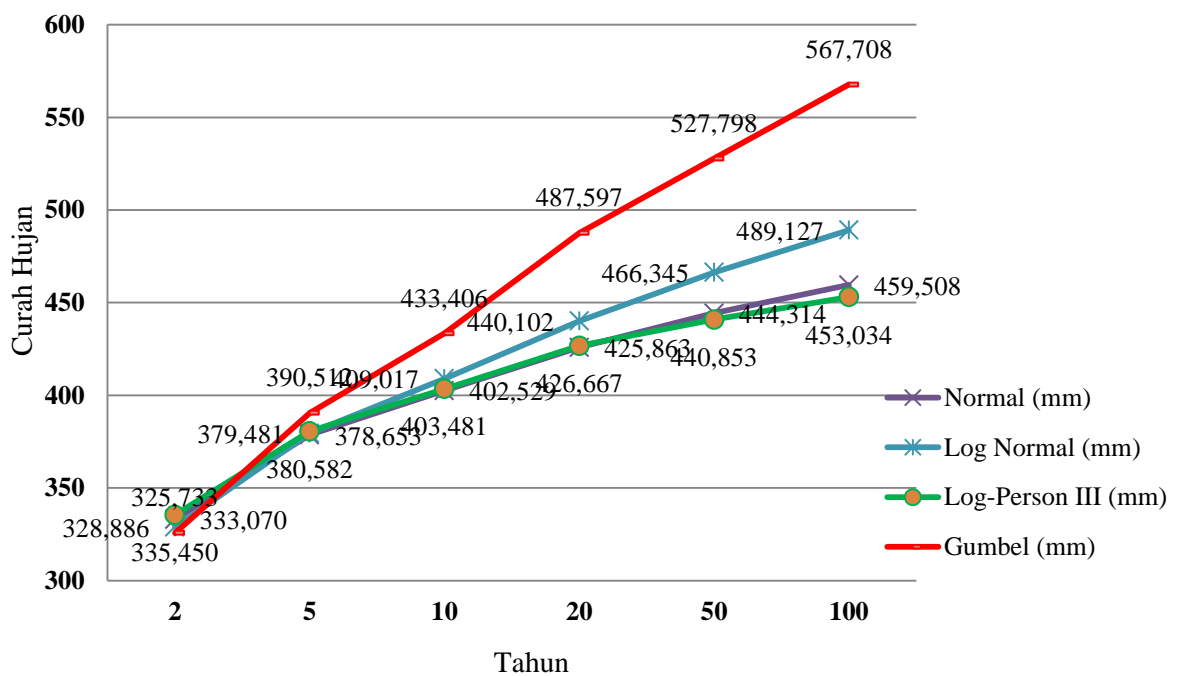
$$= 225,109 \text{ mm/menit}$$

Perbandingan hasil pengukuran dispersi dapat dilihat pada tabel di bawah ini:

Tabel 4. 15 Rekapitulasi Analisis Curah Hujan Rencana Maksimum (4 metode)

| No | Periode Ulang (T) Tahun | Normal (mm) | Log Normal (mm) | Log-Person III (mm) | Gumbel (mm) |
|----|----------------------------|----------------|--------------------|------------------------|----------------|
| 1 | 2 | 333,070 | 328,886 | 335,450 | 325,733 |
| 2 | 5 | 378,653 | 379,481 | 380,582 | 390,512 |
| 3 | 10 | 402,529 | 409,017 | 403,481 | 433,406 |
| 4 | 20 | 425,863 | 440,102 | 426,667 | 487,597 |
| 5 | 50 | 444,314 | 466,345 | 440,853 | 527,798 |
| 6 | 100 | 459,508 | 489,127 | 453,034 | 567,708 |

Sumber : Perhitungan Tugas Akhir2022



Gambar 4. 5 Rekapitulasi Analisis Curah Hujan Rencana Maksimum (4 metode)

Sumber : Perhitungan Tugas Akhir2022

Dari hasil analisis distribusi frekuensi hujan dengan empat metode tersebut diatas, maka yang digunakan periode ulang 10 Tahun terlihat bahwa distribusi

metode Gumbel Periode ulang 10 Tahun yang paling ekstrim sehingga data inilah yang digunakan untuk analisis berikutnya.

Tabel 4. 16 Perbandingan Hasil Dispersi

| No | Dispersi | Hasil Dispersi | | | |
|----|----------|----------------|------------|-----------------|--------|
| | | Normal | Log Normal | Log Pearson III | Gumbel |
| 1 | S | 54,27 | 0,074 | 0,074 | 54,27 |
| 2 | C_s | -0,27 | -0,685 | -0,466 | -0,28 |
| 3 | C_k | 4,08 | 4,632 | 4,632 | 4,08 |
| 4 | C_v | 0,16 | 0,029 | 0,029 | 0,16 |

Sumber : Perhitungan Tugas Akhir2022

Penentuan jenis sebaran yang sesuai dengan data dilakukan dengan mencocokan parameter statistik dan logaritmik dengan syarat masing-masing sebaran.

Adapun hasil uji distribusi dapat dilihat pada tabel 4.17 di bawah ini:

Tabel 4. 17 Hasil Uji Distribusi

| Jenis Distribusi | Syarat | Perhitungan | Kesimpulan |
|------------------|-------------------------------------------------------|-------------|----------------|
| Normal | $C_s = 0$ | -0,27 | Tidak Memenuhi |
| | $C_k = 3$ | 4,08 | |
| Log Normal | $C_s = 3C_v + C_v^3 = 0,087$ | -0,685 | Tidak Memenuhi |
| | $C_k = C_v^8 + 6C_v^6 + 15C_v^4 + 16C_v^2 + 3 = 3,01$ | 4,632 | |
| Log Pearson III | $C_s \neq 0$ | -0,466 | Memenuhi |
| | $C_k \neq 0$ | 4,632 | |
| Gumbel | $C_s = 1,14$ | -0,28 | Tidak Memenuhi |
| | $C_k = 5,4$ | 4,08 | |

Sumber : Perhitungan Tugas Akhir2022

Dapat dilihat pada tabel diatas metode Log Pearson Type III adalah metode yang paling mendekati parameter yang di syaratkan. Selanjutnya metode Log Pearson Type III akan diuji menggunakan uji kecocokan distribusi untuk mengetahui apakah memenuhi syarat perencanaan.

4.3.2 Uji Chi-Kuadrat

Uji ini diperlukan untuk mengetahui kecocokan distribusi frekuensi sampel data terhadap distribusi peluang yang diperkirakan. Pengambilan keputusan uji ini menggunakan parameter X^2 , yang dapat dihitung dengan rumus:

$$X_h^2 = \sum_{i=1}^G \frac{(O_i - E_i)^2}{E_i}$$

Pengujian distribusi terpilih yaitu Log Pearson Type III terhadap uji Chi-Kuadrat ialah sebagai berikut :

- $G = 1 + 3,3 \log n = 1 + 3,3 \log 10 = 4,3 \sim 4$

- Derajat kebebasan:

$$DK = G - R - I = 4 - 2 - 1 = 1$$

- $E_i = \frac{n}{G} = \frac{10}{4} = 2,5$

- $\Delta X = \frac{(X_{maks} - X_{min})}{G-1} = \frac{2,6247 - 2,3692}{4-1} = 0,0851$

- $X_{awal} = X_{min} - \frac{1}{2}\Delta X = 2,3692 - \frac{1}{2} \times 0,0851 = 2,3266$

Tabel 4. 18 Uji Chi-Kuadrat

| Nilai Batas Tiap Kelas | O_i | E_i | $(O_i - E_i)^2$ | $(O_i - E_i)^2/E_i$ |
|-------------------------|-------|-------|-----------------|---------------------|
| $2,3266 < X_i < 2,4118$ | 1 | 2,5 | 2,25 | 0,9 |
| $2,4118 < X_i < 2,4970$ | 1 | 2,5 | 2,25 | 0,9 |
| $2,4970 < X_i < 2,5822$ | 6 | 2,5 | 12,25 | 4,9 |
| $2,5822 < X_i < 2,6674$ | 2 | 2,5 | 0,25 | 0,1 |
| Jumlah | 10 | 10 | 17 | 6,8 |

Sumber : Perhitungan Tugas Akhir 2022

Dengan menggunakan signifikansi $DK = 7$ dan $(\alpha) = 0.01$ maka diperoleh nilai Chi-Kuadrat kritis $X^2 = 18,475$. Dari hasil perhitungan diatas diperoleh X^2 dihitung = $6.,8 < X^2 tabel = 18,475$ maka distribusi memenuhi syarat.

4.4 Perhitungan Intensitas Curah Hujan (I)

Untuk hujan yang terjadi selama 5 menit sampai 2 jam, persamaan intensitas durasi hujan menggunakan perhitungan persamaan garis regresi *Intensity Duration Frequency Curve* (Kurva IDF) dengan *Metode Talbot, Ishiguro dan Sherman*.

Tabel 4. 19 Perhitungan Intensitas Curah Hujan Periode Ulang 2 Tahun

| t (menit) | I (mm/menit) | Log t | Log I | Log t x Log I | Log t ² | t x I | I ² | t x I ² | \sqrt{t} | I x \sqrt{t} | I ² x \sqrt{t} |
|--------------|-----------------|--------|--------|---------------|--------------------|-----------|----------------|--------------------|------------|----------------|-----------------------------|
| 5 | 225,109 | 0,699 | 2,352 | 1,644 | 0,489 | 1125,547 | 50674,284 | 253371,421 | 2,236 | 503,360 | 113311,144 |
| 10 | 168,480 | 1,000 | 2,227 | 2,227 | 1,000 | 1684,801 | 28385,551 | 283855,507 | 3,162 | 532,781 | 89762,993 |
| 20 | 117,493 | 1,301 | 2,070 | 2,693 | 1,693 | 2349,870 | 13804,719 | 276094,381 | 4,472 | 525,447 | 61736,581 |
| 30 | 93,194 | 1,477 | 1,969 | 2,909 | 2,182 | 2795,811 | 8685,063 | 260551,886 | 5,477 | 510,443 | 47570,048 |
| 40 | 78,519 | 1,602 | 1,895 | 3,036 | 2,567 | 3140,774 | 6165,288 | 246611,519 | 6,325 | 496,600 | 38992,705 |
| 60 | 61,185 | 1,778 | 1,787 | 3,177 | 3,162 | 3671,090 | 3743,584 | 224615,020 | 7,746 | 473,936 | 28997,674 |
| 80 | 51,017 | 1,903 | 1,708 | 3,250 | 3,622 | 4081,323 | 2602,687 | 208214,949 | 8,944 | 456,306 | 23279,139 |
| 120 | 39,266 | 2,079 | 1,594 | 3,314 | 4,323 | 4711,978 | 1541,857 | 185022,836 | 10,954 | 430,143 | 16890,197 |
| Jumlah | 834,264 | 11,840 | 15,602 | 22,250 | 19,036 | 23561,194 | 115603,032 | 1938337,519 | 49,317 | 3929,015 | 420540,481 |

Sumber : Perhitungan Tugas Akhir 2022

Keterangan :

| | | |
|-----------------------------|----------------------------------------------------|--------------|
| I | = Didapat dari tabel 4.15 Hasil Analisis Frekuensi | |
| Log t | = Log (5) | = 0,699 |
| Log I | = Log (225,109) | = 2,352 |
| Log t x Log I | = 0,699 x 2,352 | = 1,644 |
| Log t ² | = 0,699 ² | = 0,489 |
| t x I | = 5 x 225,109 | = 1125,547 |
| I ² | = 50674,284 ² | = 50674,284 |
| t x I ² | = 5 x 50674,284 | = 253371,421 |
| \sqrt{t} | = $\sqrt{5}$ | = 2,236 |
| I x \sqrt{t} | = 225,109 x 2,236 | = 503,360 |
| I ² x \sqrt{t} | = 50674,284 x 2,236 | = 113311,144 |

Tabel 4. 20 Perhitungan Intensitas Curah Hujan Periode Ulang 5 Tahun

| t (menit) | I (mm/menit) | Log t | Log I | Log t x Log I | Log t ² | t x I | I ² | t x I ² | \sqrt{t} | I x \sqrt{t} | I ² x \sqrt{t} |
|--------------|-----------------|--------|--------|---------------|--------------------|-----------|----------------|--------------------|------------|----------------|-----------------------------|
| 5 | 347,903 | 0,699 | 2,541 | 1,776 | 0,489 | 1739,514 | 121036,328 | 605181,641 | 2,236 | 777,934 | 270645,458 |
| 10 | 260,383 | 1,000 | 2,416 | 2,416 | 1,000 | 2603,831 | 67799,336 | 677993,361 | 3,162 | 823,404 | 214400,326 |
| 20 | 181,584 | 1,301 | 2,259 | 2,939 | 1,693 | 3631,682 | 32972,790 | 659455,791 | 4,472 | 812,069 | 147458,798 |
| 30 | 144,029 | 1,477 | 2,158 | 3,188 | 2,182 | 4320,876 | 20744,410 | 622332,294 | 5,477 | 788,880 | 113621,812 |
| 40 | 121,350 | 1,602 | 2,084 | 3,339 | 2,567 | 4854,011 | 14725,888 | 589035,507 | 6,325 | 767,486 | 93134,691 |
| 60 | 94,560 | 1,778 | 1,976 | 3,513 | 3,162 | 5673,605 | 8941,609 | 536496,523 | 7,746 | 732,459 | 69261,403 |
| 80 | 78,845 | 1,903 | 1,897 | 3,610 | 3,622 | 6307,613 | 6216,559 | 497324,694 | 8,944 | 705,213 | 55602,591 |
| 120 | 60,686 | 2,079 | 1,783 | 3,707 | 4,323 | 7282,280 | 3682,750 | 441929,967 | 10,954 | 664,778 | 40342,502 |
| Jumlah | 1289,340 | 11,840 | 17,114 | 24,488 | 19,036 | 36413,410 | 276119,668 | 4629749,777 | 49,317 | 6072,223 | 1004467,581 |

Sumber : Perhitungan Tugas Akhir 2022

Keterangan :

| | | |
|-----------------------------|----------------------------------------------------|--------------|
| I | = Didapat dari tabel 4.15 Hasil Analisis Frekuensi | |
| Log t | = Log (5) | = 0,699 |
| Log I | = Log (347,903) | = 2,541 |
| Log t x Log I | = 0,699 x 2,541 | = 1,776 |
| Log t ² | = 0,699 ² | = 0,489 |
| t x I | = 5 x 347,903 | = 1739,514 |
| I ² | = 347,903 ² | = 121036,328 |
| t x I ² | = 5 x 121036,328 | = 605181,641 |
| \sqrt{t} | = $\sqrt{5}$ | = 2,236 |
| I x \sqrt{t} | = 342,514 x 2,236 | = 777,934 |
| I ² x \sqrt{t} | = 121036,328 x 2,236 | = 270645,458 |

Tabel 4. 21 Perhitungan Intensitas Curah Hujan Periode Ulang 10 Tahun

| t (menit) | I (mm/menit) | Log t | Log I | Log t x Log I | Log t ² | t x I | I ² | t x I ² | \sqrt{t} | I x \sqrt{t} | I ² x \sqrt{t} |
|--------------|-----------------|--------|--------|---------------|--------------------|-----------|----------------|--------------------|------------|----------------|-----------------------------|
| 5 | 451,622 | 0,699 | 2,655 | 1,856 | 0,489 | 2258,111 | 203962,696 | 1019813,48 | 2,236 | 1009,858 | 456074,453 |
| 10 | 338,011 | 1,000 | 2,529 | 2,529 | 1,000 | 3380,105 | 114251,114 | 1142511,144 | 3,162 | 1068,883 | 361293,747 |
| 20 | 235,719 | 1,301 | 2,372 | 3,087 | 1,693 | 4714,388 | 55563,641 | 1111272,813 | 4,472 | 1054,169 | 248488,155 |
| 30 | 186,968 | 1,477 | 2,272 | 3,356 | 2,182 | 5609,050 | 34957,156 | 1048714,666 | 5,477 | 1024,068 | 191468,226 |
| 40 | 157,528 | 1,602 | 2,197 | 3,520 | 2,567 | 6301,127 | 24815,126 | 992605,0455 | 6,325 | 996,296 | 156944,638 |
| 60 | 122,751 | 1,778 | 2,089 | 3,715 | 3,162 | 7365,065 | 15067,828 | 904069,703 | 7,746 | 950,826 | 116714,897 |
| 80 | 102,351 | 1,903 | 2,010 | 3,825 | 3,622 | 8188,088 | 10475,748 | 838059,8363 | 8,944 | 915,456 | 93697,938 |
| 120 | 78,778 | 2,079 | 1,896 | 3,943 | 4,323 | 9453,331 | 6205,935 | 744712,1768 | 10,954 | 862,967 | 67982,610 |
| Jumlah | 1673,729 | 11,840 | 18,021 | 25,830 | 19,036 | 47269,266 | 465299,244 | 7801758,865 | 49,317 | 7882,523 | 1692664,664 |

Sumber : Perhitungan Tugas Akhir 2022

Keterangan :

| | | |
|-----------------------------|----------------------------------------------------|--------------|
| I | = Didapat dari tabel 4.15 Hasil Analisis Frekuensi | |
| Log t | = Log (5) | = 0,699 |
| Log I | = Log (451,622) | = 2,655 |
| Log t x Log I | = 0,699 x 2,655 | = 1,856 |
| Log t ² | = 0,699 ² | = 0,489 |
| t x I | = 5 x 451,622 | = 2258,111 |
| I ² | = 441,764 ² | = 203962,696 |
| t x I ² | = 5 x 203962,696 | = 1019813,48 |
| \sqrt{t} | = $\sqrt{5}$ | = 2,236 |
| I x \sqrt{t} | = 451,622 x 2,236 | = 1009,858 |
| I ² x \sqrt{t} | = 203962,696 x 2,236 | = 456074,453 |

Tabel 4. 22 Perhitungan Intensitas Curah Hujan Periode Ulang 25 Tahun

| t (menit) | I (mm/menit) | Log t | Log I | Log t x Log I | Log t ² | t x I | I ² | t x I ² | \sqrt{t} | I x \sqrt{t} | I ² x \sqrt{t} |
|--------------|-----------------|--------|--------|---------------|--------------------|-----------|----------------|--------------------|------------|----------------|-----------------------------|
| 5 | 581,788 | 0,699 | 2,765 | 1,932 | 0,489 | 2908,940 | 338477,209 | 1692386,044 | 2,236 | 1300,917 | 756858,048 |
| 10 | 435,431 | 1,000 | 2,639 | 2,639 | 1,000 | 4354,312 | 189600,349 | 1896003,486 | 3,162 | 1376,954 | 599568,947 |
| 20 | 303,658 | 1,301 | 2,482 | 3,230 | 1,693 | 6073,159 | 92208,165 | 1844163,306 | 4,472 | 1358,000 | 412367,451 |
| 30 | 240,856 | 1,477 | 2,382 | 3,518 | 2,182 | 7225,679 | 58011,591 | 1740347,719 | 5,477 | 1319,222 | 317742,568 |
| 40 | 202,931 | 1,602 | 2,307 | 3,697 | 2,567 | 8117,225 | 41180,837 | 1647233,497 | 6,325 | 1283,446 | 260450,484 |
| 60 | 158,130 | 1,778 | 2,199 | 3,910 | 3,162 | 9487,809 | 25005,144 | 1500308,612 | 7,746 | 1224,871 | 193689,009 |
| 80 | 131,851 | 1,903 | 2,120 | 4,035 | 3,622 | 10548,042 | 17384,561 | 1390764,878 | 8,944 | 1179,307 | 155492,240 |
| 120 | 101,483 | 2,079 | 2,006 | 4,172 | 4,323 | 12177,950 | 10298,783 | 1235853,927 | 10,954 | 1111,690 | 112817,512 |
| Jumlah | 2156,127 | 11,840 | 18,901 | 27,132 | 19,036 | 60893,116 | 772166,638 | 12947061,470 | 49,317 | 10154,407 | 2808986,260 |

Sumber : Perhitungan Tugas Akhir 2022

Keterangan :

| | | |
|-----------------------------|----------------------------------------------------|---------------|
| I | = Didapat dari tabel 4.15 Hasil Analisis Frekuensi | |
| Log t | = Log (5) | = 0,699 |
| Log I | = Log (581,788) | = 2,765 |
| Log t x Log I | = 0,699 x 2,765 | = 1,932 |
| Log t ² | = 0,699 ² | = 0,489 |
| t x I | = 5 x 581,788 | = 2908,940 |
| I ² | = 581,788 ² | = 338477,209 |
| t x I ² | = 5 x 338477,209 | = 1692386,044 |
| \sqrt{t} | = $\sqrt{5}$ | = 2,236 |
| I x \sqrt{t} | = 581,788 x 2,236 | = 1300,917 |
| I ² x \sqrt{t} | = 338477,209 x 2,236 | = 756858,048 |

Tabel 4. 23 Perhitungan Intensitas Curah Hujan Periode Ulang 50 Tahun

| t (menit) | I (mm/menit) | Log t | Log I | Log t x Log I | Log t ² | t x I | I ² | t x I ² | \sqrt{t} | I x \sqrt{t} | I ² x \sqrt{t} |
|--------------|-----------------|--------|--------|---------------|--------------------|-----------|----------------|--------------------|------------|----------------|-----------------------------|
| 5 | 735,210 | 0,699 | 2,866 | 2,004 | 0,489 | 3676,051 | 540533,984 | 2702669,922 | 2,236 | 1643,980 | 1208670,733 |
| 10 | 550,258 | 1,000 | 2,741 | 2,741 | 1,000 | 5502,580 | 302783,848 | 3027838,485 | 3,162 | 1740,069 | 957486,600 |
| 20 | 383,735 | 1,301 | 2,584 | 3,362 | 1,693 | 7674,701 | 147252,594 | 2945051,88 | 4,472 | 1716,115 | 658533,620 |
| 30 | 304,372 | 1,477 | 2,483 | 3,668 | 2,182 | 9131,149 | 92642,091 | 2779262,717 | 5,477 | 1667,112 | 507421,628 |
| 40 | 256,445 | 1,602 | 2,409 | 3,859 | 2,567 | 10257,803 | 65764,080 | 2630563,188 | 6,325 | 1621,901 | 415928,560 |
| 60 | 199,830 | 1,778 | 2,301 | 4,091 | 3,162 | 11989,821 | 39932,171 | 2395930,276 | 7,746 | 1547,879 | 309313,269 |
| 80 | 166,621 | 1,903 | 2,222 | 4,228 | 3,622 | 13329,647 | 27762,419 | 2220993,501 | 8,944 | 1490,300 | 248314,622 |
| 120 | 128,245 | 2,079 | 2,108 | 4,383 | 4,323 | 15389,375 | 16446,726 | 1973607,173 | 10,954 | 1404,851 | 180164,861 |
| Jumlah | 2724,716 | 11,840 | 19,714 | 28,336 | 19,036 | 76951,127 | 1233117,914 | 20675917,142 | 49,317 | 12832,207 | 4485833,893 |

Sumber : Perhitungan Tugas Akhir 2022

Keterangan :

| | | |
|-----------------------------|----------------------------------------------------|---------------|
| I | = Didapat dari tabel 4.15 Hasil Analisis Frekuensi | |
| Log t | = Log (5) | = 0,699 |
| Log I | = Log (735,210) | = 2,866 |
| Log t x Log I | = 0,699 x 2,866 | = 2,004 |
| Log t ² | = 0,699 ² | = 0,489 |
| t x I | = 5 x 735,210 | = 3676,051 |
| I ² | = 735,210 ² | = 540533,984 |
| t x I ² | = 5 x 540533,984 | = 2702669,922 |
| \sqrt{t} | = $\sqrt{5}$ | = 2,236 |
| I x \sqrt{t} | = 735,210 x 2,236 | = 1643,980 |
| I ² x \sqrt{t} | = 540533,984 x 2,236 | = 1208670,733 |

Tabel 4. 24 Perhitungan Intensitas Curah Hujan Periode Ulang 100 Tahun

| t (menit) | I (mm/menit) | Log t | Log I | Log t x Log I | Log t ² | t x I | I ² | t x I ² | \sqrt{t} | I x \sqrt{t} | I ² x \sqrt{t} |
|--------------|-----------------|--------|--------|---------------|--------------------|-----------|----------------|--------------------|------------|----------------|-----------------------------|
| 5 | 876,610 | 0,699 | 2,943 | 2,057 | 0,489 | 4383,048 | 768444,503 | 3842222,513 | 2,236 | 1960,159 | 1718294,145 |
| 10 | 656,087 | 1,000 | 2,817 | 2,817 | 1,000 | 6560,865 | 430449,501 | 4304495,011 | 3,162 | 2074,728 | 1361200,841 |
| 20 | 457,537 | 1,301 | 2,660 | 3,461 | 1,693 | 9150,740 | 209340,115 | 4186802,297 | 4,472 | 2046,168 | 936197,454 |
| 30 | 362,910 | 1,477 | 2,560 | 3,781 | 2,182 | 10887,300 | 131703,662 | 3951109,862 | 5,477 | 1987,740 | 721370,666 |
| 40 | 305,766 | 1,602 | 2,485 | 3,982 | 2,567 | 12230,638 | 93492,818 | 3739712,728 | 6,325 | 1933,834 | 591300,501 |
| 60 | 238,263 | 1,778 | 2,377 | 4,227 | 3,162 | 14295,767 | 56769,155 | 3406149,294 | 7,746 | 1845,576 | 439731,983 |
| 80 | 198,666 | 1,903 | 2,298 | 4,374 | 3,622 | 15893,275 | 39468,153 | 3157452,252 | 8,944 | 1776,922 | 353013,894 |
| 120 | 152,910 | 2,079 | 2,184 | 4,542 | 4,323 | 18349,141 | 23381,317 | 2805758,059 | 10,954 | 1675,040 | 256129,497 |
| Jumlah | 3248,747 | 11,840 | 20,325 | 29,240 | 19,036 | 91750,774 | 1753049,224 | 29393702,017 | 49,317 | 15300,165 | 6377238,981 |

Sumber : Perhitungan Tugas Akhir 2022

Keterangan :

| | | |
|-----------------------------|----------------------------------------------------|---------------|
| I | = Didapat dari tabel 4.15 Hasil Analisis Frekuensi | |
| Log t | = Log (5) | = 0,699 |
| Log I | = Log (876,610) | = 2,943 |
| Log t x Log I | = 0,699 x 2,943 | = 2,057 |
| Log t ² | = 0,699 ² | = 0,489 |
| t x I | = 5 x 876,610 | = 4383,048 |
| I ² | = 876,610 ² | = 768444,503 |
| t x I ² | = 5 x 768444,503 | = 3842222,513 |
| \sqrt{t} | = $\sqrt{5}$ | = 2,236 |
| I x \sqrt{t} | = 876,610 x 2,236 | = 1960,159 |
| I ² x \sqrt{t} | = 768444,503 x 2,236 | = 1718294,145 |

Tabel 4. 25 Perhitungan Intensitas Curah Hujan Periode Ulang Tiga Metode

| Periode Ulang Tahun (T) | Talbot | | Ishiguro | | Sherman | | |
|----------------------------|-----------|--------|----------|--------|---------|-------|----------|
| | a | b | a | b | Log a | n | a |
| 2 | 4836,213 | 18,134 | 451,712 | -0,378 | 2,771 | 0,555 | 590,159 |
| 5 | 7474,282 | 18,134 | 698,113 | -0,378 | 2,960 | 0,555 | 912,080 |
| 10 | 9702,574 | 18,134 | 906,240 | -0,378 | 3,073 | 0,555 | 1183,997 |
| 20 | 12499,030 | 18,134 | 1167,434 | -0,378 | 3,183 | 0,555 | 1525,246 |
| 50 | 15795,127 | 18,134 | 1475,296 | -0,378 | 3,285 | 0,555 | 1927,466 |
| 100 | 18832,929 | 18,134 | 1759,033 | -0,378 | 3,361 | 0,555 | 2298,167 |

Sumber : Perhitungan Tugas Akhir 2022

- Talbot

$$\begin{aligned}
 a &= \frac{\Sigma(t \times I) \times \Sigma(I^2) - \Sigma(I^2 \times t) \times \Sigma(I)}{N \times \Sigma(i^2) - \Sigma(I) \times \Sigma(I)} \\
 &= \frac{(23561,194) \times (115603,032) - (1938337,519) \times (834,264)}{8 \times (115603,032) - (834,264) \times (834,264)} \\
 &= 4836,213
 \end{aligned}$$

$$\begin{aligned}
 b &= \frac{\Sigma(I) \times \Sigma(t \times I) - N \times \Sigma(I^2 \times t)}{N \times \Sigma(I^2) - \Sigma(I) \times \Sigma(I)} \\
 &= \frac{(834,264) \times (23561,194) - 8 \times (1938337,519)}{8 \times (115603,032) - (834,264) \times (834,264)} \\
 &= 18,134
 \end{aligned}$$

- Ishiguro

$$\begin{aligned}
 a &= \frac{\Sigma(I \sqrt{t}) \times \Sigma(I^2) - \Sigma(I^2 \times \sqrt{t}) \times \Sigma(I)}{N \times \Sigma(I^2) - \Sigma(I) \times \Sigma(I)} \\
 &= \frac{(3929,015) \times (115603,032) - (420540,481) \times (834,264)}{8 \times (115603,032) - (834,264) \times (834,264)} = 451,712
 \end{aligned}$$

$$b = \frac{\Sigma(I) \times \Sigma(I \sqrt{t}) - N \times \Sigma(I^2 \times \sqrt{t})}{N \times \Sigma(I^2) - \Sigma(I) \times \Sigma(I)}$$

$$= \frac{(834,264) x (3929,015) - 8 x (420540,481)}{8 x (115603,032) - (3929,015) x (3929,015)}$$

$$= -0.378$$

- Sherman

$$\text{Log a} = \frac{\Sigma (\text{Log I}) x \Sigma (\text{Log t})^2 - \Sigma (\text{Log t} x \text{Log I}) x \Sigma (\text{Log t})}{N x \Sigma (\text{Log t})^2 - \Sigma (\text{Log t}) x \Sigma (\text{Log t})}$$

$$= \frac{(15,602) x (19,036) - (22,250) x (11,840)}{8 x (19,036) - (11,840) x (11,840)} = 2.771$$

$$\begin{aligned} \text{a} &= 10^{\text{Log a}} \\ &= 10^{\text{Log } 2,771} = 590,159 \end{aligned}$$

$$\begin{aligned} \text{n} &= \frac{\Sigma (\text{Log I}) x \Sigma (\text{Log t}) - N x \Sigma (\text{Log t} x \text{Log I})}{N x \Sigma (\text{Log t})^2 - \Sigma (\text{Log t}) x \Sigma (\text{Log t})} \\ &= \frac{(15,602) x (11,840) - 8 x (22,250)}{8 x (19,036) - (11,840) x (11,840)} = 0,555 \end{aligned}$$

1. Perhitungan Intensitas Durasi Metode *Talbot*

$$I = \frac{a}{t + b}$$

Tabel 4. 26 Perhitungan Intensitas Durasi Metode *Talbot*

| No | Durasi (menit) | Periode Ulang (mm/menit) | | | | | |
|----|-------------------|--------------------------|---------|----------|----------|----------|-----------|
| | | 2 Tahun | 5 Tahun | 10 Tahun | 20 Tahun | 50 Tahun | 100 Tahun |
| 1 | 5 | 209,053 | 323,087 | 419,408 | 540,289 | 682,768 | 814,081 |
| 2 | 10 | 171,899 | 265,668 | 344,871 | 444,268 | 561,426 | 669,402 |
| 3 | 20 | 126,822 | 196,001 | 254,434 | 327,766 | 414,201 | 493,862 |
| 4 | 30 | 100,474 | 155,281 | 201,574 | 259,672 | 328,149 | 391,261 |
| 5 | 40 | 83,191 | 128,570 | 166,900 | 215,004 | 271,702 | 323,957 |
| 6 | 60 | 61,896 | 95,660 | 124,179 | 159,969 | 202,154 | 241,034 |
| 7 | 80 | 49,282 | 76,164 | 98,871 | 127,367 | 160,955 | 191,910 |
| 8 | 120 | 35,011 | 54,109 | 70,240 | 90,485 | 114,346 | 136,338 |

Sumber : Perhitungan Tugas Akhir 2022

Dimana :

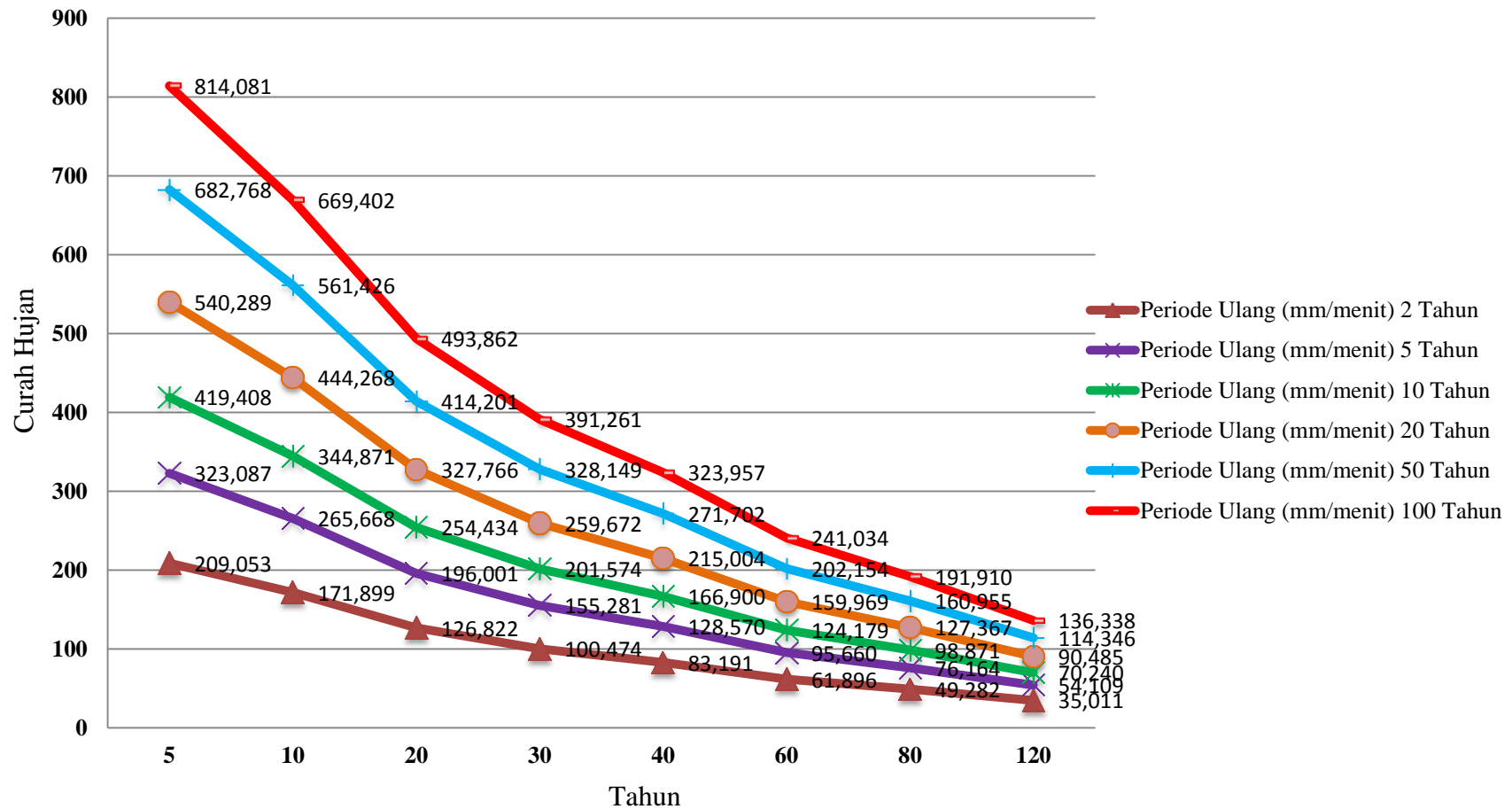
$$I = \frac{a}{t+b}$$

Keterangan :

a dan b = dari perhitungan pada tabel 4.25

$$= \frac{4836,213}{5+18,134} = 209,053$$

t = durasi (menit)



Gambar 4. 6 Grafik Intensitas Durasi Metode Talbot

Sumber : Perhitungan Tugas Akhir 2022

2. Perhitungan Intensitas Durasi Metode *Ishiguro*

$$I = \frac{a}{\sqrt{t+b}}$$

Tabel 4. 27 Perhitungan Intensitas Durasi Metode *Ishiguro*

| No | Durasi (menit) | Periode Ulang (mm/menit) | | | | | |
|----|-------------------|--------------------------|---------|----------|----------|----------|-----------|
| | | 2 Tahun | 5 Tahun | 10 Tahun | 20 Tahun | 50 Tahun | 100 Tahun |
| 1 | 5 | 243,103 | 375,712 | 487,722 | 628,293 | 793,978 | 946,680 |
| 2 | 10 | 162,234 | 250,730 | 325,480 | 419,289 | 529,859 | 631,765 |
| 3 | 20 | 110,330 | 170,514 | 221,349 | 285,145 | 360,340 | 429,643 |
| 4 | 30 | 88,584 | 136,905 | 177,720 | 228,942 | 289,316 | 344,958 |
| 5 | 40 | 75,961 | 117,397 | 152,396 | 196,320 | 248,091 | 295,805 |
| 6 | 60 | 61,307 | 94,749 | 122,997 | 158,446 | 200,230 | 238,739 |
| 7 | 80 | 52,731 | 81,495 | 105,791 | 136,282 | 172,221 | 205,343 |
| 8 | 120 | 42,709 | 66,006 | 85,684 | 110,380 | 139,488 | 166,315 |

Sumber : Perhitungan Tugas Akhir 2022

Dimana :

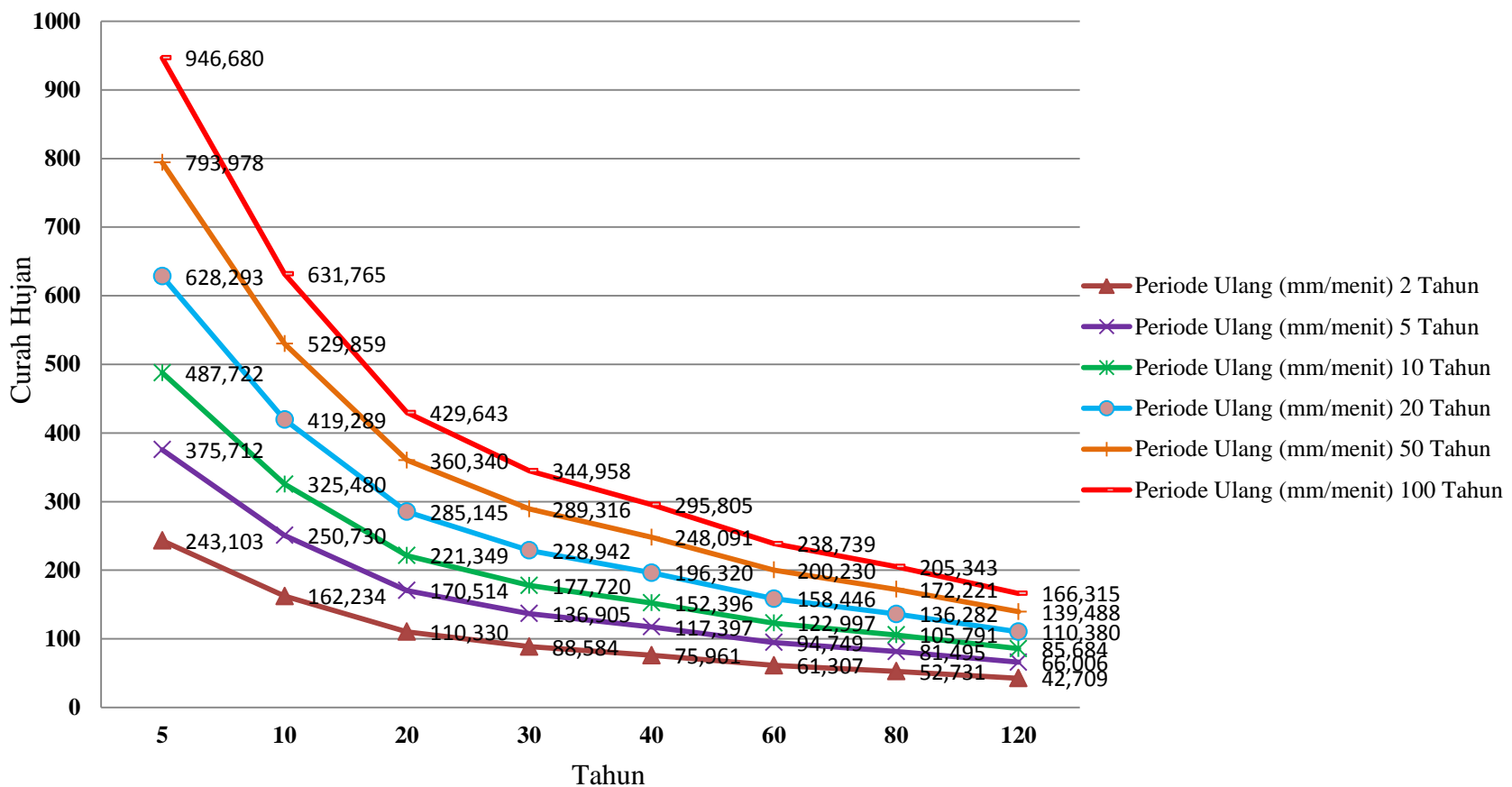
$$I = \frac{a}{\sqrt{t+b}}$$

Keterangan :

dan b = dari perhitungan pada tabel 4.25

$$= \frac{451.712}{\sqrt{5+ -0.378}} = 243.103$$

t = durasi (menit)



Gambar 4. 7 Grafik Intensitas Durasi Metode *Ishiguro*

Sumber : Perhitungan Tugas Akhir 2022

3. Perhitungan Intensitas Durasi Metode *Sherman*

$$I = \frac{a}{t^n}$$

Tabel 4. 28 Perhitungan Intensitas Durasi Metode *Sherman*

| No | Durasi (menit) | Periode Ulang (mm/menit) | | | | | |
|----|-------------------|--------------------------|---------|----------|----------|----------|-----------|
| | | 2 Tahun | 5 Tahun | 10 Tahun | 20 Tahun | 50 Tahun | 100 Tahun |
| 1 | 5 | 241,730 | 373,590 | 484,968 | 624,744 | 789,494 | 941,334 |
| 2 | 10 | 164,583 | 254,360 | 330,192 | 425,359 | 537,530 | 640,911 |
| 3 | 20 | 112,057 | 173,182 | 224,812 | 289,607 | 365,979 | 436,366 |
| 4 | 30 | 89,491 | 138,307 | 179,541 | 231,287 | 292,280 | 348,493 |
| 5 | 40 | 76,294 | 117,911 | 153,064 | 197,180 | 249,178 | 297,101 |
| 6 | 60 | 60,930 | 94,167 | 122,241 | 157,473 | 199,000 | 237,272 |
| 7 | 80 | 51,945 | 80,280 | 104,214 | 134,251 | 169,654 | 202,282 |
| 8 | 120 | 41,485 | 64,114 | 83,228 | 107,216 | 135,490 | 161,548 |

Sumber : Perhitungan Tugas Akhir2022

Dimana :

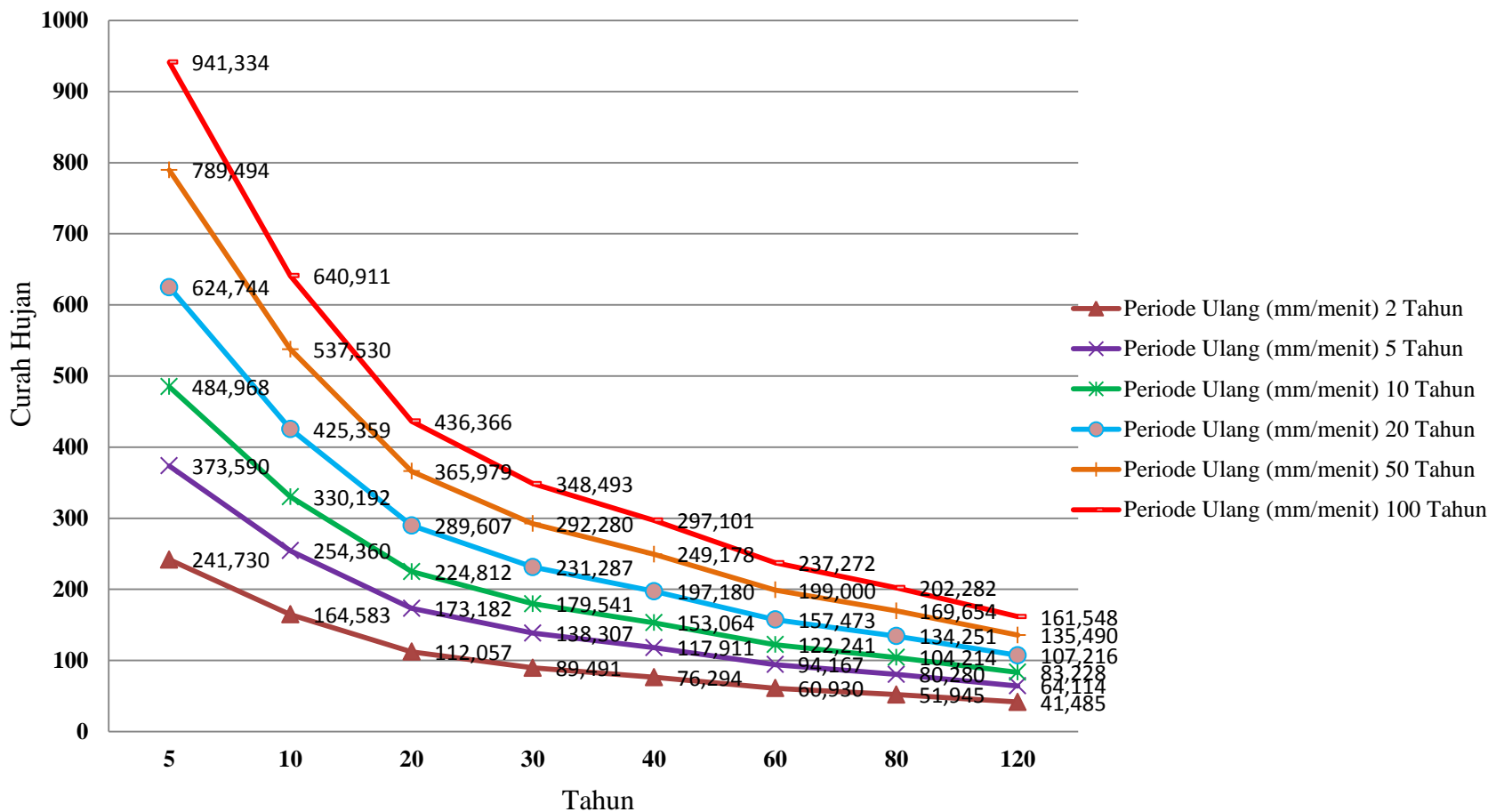
Keterangan :

$$I = \frac{a}{t^n}$$

a = dari perhitungan pada tabel 4.25

$$= \frac{588.535}{5^{0.555}} = 241.065$$

t = durasi (menit)



Gambar 4. 8 Grafik Intensitas Durasi Metode Sherman

Sumber : Perhitungan Tugas Akhir 2022

Tabel 4. 29 Perhitungan Standar Deviasi Rumus *Talbot*, *Ishiguro* dan *Sherman* Periode Ulang 2 Tahun

| No | I Terukur | | I Rumus | | | | | |
|-----------------|-----------|--------------|---------------|------------------------|-----------------|------------------------|----------------|------------------------|
| | (menit) | Pi (2 Tahun) | <i>Talbot</i> | | <i>Ishiguro</i> | | <i>Sherman</i> | |
| | 1 | 2 | 3 | 4 = (2-3) ² | 5 | 6 = (2-5) ² | 7 | 8 = (2-7) ² |
| 1 | 5 | 225,109 | 209,053 | 257,826 | 243,103 | 323,780 | 241,730 | 276,257 |
| 2 | 10 | 168,480 | 171,899 | 11,692 | 162,234 | 39,009 | 164,583 | 15,188 |
| 3 | 20 | 117,493 | 126,822 | 87,015 | 110,330 | 51,310 | 112,057 | 29,557 |
| 4 | 30 | 93,194 | 100,474 | 53,003 | 88,584 | 21,252 | 89,491 | 13,707 |
| 5 | 40 | 78,519 | 83,191 | 21,823 | 75,961 | 6,543 | 76,294 | 4,951 |
| 6 | 60 | 61,185 | 61,896 | 0,506 | 61,307 | 0,015 | 60,930 | 0,065 |
| 7 | 80 | 51,017 | 49,282 | 3,009 | 52,731 | 2,940 | 51,945 | 0,862 |
| 8 | 120 | 39,266 | 35,011 | 18,109 | 42,709 | 11,851 | 41,485 | 4,921 |
| Jumlah | | | | 452,984 | | 456,699 | | 345,507 |
| Standar Deviasi | | | | 7,458 | | 7,489 | | 6,495 |

Sumber : Perhitungan Tugas Akhir 2022

Dimana :

$Pi(2)$ = didapat dari tabel 4.14 $Talbot(3)$ = didapat dari tabel 4.25

$Ishiguro(5)$ = didapat dari tabel 4.26 $Sherman(7)$ = didapat dari tabel 4.27

Tabel 4. 30 Perhitungan Standar Deviasi Rumus *Talbot*, *Ishiguro* dan *Sherman* Periode Ulang 5 Tahun

| No | I Terukur | | I Rumus | | | | | |
|-----------------|-----------|--------------|---------------|------------------------|-----------------|------------------------|----------------|------------------------|
| | (menit) | Pi (2 Tahun) | <i>Talbot</i> | | <i>Ishiguro</i> | | <i>Sherman</i> | |
| | 1 | 2 | 3 | 4 = (2-3) ² | 5 | 6 = (2-5) ² | 7 | 8 = (2-7) ² |
| 1 | 5 | 347,903 | 323,087 | 615,822 | 375,712 | 773,353 | 373,590 | 659,844 |
| 2 | 10 | 260,383 | 265,668 | 27,926 | 250,730 | 93,173 | 254,360 | 36,276 |
| 3 | 20 | 181,584 | 196,001 | 207,837 | 170,514 | 122,554 | 173,182 | 70,597 |
| 4 | 30 | 144,029 | 155,281 | 126,600 | 136,905 | 50,760 | 138,307 | 32,740 |
| 5 | 40 | 121,350 | 128,570 | 52,124 | 117,397 | 15,628 | 117,911 | 11,825 |
| 6 | 60 | 94,560 | 95,660 | 1,209 | 94,749 | 0,036 | 94,167 | 0,155 |
| 7 | 80 | 78,845 | 76,164 | 7,188 | 81,495 | 7,022 | 80,280 | 2,060 |
| 8 | 120 | 60,686 | 54,109 | 43,253 | 66,006 | 28,307 | 64,114 | 11,753 |
| Jumlah | | | | 1081,960 | | 1090,833 | | 825,250 |
| Standar Deviasi | | | | 11,586 | | 11,634 | | 10,107 |

Sumber : Perhitungan Tugas Akhir 2022

Dimana :

$Pi(2)$ = didapat dari tabel 4.14 $Talbot(3)$ = didapat dari tabel 4.25

$Ishiguro(5)$ = didapat dari tabel 4.26 $Sherman(7)$ = didapat dari tabel 4.27

Tabel 4. 31 Perhitungan Standar Deviasi Rumus Talbot, Ishiguro dan Sherman Periode Ulang 10 Tahun

| No | I Terukur | | I Rumus | | | | | |
|-----------------|-----------|--------------|---------------|------------------------|-----------------|------------------------|----------------|------------------------|
| | (menit) | Pi (2 Tahun) | <i>Talbot</i> | | <i>Ishiguro</i> | | <i>Sherman</i> | |
| | 1 | 2 | 3 | 4 = (2-3) ² | 5 | 6 = (2-5) ² | 7 | 8 = (2-7) ² |
| 1 | 5 | 451,622 | 419,408 | 1037,743 | 487,722 | 1303,205 | 484,968 | 1111,928 |
| 2 | 10 | 338,011 | 344,871 | 47,060 | 325,480 | 157,009 | 330,192 | 61,130 |
| 3 | 20 | 235,719 | 254,434 | 350,234 | 221,349 | 206,521 | 224,812 | 118,965 |
| 4 | 30 | 186,968 | 201,574 | 213,337 | 177,720 | 85,537 | 179,541 | 55,171 |
| 5 | 40 | 157,528 | 166,900 | 87,836 | 152,396 | 26,335 | 153,064 | 19,927 |
| 6 | 60 | 122,751 | 124,179 | 2,038 | 122,997 | 0,060 | 122,241 | 0,260 |
| 7 | 80 | 102,351 | 98,871 | 12,113 | 105,791 | 11,834 | 104,214 | 3,471 |
| 8 | 120 | 78,778 | 70,240 | 72,888 | 85,684 | 47,701 | 83,228 | 19,805 |
| Jumlah | | | | 1823,250 | | 1838,202 | | 1390,658 |
| Standar Deviasi | | | | 15,063 | | 15,125 | | 13,147 |

Sumber : Perhitungan Tugas Akhir 2022

Dimana :

$Pi(2)$ = didapat dari tabel 4.14 $Talbot(3)$ = didapat dari tabel 4.25

$Ishiguro(5)$ = didapat dari tabel 4.26 $Sherman(7)$ = didapat dari tabel 4.27

Tabel 4. 32 Perhitungan Standar Deviasi Rumus Talbot, Ishiguro dan Sherman Periode Ulang 25 Tahun

| No | I Terukur | | I Rumus | | | | | |
|-----------------|-----------|--------------|---------|------------------------|----------|------------------------|---------|------------------------|
| | (menit) | Pi (2 Tahun) | Talbot | | Ishiguro | | Sherman | |
| | 1 | 2 | 3 | 4 = (2-3) ² | 5 | 6 = (2-5) ² | 7 | 8 = (2-7) ² |
| 1 | 5 | 581,788 | 540,289 | 1722,140 | 628,293 | 2162,676 | 624,744 | 1845,250 |
| 2 | 10 | 435,431 | 444,268 | 78,096 | 419,289 | 260,557 | 425,359 | 101,445 |
| 3 | 20 | 303,658 | 327,766 | 581,216 | 285,145 | 342,722 | 289,607 | 197,424 |
| 4 | 30 | 240,856 | 259,672 | 354,035 | 228,942 | 141,949 | 231,287 | 91,557 |
| 5 | 40 | 202,931 | 215,004 | 145,765 | 196,320 | 43,703 | 197,180 | 33,069 |
| 6 | 60 | 158,130 | 159,969 | 3,382 | 158,446 | 0,100 | 157,473 | 0,432 |
| 7 | 80 | 131,851 | 127,367 | 20,102 | 136,282 | 19,638 | 134,251 | 5,761 |
| 8 | 120 | 101,483 | 90,485 | 120,958 | 110,380 | 79,160 | 107,216 | 32,867 |
| Jumlah | | | | 3025,693 | | 3050,506 | | 2307,805 |
| Standar Deviasi | | | | 19,422 | | 19,502 | | 16,955 |

Sumber : Perhitungan Tugas Akhir 2022

Dimana :

$Pi(2)$ = didapat dari tabel 4.14 Talbot(3) = didapat dari tabel 4.25

Ishiguro(5) = didapat dari tabel 4.26 Sherman(7) = didapat dari tabel 4.27

Tabel 4. 33 Perhitungan Standar Deviasi Rumus Talbot, Ishiguro dan Sherman Periode Ulang 50 Tahun

| No | I Terukur | | I Rumus | | | | | |
|-----------------|-----------|--------------|---------|------------------------|----------|------------------------|---------|------------------------|
| | (menit) | Pi (2 Tahun) | Talbot | | Ishiguro | | Sherman | |
| | 1 | 2 | 3 | 4 = (2-3) ² | 5 | 6 = (2-5) ² | 7 | 8 = (2-7) ² |
| 1 | 5 | 735,210 | 682,768 | 2750,186 | 793,978 | 3453,704 | 789,494 | 2946,788 |
| 2 | 10 | 550,258 | 561,426 | 124,716 | 529,859 | 416,099 | 537,530 | 162,004 |
| 3 | 20 | 383,735 | 414,201 | 928,177 | 360,340 | 547,313 | 365,979 | 315,277 |
| 4 | 30 | 304,372 | 328,149 | 565,379 | 289,316 | 226,687 | 292,280 | 146,213 |
| 5 | 40 | 256,445 | 271,702 | 232,781 | 248,091 | 69,791 | 249,178 | 52,810 |
| 6 | 60 | 199,830 | 202,154 | 5,401 | 200,230 | 0,160 | 199,000 | 0,690 |
| 7 | 80 | 166,621 | 160,955 | 32,102 | 172,221 | 31,362 | 169,654 | 9,200 |
| 8 | 120 | 128,245 | 114,346 | 193,164 | 139,488 | 126,416 | 135,490 | 52,487 |
| Jumlah | | | | 4831,906 | | 4871,531 | | 3685,469 |
| Standar Deviasi | | | | 24,556 | | 24,656 | | 21,440 |

Sumber : Perhitungan Tugas Akhir 2022

Dimana :

$Pi(2)$ = didapat dari tabel 4.14 Talbot(3) = didapat dari tabel 4.25

Ishiguro(5) = didapat dari tabel 4.26 Sherman(7) = didapat dari tabel 4.27

Tabel 4. 34 Perhitungan Standar Deviasi Rumus Talbot, Ishiguro dan Sherman Periode Ulang 100 Tahun

| No | I Terukur | | I Rumus | | | | | |
|-----------------|-----------|--------------|---------|------------------------|----------|------------------------|---------|------------------------|
| | (menit) | Pi (2 Tahun) | Talbot | | Ishiguro | | Sherman | |
| | 1 | 2 | 3 | 4 = (2-3) ² | 5 | 6 = (2-5) ² | 7 | 8 = (2-7) ² |
| 1 | 5 | 876,610 | 814,081 | 3909,774 | 946,680 | 4909,922 | 941,334 | 4189,270 |
| 2 | 10 | 656,087 | 669,402 | 177,302 | 631,765 | 591,543 | 640,911 | 230,311 |
| 3 | 20 | 457,537 | 493,862 | 1319,533 | 429,643 | 778,081 | 436,366 | 448,211 |
| 4 | 30 | 362,910 | 391,261 | 803,765 | 344,958 | 322,267 | 348,493 | 207,863 |
| 5 | 40 | 305,766 | 323,957 | 330,930 | 295,805 | 99,218 | 297,101 | 75,077 |
| 6 | 60 | 238,263 | 241,034 | 7,679 | 238,739 | 0,227 | 237,272 | 0,981 |
| 7 | 80 | 198,666 | 191,910 | 45,637 | 205,343 | 44,585 | 202,282 | 13,078 |
| 8 | 120 | 152,910 | 136,338 | 274,610 | 166,315 | 179,717 | 161,548 | 74,617 |
| Jumlah | | | | 10128,478 | | 6925,561 | | 5239,408 |
| Standar Deviasi | | | | 35,568 | | 29,406 | | 25,572 |

Sumber : Perhitungan Tugas Akhir 2022

Dimana :

$P_i(2)$ = didapat dari tabel 4.14 Talbot(3) = didapat dari tabel 4.25

Ishiguro(5) = didapat dari tabel 4.26 Sherman(7) = didapat dari tabel 4.27

Tabel 4. 35 Rekapitulasi Perhitungan Standar Deviasi Rumus Talbot, Ishiguro dan Sherman untuk Berbagai Periode Ulang (Tahun)

| No | Periode Ulang (Tahun) | Metode Talbot | Metode Ishiguro | Metode Sherman |
|----|--------------------------|---------------|-----------------|----------------|
| 1 | 2 | 7,458 | 7,489 | 6,495 |
| 2 | 5 | 11,586 | 11,634 | 10,107 |
| 3 | 10 | 15,063 | 15,125 | 13,147 |
| 4 | 20 | 19,422 | 19,502 | 16,955 |
| 5 | 50 | 24,556 | 24,656 | 21,440 |
| 6 | 100 | 35,568 | 29,406 | 25,572 |

Sumber : Perhitungan Tugas Akhir 2022

Catatan :

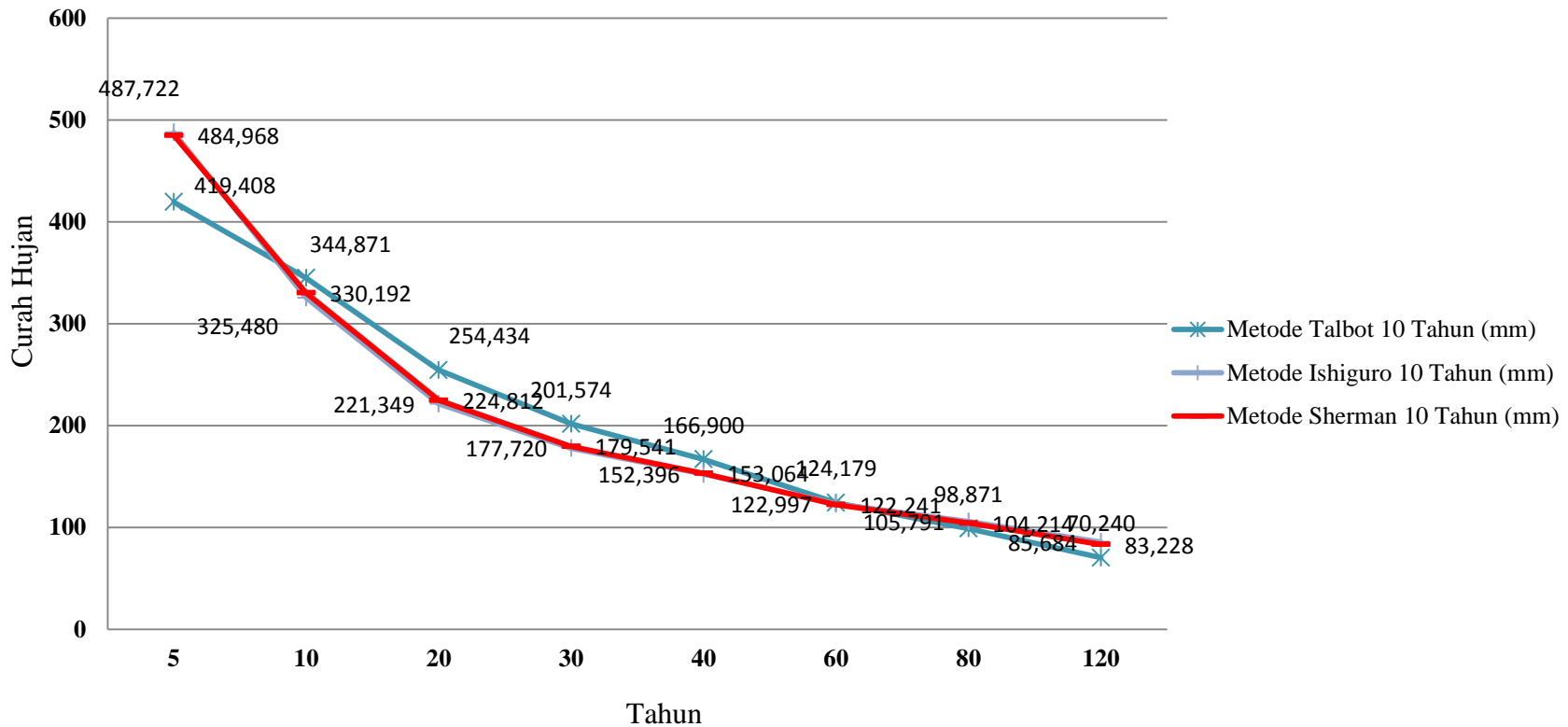
Dari analisis data tersebut diatas dapat dipilih rumus sebagai persamaan regresi intensitas hujan rencana adalah rumus yang mempunyai standard deviasi terkecil.

Mengacu pada tabel 4.32, dapat disimpulkan bahwa rumus yang sesuai untuk menentukan *Kurve IDF* dengan periode ulang 2, 5, 10, 20, 50 dan 100 tahun adalah rumus dari **Metode Sherman**.

Tabel 4. 36 Rekapitulasi Perhitungan Intensitas Durasi Tiga Metode

| No | Durasi (menit) | Metode Talbot 10 Tahun (mm) | Metode Ishiguro 10 Tahun (mm) | Metode Sherman 10 Tahun (mm) |
|----|-------------------|--------------------------------|----------------------------------|---------------------------------|
| 1 | 5 | 419,408 | 487,722 | 484,968 |
| 2 | 10 | 344,871 | 325,480 | 330,192 |
| 3 | 20 | 254,434 | 221,349 | 224,812 |
| 4 | 30 | 201,574 | 177,720 | 179,541 |
| 5 | 40 | 166,900 | 152,396 | 153,064 |
| 6 | 60 | 124,179 | 122,997 | 122,241 |
| 7 | 80 | 98,871 | 105,791 | 104,214 |
| 8 | 120 | 70,240 | 85,684 | 83,228 |

Sumber : Perhitungan Tugas Akhir 2022



Gambar 4. 9 Grafik Intensitas Durasi Tiga Metode

Sumber : Perhitungan Tugas Akhir 2022

4.5 Mencari Kecepatan Aliran dan Kemiringan Saluran

Berikut langkah mencari kecepatan aliran (v) dan kemiringan saluran (So) sebagai berikut :

Tabel 4. 37 Kemiringan Saluran dan Kecepatan Aliran

| Kemiringan Rata-rata Dasar Saluran % | Kecepatan Rata-rata (m/detik) |
|--------------------------------------|-------------------------------|
| < 1 | 0,40 |
| 1 - 2 | 0,60 |
| 2 - 4 | 0,90 |
| 4 - 6 | 1,20 |
| 6 - 10 | 1,50 |
| 10 - 15 | 2,40 |

Sumber : Wesli, 2008

Mencari kecepatan aliran (V) dan kemiringan saluran (So) untuk Saluran. ketinggian didapat yang tertinggi 25 meter dan terendah 23 meter, maka :

$$V = \text{kontur tertinggi} - \text{kontur terendah} = 25 - 23 = 2 \text{ meter}$$

Karena beda tinggi kontur tanah meter, maka kecepatan aliran (V) 0,90m/detik.

Dengan panjang sungai exciting = 134 meter,

$$So = \frac{25-23}{134} = 0,014 \text{ m}$$

4.7 Mencari Koefisien Pengaliran (C)

Berdasarkan hasil survey di lokasi, maka dapat disimpulkan bahwa perumahan atau pemukiman yang ada di sekitar Sungai Kenali Besar, Kelurahan Bagan Pete, Kecamatan Alam Barajo Kota Jambi termasuk perumahan rapat. Maka untuk besarnya nilai koefisien pengaliran (C) diambil sesuai zona, disini penulis mengambil nilai sebesar 0,75. Koefisien pengaliran tersebut didapat dari tabel 4.37.

Tabel 4. 38 Koefisien Pengaliran (C)

| Daerah | Koefisien aliran (C) |
|------------------------------|------------------------|
| Perumahan tidak begitu rapat | 0,25 - 0,40 |
| Perumahan kerapatan sedang | 0,40 - 0,70 |
| Perumahan rapat | 0,70 - 0,80 |
| Taman dan daerah rekreasi | 0,20 - 0,30 |
| Daerah industry | 0,80 - 0,90 |
| Daerah perniagaan | 0,90 - 0,95 |

Sumber : Wesli, 2008

Perhitungan :

$$\frac{0,70 + 0,80}{2} = \frac{1,50}{2} = 0,75$$

4.6.1 Perhitungan waktu Konsentrasi

Waktu konsentrasi adalah waktu yang diperlukan untuk mengalirkan air dari titik yang paling jauh pada daerah aliran ke titik kontrol yang ditentukan di bagian hilir hulu suatu aliran. Rumus yang dipakai dalam waktu konsentrasi dapat diperoleh menggunakan rumus empiris, salah satunya adalah rumus *kirpich*, seperti berikut ini (Wesli, 2008) :

$$\begin{aligned}
 T_o &= \frac{0,0195}{60} \times \left(\frac{L_o}{\sqrt{S_o}} \right)^{0,77} \\
 &= \frac{0,0195}{60} \times \left(\frac{13,79}{\sqrt{0,014}} \right)^{0,77} = 0,0127 \text{ jam} \\
 T_d &= \frac{L_t}{3600 \times V} \\
 &= \frac{134}{3600 \times 0,90} = 0,0414 \text{ jam}
 \end{aligned}$$

$$\begin{aligned}
 T_c &= T_o + T_d \\
 &= 0,0127 + 0,0414 = 0,426 \text{ jam}
 \end{aligned}$$

$$Cs = \frac{2 Tc}{2.Tc+Td} = \frac{2 (0,426)}{2 (0,426)+0,0414} = 0,673$$

$$Xt = 124,179$$

$$It = \frac{R24}{24} \times \left(\frac{24}{Tc}\right)^{\frac{2}{3}} = \frac{124,179}{24} \times \left(\frac{24}{0,073}\right)^{\frac{2}{3}} = 246,469 \text{ mm/jam}$$

4.7 Tangkapan Air Hujan

Mencari luas *Catchment Area* (Tangkapan air hujan) pada daerah yang ditinjau sebagai berikut :

$$\text{- } Qe = 154,242 \text{ m}^3/\text{detik}$$

$$\text{- } C = 0,75$$

$$\text{- } I = 246,469 \text{ mm/jam}$$

Dengan menggunakan rumus debit rencana dan difokuskan perhitungan pada debit Qe , C , I .

$$Qe = 0,278.C.I.A$$

$$145,242 \text{ m}^3/\text{detik} = 0,450 \times 246,469 \text{ mm/jam} \times A$$

$$145,242 \text{ m}^3/\text{detik} = 110,911 \text{ mm/jam} \times A$$

$$A \times 110,911 \frac{\text{mm}}{\text{jam}} = 145,242 \frac{\text{m}^3}{\text{detik}}$$

$$A = \frac{154,242}{0,450} \times \frac{\text{m}^3}{\text{detik}} \times \frac{\text{jam}}{\text{mm}}$$

$$A = 1,391 \times \frac{\text{m}^3}{\text{det}} \times \frac{3600 \text{ det}}{0,001 \text{ m}}$$

$$A = 1,391 \times 1 \text{ m}^2 \times 3600000$$

$$A = 5006455,173 \text{ m}^2$$

$$A = 0,501 \text{ km}^2$$

Maka hasil perhitungan didapat luas Catchmen Area sebesar 0, 501 km²

4.8 Perhitungan Debit Rencana

Adapun rumus untuk menghitung debit rencana Metode Rasional dari hasil perhitungan diatas untuk debit banjir rencana ($Q_{rencana}$) periode ulang 10 tahun .

Dimasukkan kedalam persamaan dibawah, maka akan diperoleh debit rencana sebesar :

$$\begin{aligned} Q_T &= 0,278 \times C.C_s.I.A \\ &= 0,278 \times 0,75 \times 0,673 \times 246,469 \times 0,501 = 17,326 \text{ m}^3/\text{det} \end{aligned}$$

Keterangan :

Q_T = Debit Rencana (m³/detik)

C = Koefisien Pengaliran

C_s = Koefisien tumpungan

I = Intensitas Curah Hujan (mm/jam)

A = Luas Daerah Pengaliran (km²)

4.8.1 Nilai Koefisien Manning

Nilai koefisien *Manning* didapatkan berdasarkan pada perhitungan dan diambil nilai koefisien manning adalah 0,013 karena bahan saluran adalah Saluran Beton.

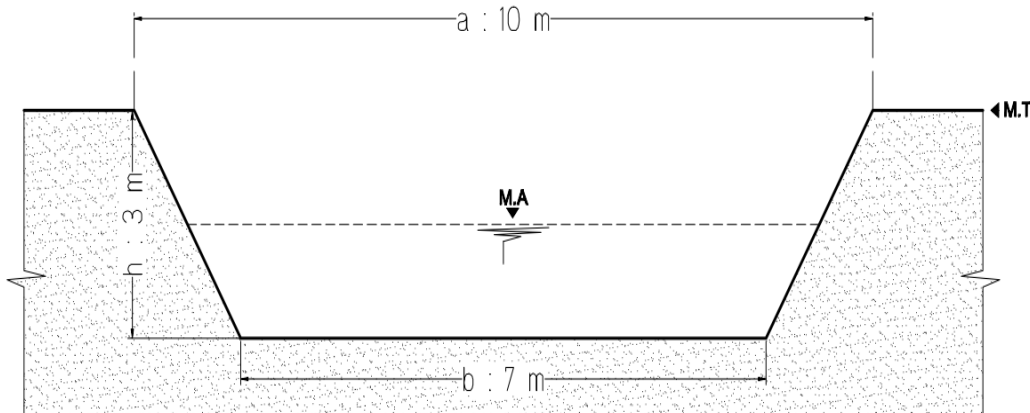
Tabel 4. 39 Koefisien Manning

| Bahan | Koefisien Manning (<i>n</i>) |
|---------------------------------------------|--------------------------------|
| Besi tuang dilapis | 0,014 |
| Kaca | 0,010 |
| Saluran beton | 0,013 |
| Bata dilapis mortar | 0,015 |
| Pasangan batu disemen | 0,025 |
| Saluran tanah bersih | 0,022 |
| Saluran tanah bersih | 0,030 |
| Saluran dengan dasar batu dan tebing rumput | 0,040 |
| Saluran pada galian batu cadas | 0,040 |

Sumber : Wesli, 2008

4.9 Analisa Kapasitas Penampang Sungai

4.9.1 Penampang Trapezium

**Gambar 4. 10 Penampang Trapezium**

Sumber : Data Olahan, 2022

a). Luas Penampang (A) $= (b + m \cdot h) \cdot h$

$$= (7 + 1,5 \times 3) \times 3 = 34,5 \text{ m}^2$$

b). Keliling Basah (P) $= b + 2 \cdot h \cdot \sqrt{m^2 + 1}$

$$= 7 + 2 \times 3 \sqrt{1,5^2 + 1} = 17,816 \text{ m}$$

$$\text{c). Jari-jari Hidrolis (R)} = \frac{A}{P} = \frac{34,5}{17,816} = 1,936 \text{ m}$$

$$\text{d). Kemiringan (So)} = \frac{\text{kontur tertinggi} - \text{kontur terendah}}{\text{jarak}}$$

$$= \frac{2,5 - 2,3}{134} = 0,0014 \text{ m}$$

$$\text{e). Kecepatan Aliran (v)} = \frac{1}{n} \cdot R^{2/3} \cdot S^{1/2}$$

$$= \frac{1}{0,013} \times 1,936^{2/3} \times 0,0014^{1/2} = 4,4708 \text{ m/detik}$$

f). Kecepatan Aliran (v) Existing : $t_1 : 14,02 + t_2 : 14,04 + t_3 : 14,04 = 14,03$

$$V = \frac{L}{t}$$

$$V = \frac{10}{14,03} = 0,71276 \text{ m/detik}$$

$$\text{g). Debit Saluran (Qsaluran)} = A \times V \leq Q_r$$

$$= 34,5 \times 4,4708 \leq 17,326 \text{ m}^3/\text{detik}$$

$$= 154,242 \text{ m}^3/\text{detik} \leq 17,326 \text{ m}^3/\text{detik}$$

Dari hasil perhitungan *check* debit kontrol didapat Debit Saluran (Qs) = 154,242 m³/detik lebih besar dari Debit Rencana (Qr) = 17,326 m³/detik maka aman.

4.10 Analisa Kapasitas Penampang Sungai menggunakan HEC-RAS

4.10.1 Pembuatan file project

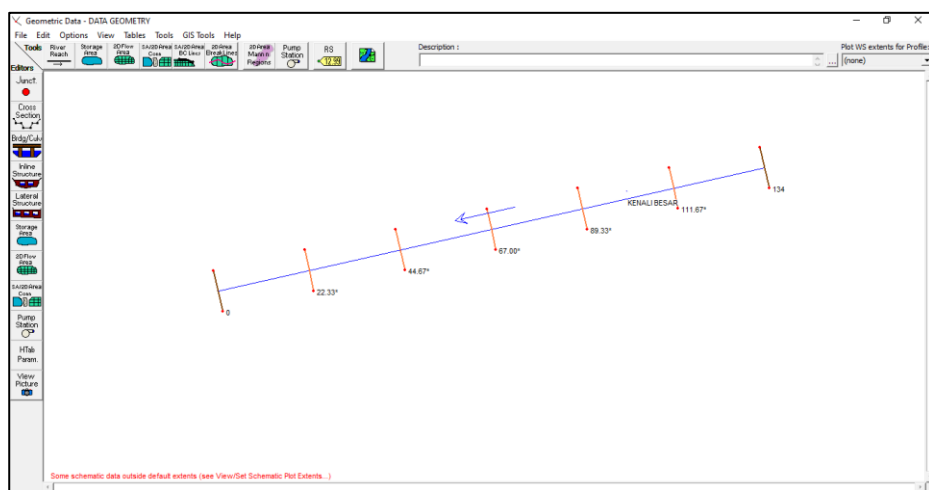
Untuk membuat file project yaitu klik *menu file* → *new project*, tulis judul proyek kemudian tekan OK.

4.10.2 Geometri Saluran

a. Alur saluran

Untuk membuat skema saluran sungai yaitu dengan cara *klik edit* → *geometric data*. Klik menu *River Reach* kemudian buat skema saluran dengan cara mengklik titik-titik sepanjang alur saluran yang diinginkan.

Alur saluran harus dibuat dari hulu ke hilir.

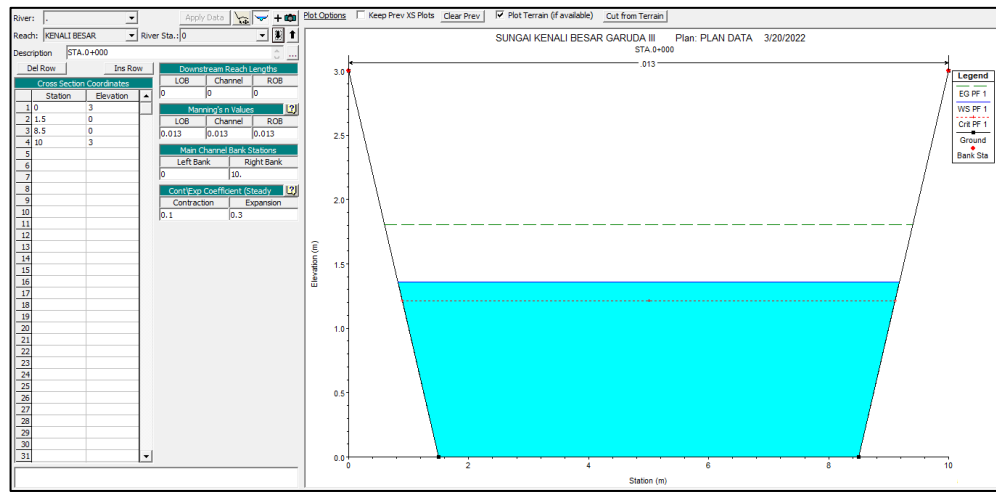


Gambar 4. 11 Skema saluran sungai

Sumber : Data Olahan, 2022

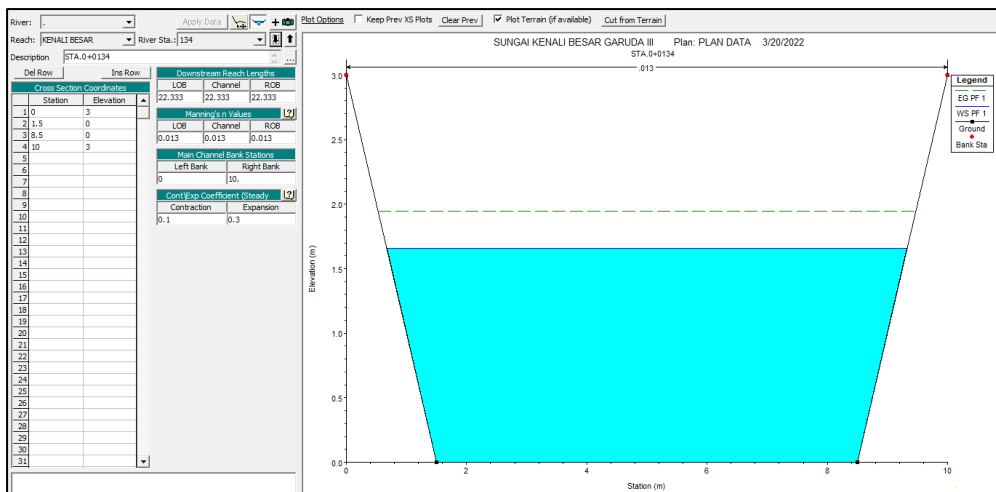
b. Tampang lintang

Selanjutnya adalah penulisan data tampang lintang. Dengan cara klik *Cross Section*, kemudian klik *Option* → *Add a new cross section* tulis nilai STA 0 lalu klik OK. Kemudian masukan nilai yang tertera seperti pada gambar. masukan data tampang lintang untuk STA 0+00 dan STA 0+134.



Gambar 4. 12 Layar editor tampang lintang setelah diberi nilai untuk STA 0+000

Sumber : Data Olahan, 2022



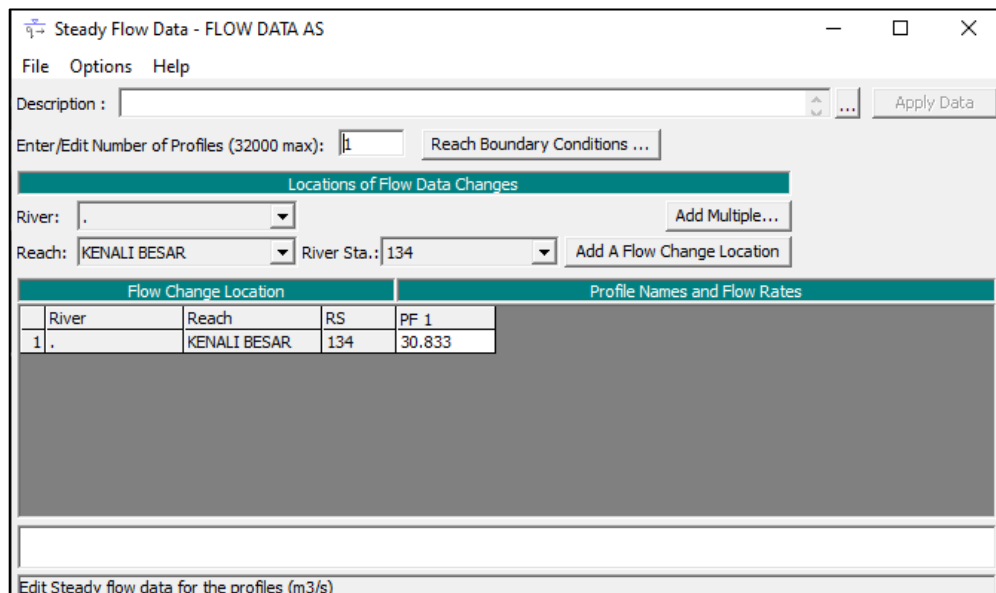
Gambar 4. 13 Layar editor tampang lintang setelah diberi nilai untuk STA 0+134

Sumber : Data Olahan, 2022

4.10.3 Simulasi Aliran Steady Flow

a. Input nilai debit

Untuk menginput nilai debit aliran *steady flow*. klik menu *bar edit* lalu klik sub menu *steady flow* data menginput nilai debit rencana yang sudah dihitung sebesar $30,833 \text{ m}^3/\text{detik}$

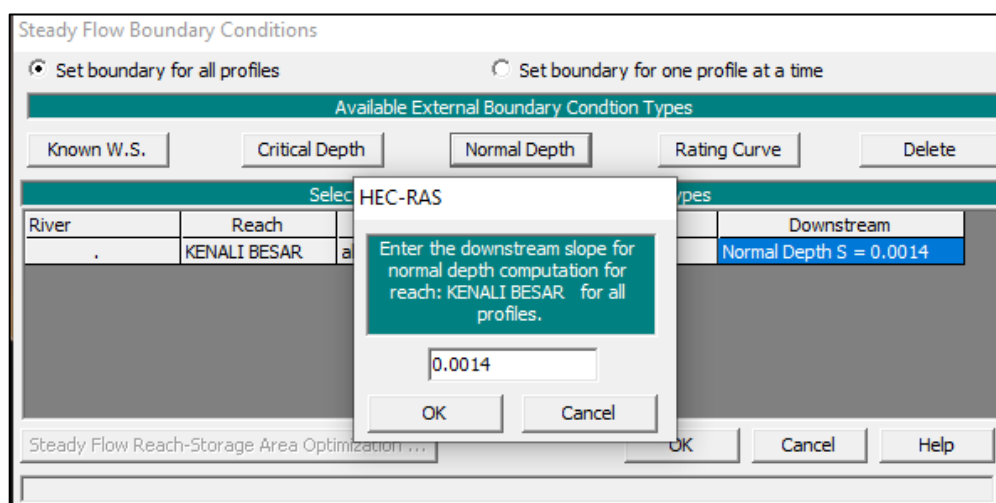


Gambar 4. 14 Penginputan nilai debit

Sumber : Data Olahan, 2022

b. Input nilai kemiringan

Menginput nilai kemiringan yang sudah dihitung pada kolom *Downstream* yaitu 0,0014, klik *Reach Boundary Conditions* kemudian pilih *Normal Depth* lalu klik *Apply Data*.

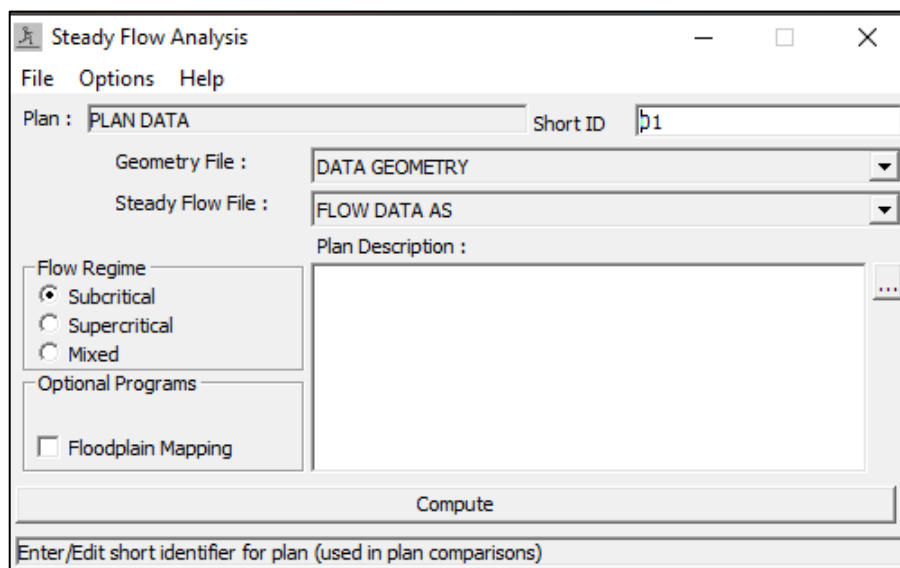


Gambar 4. 15 Penginputan nilai kemiringan

Sumber : Data Olahan, 2022

c. *Run Analisys Steady Flow*

Setelah data tersimpan selanjutnya di analisis oleh progrsm dengan cara klik menu *Run* → *SteadyFlow Analisys* → *compute*.



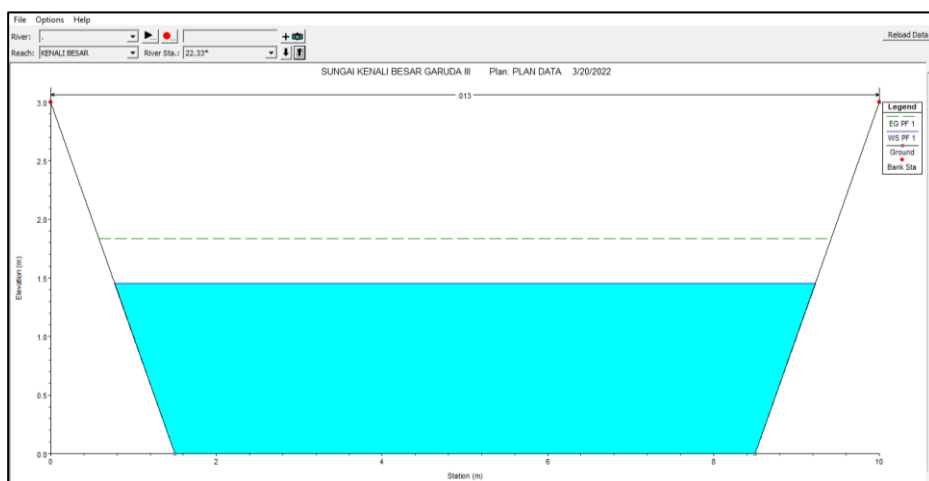
Gambar 4. 16 Hitungan Aliran Permanen

Sumber : Data Olahan, 2022

4.10.4 Presentasi Hasil Hitungan di Sebuah Tampang Lintang

Pilih menu *View* → *Cross Section*

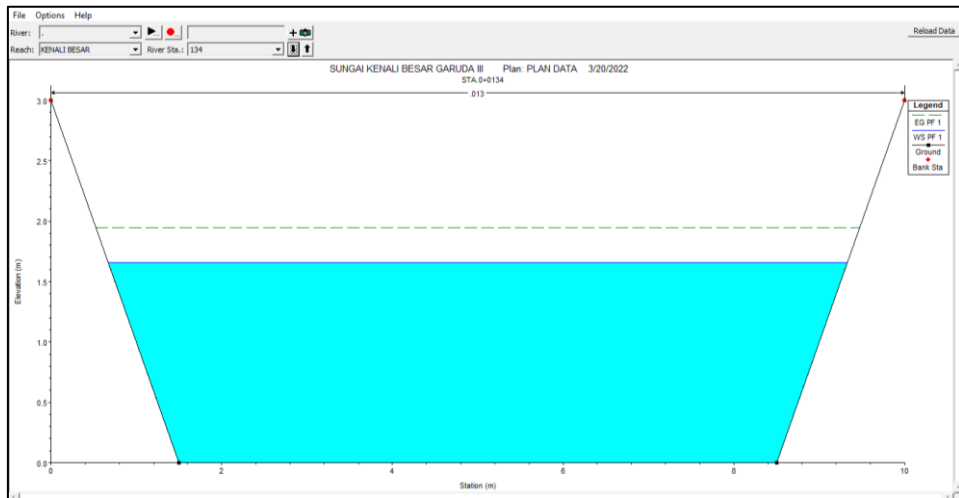
a. Presentasi Hasil Hitungan untuk STA 0+000



Gambar 4. 17 Tampilan Cross Section STA 0+000

Sumber : Data Olahan, 2022

b. Presentasi Hasil Hitungan untuk STA 0+134

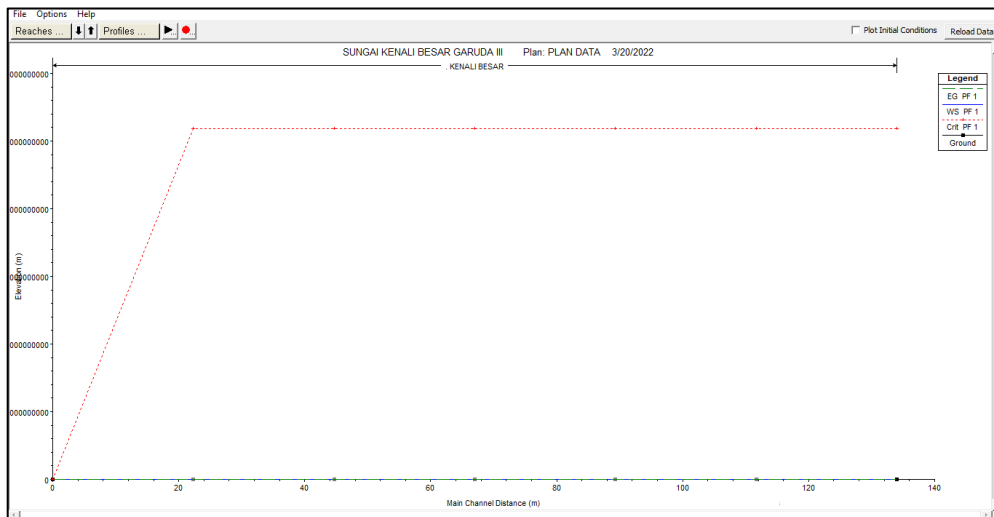


Gambar 4. 18 Tampilan Cross Section STA 0+134

Sumber : Data Olahan, 2022

4.10.5 Presentasi Hasil Hitungan Profil Muka Air di Sepanjang Sungai

Pilih menu *View → Water Surface Profiles*

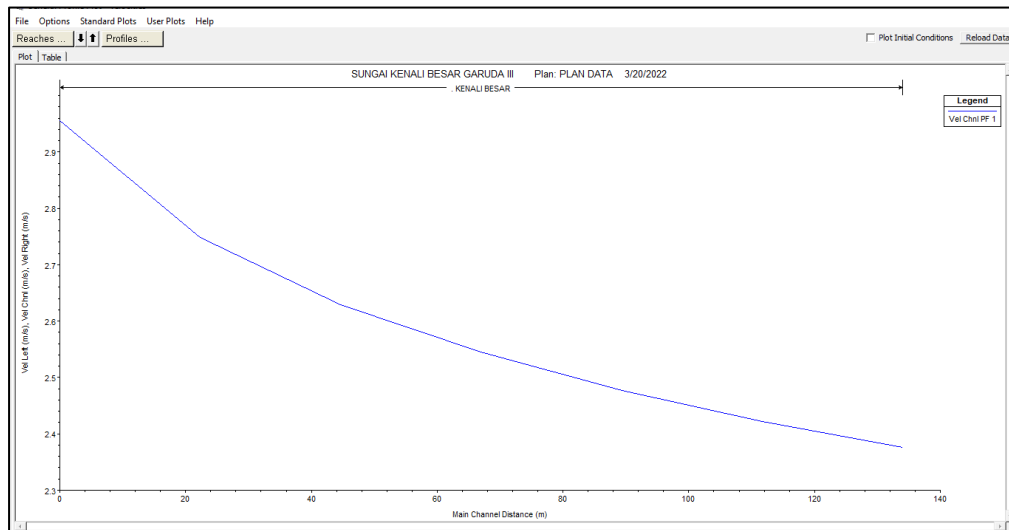


Gambar 4. 19 Hasil Hitungan Profil Muka Air di Sepanjang Sungai

Sumber : Data Olahan, 2022

4.10.6 Presentasi Hasil Hitungan Profil Variabel Aliran di Sepanjang Alur

Klik View → General Profile Plot



Gambar 4. 20 Hasil Hitungan Profil Variabel Aliran di Sepanjang Alur

Sumber : Data Olahan, 2022

Dari Output Program HEC-RAS kondisi eksisting Sungai Kenali Besar dengan debit kala ulang 10 tahun mampu menampung debit yang ada, sehingga tidak perlu mendesain ulang saluran.

BAB V

KESIMPULAN DAN SARAN

5.1 Kesimpulan

Dari uraian pembahasan dapat disimpulkan sebagai berikut :

1. Berdasarkan data curah hujan selama 10 tahun (2012-2021) maka didapat
Intensitas curah hujan dengan durasi 60 menit sebesar $= 124,179 \text{ mm/jam}$.
2. Debit banjir Sungai Kenali Besar dengan kala ulang 10 tahun sebesar
 $= 17,326 \text{ m}^3/\text{detik}$.
3. Kondisi eksisting sungai kenali besar yang telah dilakukan pelebaran dengan debit periode 10 tahun mampu menampung debit yang direncanakan sehingga tidak perlu mendesain ulang saluran.

5.2 Saran

Dari hasil penelitian yang telah dilakukan maka didapat beberapa saran sebagai berikut :

1. Untuk menghindari terjadinya banjir kepada masyarakat Kelurahan Kenali Besar dan pemerintah, khususnya yang tinggal di bantaran sungai untuk merawat dan menjaga sungai tersebut, salah satunya dengan tidak membuang sampah ke sungai dan pemerintah menyediakan tempat pembuangan sampah agar air yang mengalir tidak mengalami hambatan.

2. Kepada instansi yang terkait perlu adanya perhatian dan kerja sama dengan masyarakat sekitar dalam pemeliharaan sungai agar sungai dapat berkerja sebagaimana mestinya, yaitu dapat berupa pemeliharaan rutin berupa gotong royong dalam membersihkan sungai.

DAFTAR PUSTAKA

- Assagaf, E.F., Ekki F.T. Suseno Darsono, Hari Nugroho. 2017. Perencanaan Pebaikan Sungai Tirto Grobong Jawa Tengah. *Jurnal Karya Teknik Sipil* 7(1):100-104.
- Astuti, A.F., Hadi Sudarsono. 2018. Analisis Penanggulangan Banjir Sungai Kanci. *Jurnal Konstruksi* 7(3):163-166.
- Badan Standar Nasional. 2016. SNI 2415-2016 Tata Cara Perhitungan Debit Banjir Rencana. Jakarta: Departemen Pekerjaan.
- Kodoatie, Robert J. 2013. Rekayasa dan Manajamen Banjir Kota. Yogyakarta: Penerbit Andi Offset.
- Loebis, Joesron. dkk. 1993. *Hidrologi Sungai*. Jakarta: PU
- Mori, Kiyotaka. Manual on Hydrology. Terjemahan oleh Taulu, L.; editor oleh Safitri, A.R., Alfiansyah.D, Suharyanto, Rudi Y.A. 2017. Kajian Penanganan Banjir Sungai Tuntang Di Desa Pulosari Kabupaten Demak. *Jurnal Karya Sipil* 6(4):345-348.
- Soewarno. 1995. *Hidrologi Aplikasi Metode Statistik untuk Analisa Data*. Bandung: Nova.
- Sosrodarsono, Suyono & Takeda, Kensaku. 2003. Jakarta: Pradnya Paramita.
- Sosrodarsono, Suyono & Tominaga, Masateru. 1994. *Perbaikan dan Pengaturan Sungai*. Jakarta: Pradnya Paramita.
- Suripin. 2004. *Sistem Drainase Perkotaan yang Berkelanjutan*. Yogyakarta: Andi Offset.

- Triatmodjo, Bambang. 2008. Hidrologi Terapan. Yogyakarta: Beta Offset.
- Wigati, R., Sudarsono, Intan D.R. 2016. Analisis Banjir Menggunakan Software Hec-Ras 4.1 Studi Kasus Sub Das Cisimeut Hilir Hm 0+00 Sampai Dengan Hm 69+00. Jurnal Fondasi Volume 5(1):13-16.
- Zainuri, E., Heri Suprijanto, Dian Sisinggih. 2021. Studi Perencanaan Dinding Penahan Sebagai Upaya Pengendalian Banjir Sungai Meduri Kabupaten Pekalongan Jawa Tengah. Jurnal Teknik Pengairan 12(1):2-7.
- .